



TESIS - RE142551

# Konservasi Sumber Daya Air di DAS Anak Sungai Cidurian Bagian Hulu Dalam Rangka Pengurangan Debit Banjir di Sungai Cidurian

BAMBANG BODRO ISMOYO  
3314 202 810

DOSEN PEMBIMBING  
Ir. Mas Agus Mardyanto, M.E., Ph.D.

PROGRAM MAGISTER  
BIDANG KEAHLIAN TEKNIK SANITASI LINGKUNGAN  
JURUSAN TEKNIK LINGKUNGAN  
FAKULTAS TEKNIK SIPIL DAN PERENCANAAN  
INSTITUT TEKNOLOGI SEPULUH NOPEMBER  
SURABAYA  
2017



THESES - RE142551

## **Water Resource Conservation On Cidurian Upstream As Flood Reduction In Cidurian River**

BAMBANG BODRO ISMOYO  
3314 202 810

SUPERVISOR  
Ir. Mas Agus Mardyanto, M.E., Ph.D.

MASTER PROGRAM  
DEPARTEMENT OF ENVIRONMENTAL ENGINEERING  
FACULTY OF CIVIL ENGINEERING AND PLANNING  
INSTITUT TEKNOLOGI SEPULUH NOPEMBER  
SURABAYA  
2017

Tesis disusun untuk memenuhi salah satu syarat memperoleh gelar  
Magister Teknik (M.T.)  
di  
Institut Teknologi Sepuluh Nopember

Oleh :

Bambang Bodro Ismoyo  
NRP. 3314 202 810

Tanggal Ujian : 09 Januari 2017  
Periode Wisuda : Maret 2017

Disetujui Oleh :

1. Ir. Mas Agus Madyanto, ME., Ph.D.  
NIP. 19620816 199003 1 004

(Pembimbing)

2. Prof. Dr. Ir. Nieke Karnaningroem, MSc.  
NIP. 19550128 198503 2 001

(Pengaji)

3. Dr. Ir. Mohammad Razif, MM.  
NIP. 19530502 198103 1 001

(Pengaji)

4. Dr. Ali Masduqi, ST., MT.  
NIP. 19680128 199403 1 003

(Pengaji)



Direktur Program Pascasarjana,

Prof. Ir. Djauhar Manfaat, MSc., Ph.D  
NIP. 19601202 198701 1 001

# **KONSERVASI SUMBER DAYA AIR DI DAS ANAK SUNGAI CIDURIAN BAGIAN HULU DALAM RANGKA PENGURANGAN DEBIT BANJIR DI SUNGAI CIDURIAN**

Nama Mahasiswa : Bambang Bodro Ismoyo

NRP : 3314 202 810

Pembimbing : Ir. Mas Agus Mardyanto ME., Ph.d.

## **ABSTRAK**

Banjir menjadi fenomena alam yang terjadi di musim penghujan. Hampir seluruh wilayah di Indonesia tidak terlepas dari bencana banjir pada saat musim penghujan. Seperti halnya di wilayah Provinsi Banten, dimana hampir setiap tahun terjadi banjir dan genangan. Potensi banjir adalah di bagian hilir yaitu di Kabupaten Serang dan Kabupaten Tangerang. Banjir yang terjadi diakibatkan oleh melupanya Sungai Cidurian. Meluapnya Sungai Cidurian ini memberikan dampak yang sangat merugikan bagi aktifitas masyarakat sekitar. Tidak sedikit desa dan Sarana prasarana infrastruktur di Kabupaten Serang dan Kabupaten Tangerang terganggu akibat banjir. Banjir terjadi mulai tahun 2010 sampai dengan sekarang. Berdasarkan data debit dari pos duga air Bendung Rancasumur, terjadi kenaikan debit mulai tahun 2010 sampai dengan sekarang. Peningkatan debit banjir terjadi akibat adanya perubahan kondisi tutupan lahan.

Untuk mengurangi besarnya debit banjir yang terjadi di sungai Cidurian, perlu adanya upaya untuk menahan laju aliran permukaan. Upaya yang dilakukan adalah dengan konservasi sumber daya air. Konservasi sumber daya air meliputi secara mekanis dan vegetatif. Secara mekanis adalah dengan pembuatan embung dan pemanenan air hujan. Sedangkan secara vegetatif adalah dengan reboisasi

Dari hasil analisa, pengurangan debit banjir yang dihasilkan dengan adanya konservasi di DAS anak Sungai Cidurian hulu adalah sebesar 39%. Dengan prosentase 23% dengan metode vegetatif dan 16% dengan metode mekanis.

Kata kunci : *Konservasi sumber daya air, debit banjir, sungai cidurian.*

# **WATER RESOURCES CONSERVATION ON CIDURIAN UPSTREAM AS FLOOD REDUCTION IN CIDURIAN RIVER**

Name : Bambang Bodro Ismoyo  
NRP : 3314 202 810  
Supervisor : Ir. Mas Agus Mardyanto ME., Ph.d.

## **ABSTRACT**

Flood becomes nature phenomenon that happened in rainy season. Can be all regions in Indonesia are not got out of flood disaster when rainy monsoon. It's seemed in Province Banten region, where can be every year happened flood and pond. Flood Potency is in downstream part that is in Sub Province Serang and Sub Province Tangerang. Flood that happened resulted from forget it Cidurian River. Bubble up it this Cidurian River gives very detrimental impact for activities society about/around. A lot of countryside's and Infrastructure in Sub Province Serang and Sub Province Tangerang is bothered flood consequence. Flood is happening is starting in 2010 up to now. Base debit data from post anticipate water dam Rancasumur, is happening debit increase is starting in 2010 up to now. Improvement of flood debit happen consequence existence of condition change farm cover.

To lessen level of flood debit that happened in river Cidurian, must existence of effort to arrest/detain accelerate surface stream. Effort taken is with water resources conservation. Water resources Conservation covers in mechanical and vegetative. In mechanical is with making embung and rain cropping. Whereas in vegetative is with reforestation

From analysis result, reduction of flood debit that produced [by] with existence of conservation in DAS watercourse Cidurian pate; upstream is as high as 39%. With percentage of 23% with method vegetative and 16% with mechanical method.

Keyword : Water resources Conservation, flood debit, river cidurian.

## KATA PENGANTAR

Segala puja dan puji milik Alloh SWT yang telah memberikan rahmat, karunia, hidayah dan ampunan kepada kita semua. Sholawat dan salam kita khususkan kepada Nabi Muhammad SAW. Penulis telah menyelesaikan Tesis yang berjudul: **“Konservasi Sumber Daya Air di DAS Anak Sungai Cidurian Bagian Hulu Dalam Rangka Pengurangan Debit Banjir Di Sungai Cidurian”**.

Pada kesempatan ini penulis ingin mengucapkan terima kasi yang sebesar-besarnya kepada :

1. Bapak Ir. Mas Agus Mardyanto, ME., Ph.D., selaku dosen pembimbing yang telah mengarahkan, membimbing, memberikan masukan dan nasehat.
2. Bapak Dr. Ir. Mohammad Razif, MM., Ibu Prof. Dr. Ir. Nieke Karnaningroem, MSc., Bapak Dr. Ali Masduqi, ST., M.T. selaku dosen penguji yang telah membagikan ilmunya dalam menyempurnakan tesis ini.
3. Para dosen pengajar, karyawan Program Studi Magister Teknik Sanitasi Lingkungan-ITS, yang telah memberikan ilmu, bimbingan dan bantuan.
4. Kementerian Pekerjaan Umum dan Perumahan Rakyat, yang telah memberikan beasiswa untuk mengikuti perkuliahan di Program Studi Magister Teknik Sanitasi Lingkungan, Program Pasca Sarjana (ITS).
5. Istri dan anak tercinta yang selalu memberikan motivasi dan inspirasi dalam berkarya tanpa batas.
6. Kedua orang tua yang selalu mendoakan dan memberikan dukungan moril.
7. Rekan-rekan MTSL 2015 yang telah berkontribusi dan membantu dalam terselesainya tesis ini.
8. Rekan-rekan Balai Besar Wilayah Sungai Cidanau-Ciujung-Cidurian Kementerian Pekerjaan Umum yang selalu membantu dalam penyediaan data.

Semoga tesis ini bisa bermanfaat bagi kita semua.

Surabaya, Januari 2017

**Penulis**

*“Halaman ini sengaja Dikosongkan”*

## **DAFTAR ISI**

<b>ABSTRAK</b>	i
<b>ABSTRACT</b>	ii
<b>KATA PENGANTAR</b>	iii
<b>DAFTAR ISI</b>	v
<b>DAFTAR GAMBAR</b>	ix
<b>DAFTAR TABEL</b>	xi
<b>BAB I PENDAHULUAN</b>	
1.1 Latar Belakang	1
1.2 Rumusan Masalah	2
1.3 Tujuan	2
1.4 Manfaat	2
1.5 Ruang Lingkup	2
<b>BAB II TINJAUAN PUSTAKA</b>	
2.1 Gambaran Umum Wilayah Studi	5
2.2 Permasalahan Banjir di Kabupaten Serang dan Kabupaten Tangerang	8
2.3 Kondisi Topografi	9
2.4 Survey tutupan lahan di wilayah studi saat ini	10
2.5 Kondisi Tata Guna Lahan	13
2.6 Perubahan Tata Guna Lahan	15
2.7 Daur Hidrologi	15
2.8 Konsep Konservasi Sumber Daya Air	17
2.8.1 Konservasi Metode Vegetatif	17
2.8.2 Konservasi Metode Mekanis	22
2.9 Studi Terdahulu	27
2.10 Limpasan (Run Off)	29
2.11 Curah hujan rerata daerah (Area Rainfall)	30
2.12 Analisis distribusi frekuensi	32
2.13 Analisis frekuensi dan probabilitas	33
2.13.1 Distribusi pearson type III	33

2.13.2 Distribusi log pearson type III	34
<b>2.14 Uci Kecocokan</b>	<b>35</b>
2.14.1 Uji Kecocokan Chi Kuadrat	35
2.14.2 Uji Kecocokan Smirnov Kolmogorov	36
<b>2.15 Estimasi Aliran Permukaan dengan Metode Hydograf Nakayasu</b>	<b>37</b>
2.16 Penelusuran Banjir Lewat Waduk	40
<b>2.17 Klasifikasi Tanah</b>	<b>41</b>
2.17.1 Tekstur Tanah	41
2.17.2 Jenis Tanah	41
2.18 Analisa Aspek Lingkungan	46
2.19 Analisa Aspek Ekonomi	47
<b>BAB III METODOLOGI PENELITIAN</b>	<b>51</b>
3.1. Pendekatan Penelitian	51
3.2. Lokasi dan Waktu Penelitian	51
3.3. Pengumpulan Data	53
3.3.1. Data Primer	53
3.3.2. Data Sekunder	53
3.4. Analisa Aspek Teknis	55
3.5. Analisa Aspek Lingkungan	57
3.6. Analisa Aspek Ekonomi	57
<b>BAB IV ANALISIS DAN PEMBAHASAN</b>	
4.1 Analisa curah hujan	59
4.2 Perhitungan Curah Hujan Wilayah dengan metode Thiessen Polygon	63
4.3 Perhitungan Curah Hujan Rencana	66
4.3.1. Metode distribusi Log Pearson type III	66
4.3.2. Metode distribusi Pearson type III	67
4.4 Uji Keselarasan Distribusi	68
4.4.1. Uji Kecocokan Chi Kuadrat	68
4.4.2. Uji Kecocokan Smirnov Kolmogorov	73

4.5	Analisa tutupan lahan dan topografi DAS di wilayah studi	74
4.5.1.	Analisa jenis tutupan lahan di DAS wilayah studi	74
4.5.2.	Topografi di DAS wilayah studi	78
4.6	Perhitungan Koefisien Pengaliran	79
4.7	Perhitungan Debit Banjir Rencana dengan metode Nakayasu	80
4.8	Aspek Teknis	96
4.8.1	Upaya pengurangan debit banjir dengan metode vegetatif	96
4.8.2	Upaya pengurangan debit banjir dengan pembuatan embung/situ (alternatif 1).	110
4.8.3	Upaya pengurangan debit banjir dengan pembuatan Gabungan Pemanenan Air Hujan (PAH) dan Sumur Resapan	114
4.9	Aspek Lingkungan	117
4.9.1	Vegetasi	117
4.9.2	Penambahan muka air tanah dengan adanya pembuatan Situ/Embung maupun Sumur Resapan	121
4.10	Aspek Ekonomi	122
<b>BAB V</b>	<b>KESIMPULAN</b>	131
<b>DAFTAR PUSTAKA</b>		133
<b>LAMPIRAN GAMBAR</b>		
<b>LAMPIRAN TABEL</b>		

*“ halaman ini sengaja dikosongkan”*

## **DAFTAR GAMBAR**

	Hal.	
Gambar 2.1	Pembagian Sub DAS Cidurian	5
Gambar 2.2	Peta Lokasi Wilayah Studi	6
Gambar 2.3	Peta Topografi Wilayah Studi	9
Gambar 2.4	Peta Kemiringan Wilayah Studi	9
Gambar 2.5	<i>Bringin Putih/Ficus Benjaminia Var Varigata</i>	19
Gambar 2.6	Bambu/ <i>Melocanna Bambusoides</i>	20
Gambar 2.7	Durian	21
Gambar 2.8	Embung	24
Gambar 2.9	Pemanenan Air Hujan dan Sumur Resapan	25
Gambar 3.1	DAS Cidurian Bagian Hulu Bendung Rancasumur	52
Gambar 3.2	Bagan Alir Penelitian	54
Gambar 3.3	Bagan Alir Analisa Aspek Teknis	55
Gambar 3.4	Bagan Alir Analisa Aspek Lingkungan	57
Gambar 4.1	Uji Konsistensi Data Curah Hujan Pos Penakar Hujan Cikasungka	60
Gambar 4.2	Uji Konsistensi Data Curah Hujan Pos Penakar Hujan Toge	61
Gambar 4.3	Uji Konsistensi Data Curah Hujan Pos Penakar Hujan Cicinta	61
Gambar 4.4	Uji Konsistensi Data Curah Hujan Pos Penakar Hujan Cisalak Baru	62
Gambar 4.5	Uji Konsistensi Data Curah Hujan Pos Penakar Hujan Rancasumur	62
Gambar 4.6	Polygon Thiessen DAS Cidurian Bagian Hulu	64
Gambar 4.7	Web Online ( <a href="http://www.gisconvert.com">www.gisconvert.com</a> )	75
Gambar 4.8	Identifikasi permukiman	76

Gambar 4.9	Identifikasi Lahan Gundul/Tanah Terbuka pada hutan lahan kering sekunder.	76
Gambar 4.10	Identifikasi Lahan Gundul/Tanah Terbuka Pertanian Lahan Kering dan Pertanian Lahn Kering Campur Zona Hulu.	77
Gambar 4.11	Identifikasi Lahan Gundul/Tanah Terbuka Pertanian Lahan Kering dan Pertanian Lahn Kering Campur Zona Tengah	77
Gambar 4.12	Identifikasi Lahan Gundul/Tanah Terbuka Pertanian Lahan Kering dan Pertanian Lahn Kering Campur Zona Hilir	78
Gambar 4.13	Hasil pengurangan debit banjir dengan reboisasi dan tampungan	113
Gambar 4.14	Desain Pemanenan Air Hujan dan Sumur Resapan.	116

## DAFTAR TABEL

	Hal.	
Tabel 2.1	Survey tutupan lahan	10
Tabel 2.2	Survey embung/situ	12
Tabel 2.3	Klasifikasi Tutupan Lahan	13
Tabel 2.4	Pemilihan Metode Penentuan Curah Hujan	31
Tabel 2.5	Tabel Koefisien Pengaliran	39
Tabel 2.6	Kelas Tekstur Tanah	41
Tabel 2.7	Jenis Tanah	42
Tabel 2.8	Kapasitas Simpanan Air Tersedia	47
Tabel 4.1	Tinggi Hujan Harian Maksimum	59
Tabel 4.2	Luas Daerah Pengaruh Thiessen Polygon	63
Tabel 4.3	Perhitungan Curah Hujan Wilayah metode Thiessen Polygon.	65
Tabel 4.4	Perhitungan Curah Hujan Rencana Metode Distribusi Log Pearson Type III	66
Tabel 4.5	Periode Ulang Hujan Metode Distribusi Log Pearson Type III	67
Tabel 4.6	Perhitungan Curah Hujan Rencana Metode Distribusi Pearson Type III	67
Tabel 4.7	Periode Ulang Hujan Metode Distribusi Pearson Type III	68
Tabel 4.8	Nilai Logaritma dari tinggi hujan rata-rata wilayah	69
Tabel 4.9	Perhitungan parameter $x^2h$ untuk distribusi Log Pearson Type III	70
Tabel 4.10	Nilai dari tinggi hujan rata-rata wilayah	71
Tabel 4.11	Perhitungan parameter $x^2h$ untuk distribusi Pearson Type III	72
Tabel 4.12	Uji keselarasan Smirnov-Kolmogorof untuk distribusi Log Pearson Type III	73

Tabel 4.13	Uji keselarasan Smirnov-Kolmogorof untuk distribusi Pearson Type III	74
Tabel 4.14	Jenis dan Luas Tutupan Lahan di DAS wilayah studi	75
Tabel 4.15	Luas Lahan Gundul/Tanah Terbuka di wilayah studi	78
Tabel 4.16	Tutupan lahan berdasarkan kemiringan	79
Tabel 4.17	Perhitungan koefisien pengaliran	80
Tabel 4.18	Persamaan Lengkung naik	82
Tabel 4.19	Persamaan Lengkung Turun 1	83
Tabel 4.20	Persamaan Lengkung Turun 2	84
Tabel 4.21	Persamaan Lengkung Turun 3	85
Tabel 4.22	Distribusi Curah Hujan PUH 2 tahun	87
Tabel 4.23	Distribusi Curah Hujan PUH 5 tahun	87
Tabel 4.24	Distribusi Curah Hujan PUH 10 tahun	88
Tabel 4.25	Distribusi Curah Hujan PUH 25 tahun	88
Tabel 4.26	Distribusi Curah Hujan PUH 50 tahun	88
Tabel 4.27	Distribusi Curah Hujan PUH 100 tahun	89
Tabel 4.28	Debit Banjir PUH 2 tahun	90
Tabel 4.29	Debit Banjir PUH 5 tahun	91
Tabel 4.30	Debit Banjir PUH 10 tahun	92
Tabel 4.31	Debit Banjir PUH 25 tahun	93
Tabel 4.32	Debit Banjir PUH 50 tahun	94
Tabel 4.33	Debit Banjir PUH 100 tahun	95
Tabel 4.34	Rekapitusi debit banjir rencana hulu bendung rancasumur.	96
Tabel 4.35	Koefisien pengaliran setelah reboisasi	98
Tabel 4.36	Persamaan lengkung naik	100
Tabel 4.37	Persamaan Lengkung Turun 1	100
Tabel 4.38	Persamaan Lengkung Turun 2	101
Tabel 4.39	Persamaan Lengkung Turun 3	102

Tabel 4.40	Debit banjir setelah reboisasi PUH 2 tahun	104
Tabel 4.41	Debit banjir setelah reboisasi PUH 5 tahun	105
Tabel 4.42	Debit banjir setelah reboisasi PUH 10 tahun	106
Tabel 4.43	Debit banjir setelah reboisasi PUH 25 tahun	107
Tabel 4.44	Debit banjir setelah reboisasi PUH 50 tahun	108
Tabel 4.45	Debit banjir setelah reboisasi PUH 100 tahun	109
Tabel 4.46	Rekapitulasi debit banjir setelah reboisasi	110
Tabel 4.47	Rekapitulasi debit banjir sebelum dan setelah reboisasi	110
Tabel 4.48	Hubungan antara debit ( $Q_5$ ) dengan tampungan	111
Tabel 4.49	Perhitungan debit keluar ( <i>outflow</i> ) $Q_5$ dari tampungan	112
Tabel 4.50	Rekapitulasi pengurangan debit banjir dengan tampungan	114
Tabel 4.51	Rekapitulasi pengurangan debit banjir dengan Gabungan Pemanenan Air Hujan (PAH) dan Sumur Resapan	115
Tabel 4.52	Simpanan Lengas Tanah	117
Tabel 4.53	Analisis Biaya Tanam Pohon Durian per Hektar	122
Tabel 4.54	Analisis Biaya Tanam Pohon Bambu per Hektar	123
Tabel 4.55	Analisis Biaya Tanam Pohon Bringin Putih per Hektar	123
Tabel 4.56	Analisis Biaya Tanam Porang per Hektar	123
Tabel 4.57	Rincian Biaya Penanaman dan Pembelian Bibit Tanaman Konservasi	124
Tabel 4.58	Rincian Biaya Pembuatan 1 buah situ/embung	124
Tabel 4.59	Rincian Biaya Pembuatan 1 buah Pemanenan Air Hujan dan Sumur Resapan	125
Tabel 4.60	Rincian Biaya Konservasi Metode Vegetatif dan Metode Mekanik	125
Tabel 4.61	Biaya Investasi 1 Keramba	129



## **BAB I**

### **PENDAHULUAN**

#### **1.1 Latar Belakang.**

Banjir menjadi fenomena alam yang terjadi hampir secara rutin setiap tahun. Hampir di seluruh kabupaten kota di Provinsi Banten terdapat titik-titik rawan bencana banjir. Bencana alam banjir dapat terjadi secara alami maupun diakibatkan oleh kesalahan manusia itu sendiri. Seperti penebangan hutan secara liar di bagian hulu daerah aliran sungai akan berdampak fatal bagi kelangsungan ekosistem dan lingkungan hutan dan akan berpengaruh terhadap peningkatan laju limpasan permukaan (*runoff*).

Berdasarkan pencatatan debit di Pos Duga Air Bendung Ranca Sumur, peningkatan debit maksimum di sungai Cidurian mencapai 600%. Hasil pencatatan debit menunjukkan bahwa debit maksimum sungai Cidurian dari tahun 2002 sampai dengan tahun 2009 sebesar 236,92 m<sup>3</sup>/dt. Sedangkan dari tahun 2010 sampai dengan sekarang meningkat menjadi 1.214,05 m<sup>3</sup>/dt. Trend hujan sepanjang tahun tidak menunjukkan adanya perubahan yang signifikan. Hal ini diperkirakan dampak adanya perubahan tutupan lahan yang ada di Daerah Aliran Sungai Cidurian.

Penutupan/penggunaan lahan di DAS Cidurian dan sekitarnya meliputi 12 tipe yaitu, hutan lahan sekunder, hutan tanaman, perkebunan, permukiman, pertanian lahan kering, pertanian lahan kering campur, sawah, semak belukar, tambak, tanah terbuka, tubuh air dan bandara. Perubahan kondisi penutupan lahan yang mengalami perubahan adalah hutan tanaman, perkebunan, permukiman, semak belukar dan tanah terbuka. Berdasarkan hasil studi yang dilakukan oleh Balai Besar Wilayah Sungai Cidanau-Ciujung-Cidurian tahun 2009, luas hutan tanaman mengalami penurunan sebesar sebesar 26% setelah tahun 2006. Luas perkebunan mengalami penurunan sebesar 9% setelah tahun 2003. Luas permukiman mengalami pertumbuhan pada tahun 2000 ke 2003 sebesar 16.7%, sedangkan tahun 2003 ke 2006

sebesar 22.1%. Pertanian lahan kering campur mengalami penurunan luas dari tahun 2000 sampai 2006 akan tetapi terjadi kenaikan pada tahun 2009.

### **1.2 Rumusan Masalah.**

Besarnya debit banjir di sungai Cidurian sangat dipengaruhi oleh kondisi tutuhan lahan di Anak Sungai Cidurian Bagian Hulu. Oleh karena itu perlu adanya upaya konservasi sumber daya air untuk mengurangi laju aliran permukaan pada tutuhan lahan tersebut.

### **1.3 Tujuan.**

Tujuan penelitian ini adalah menentukan upaya Konservasi Sumber Daya Air pada tutuhan lahan Anak Sungai Cidurian Bagian Hulu baik secara mekanis maupun secara vegetatif untuk mengurangi debit banjir di sungai Cidurian.

### **1.4 Manfaat.**

Dengan berkurangnya aliran permukaan akibat konservasi sumber daya air tersebut akan berdampak pada kelangsungan ekosistem dan lingkungan hutan sekaligus dapat mencegah bencana bagi daerah hilirnya.

### **1.5 Ruang Lingkup.**

1. Upaya konservasi sumber daya air untuk memperkecil debit banjir di Sungai Cidurian dengan metode Mekanis dan Vegetatif di DAS anak sungai Cidurian bagian hulu.
2. Untuk konservasi secara mekanis yaitu dengan pembuatan Situ/Embung maupun Gabungan Pemanenan Air Hujan sedangkan secara vegetatif adalah dengan kegiatan reboisasi menggunakan tanaman.
3. Kajian ini tidak membahas masalah erosi lahan.
4. Kajian ini hanya membahas analisa teknis, analisa lingkungan dan analisa ekonomi dalam upaya Konservasi Sumber Daya Air di DAS

Anak Sungai Cidurian Bagian Hulu Dalam Rangka Pengurangan Debit Banjir di Sungai Cidurian.

5. Analisa Aspek Teknis membahas pengurangan debit dengan vegetatif maupun mekanis.
6. Analisa Aspek Lingkungan membahas simpanan air yang tersedia oleh tanaman dan pengaruh muka air tanah akibat pembuatan situ/embung maupun gabungan pemanenan air hujan dan sumur resapan.
7. Analisa Aspek Ekonomi membahas *benefit cost analysis*.

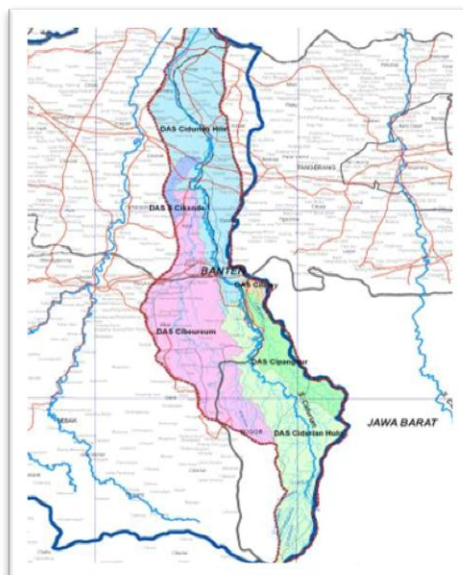
*“ Halaman ini sengaja dikosongkan “*

## **BAB II**

### **TINJAUAN PUSTAKA**

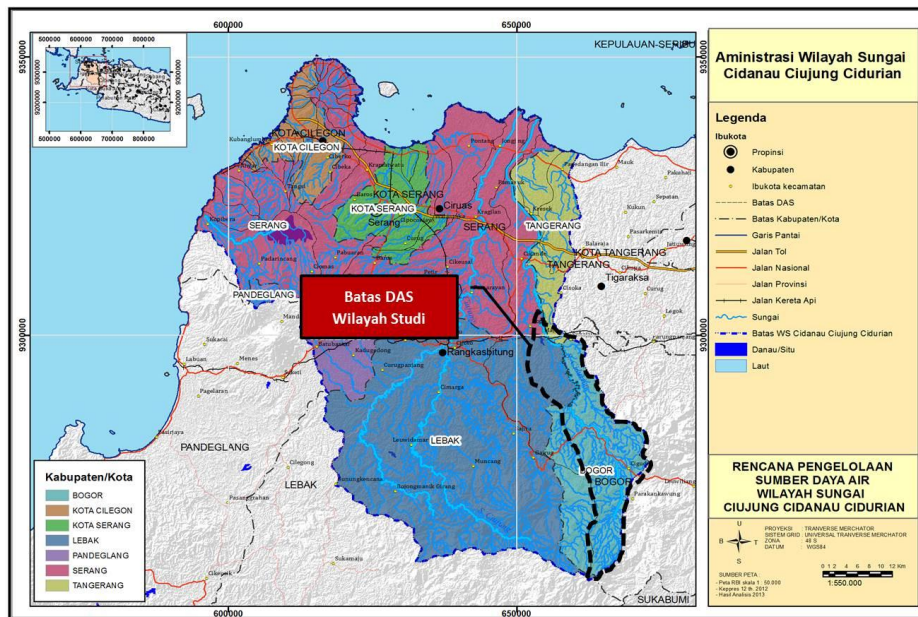
#### **2.1 Gambaran Umum Wilayah Studi**

DAS Cidurian terbagi menjadi 6 (enam) sub DAS, yaitu Sub DAS Cibeureum, Sub DAS Cipangaur, Sub DAS Cilalay, Sub DAS Cidurian Hulu, Sub DAS Cikande dan Sub DAS Cidurian Hilir. Luas masing-masing Sub DAS adalah 256.15 Km<sup>2</sup>, 72.34 Km<sup>2</sup>, 9.38 Km<sup>2</sup>, 218 Km<sup>2</sup>, 17.84 Km<sup>2</sup> dan 268.20 Km<sup>2</sup>.



Gambar 2.1 Pembagian Sub DAS Cidurian (BBWS Cidanau-Ciujung-Cidurian, 2015).

Lokasi wilayah studi yang ditinjau berada di hulu bendung Ranca Sumur provinsi Banten dan Provinsi Jawa Barat. Lokasi wilayah studi merupakan gabungan dari beberapa Sub DAS Cidurian antara lain Sub DAS Cilalay, Sub DAS Cipangaur, Sub DAS Cidurian Hulu dan sebagian Sub DAS Cidurian Hilir. Luas keseluruhan DAS pada wilayah studi adalah 322,748 Km<sup>2</sup>. Lokasi wilayah studi melintasi provinsi Banten (Kabupaten Serang, Kabupaten Tangerang dan Kabupaten Lebak) dan provinsi Jawa Barat (Kabupaten Bogor).



Gambar 2.2 Peta Lokasi Wilayah Studi (BBWS Cidanau-Ciujung-Cidurian, 2015).

Secara geografis Kabupaten Serang terletak di posisi koordinat antara  $105^{\circ}7'$ - $105^{\circ}22'$  BT dan  $5^{\circ}50'$ - $6^{\circ}21'$  LS. Sebelah utara : berbatasan dengan Laut Jawa, sebelah selatan : berbatasan dengan Kabupaten Lebak dan Kabupaten Pandeglang, sebelah barat : berbatasan dengan Kota Cilegon dan Selat Sunda, sebelah timur : berbatasan dengan Kabupaten Tangerang.

Kabupaten Tangerang terletak di bagian Timur Provinsi Banten pada koordinat  $106^{\circ}20'$ - $106^{\circ}44'$  Bujur Timur dan  $5^{\circ}58'$ - $6^{\circ}21'$  Lintang Selatan. Kabupaten Tangerang termasuk salah satu daerah yang menjadi bagian dari wilayah Propinsi Banten. Terletak pada posisi geografis cukup strategis dengan batas-batas. Sebelah utara : berbatasan dengan Laut Jawa (dengan garis pantai  $\pm 51$  Km), Sebelah timur : berbatasan dengan Kota Tangerang Selatan, Kota Tangerang dan DKI Jakarta, Sebelah selatan : berbatasan dengan Kabupaten Bogor (Provinsi Jawa Barat) dan Lebak, Sebelah barat : berbatasan dengan Kabupaten Serang dan Lebak

Kabupaten Lebak terletak di posisi koordinat antara  $105^{\circ}25'$ - $106^{\circ}30'$  BT dan  $6^{\circ}18'$ - $7^{\circ}00'$  LS. Sebelah utara : berbatasan dengan Kabupaten Serang dan Kabupaten Tangerang, sebelah selatan : berbatasan dengan Samudra Hindia,

sebelah barat : berbatasan dengan Kabupaten Pandeglang, sebelah timur : berbatasan dengan Kabupaten Bogor dan Kabupaten Sukabumi.

Kabupaten Bogor terletak di posisi koordinat antara  $106^{\circ}23' - 107^{\circ}13'$  BT dan  $6^{\circ}18' - 6^{\circ}47'$  LS. Sebelah utara : berbatasan dengan Kabupaten Tangerang dan Kab/Kota Bekasi, Kota Depok, sebelah selatan : berbatasan dengan Kabupaten Sukabumi dan Cianjur, sebelah barat : berbatasan dengan Kabupaten Lebak, sebelah Timur : berbatasan dengan Kabupaten Cianjur dan Kabupaten Karawang.

Banjir yang cukup besar terjadi di kabupaten Serang dan Kabupaten Tangerang mulai tahun 2011 sampai sekarang lihat lampiran – 1 peta rawan banjir Cidanau-Ciujung-Cidurian. Di kabupaten Tangerang, banjir yang diakibatkan oleh meluapnya sungai Cidurian ini menggenangi 2 (dua) kecamatan yaitu kecamatan Kresek dan kecamatan Jayanti (Sumber: Laporan banjir BBWS Cidanau-Ciujung-Cidurian, tanggal 15 Januari 2012). Sungai Cidurian juga menggenangi beberapa daerah di Kabupaten Serang Kecamatan Cikande dan kecamatan Carenang (Sumber: Laporan banjir BBWS Cidanau-Ciujung-Cidurian, tanggal 15 Januari 2012). Luapan sungai Cidurian menggenangi 1950 rumah dengan ketinggian 0.5 - 1 meter. Lihat Lampiran - 2 Debit maksimum sungai Cidurian di Bendung Rancasumur ( $m^3/dt$ ).

Permasalahan banjir yang terjadi di bagian hilir suatu daerah sangat dipengaruhi oleh kondisi tutupan lahan di bagian hulu daerah aliran sungai. Kondisi tutupan lahan suatu daerah akan menentukan besarnya limpasan (runoff) yang terjadi. Semakin besarnya limpasan permukaan akan berdampak pada besarnya debit sungai yang terjadi di bagian hilir pada saat hujan. Dinamika perubahan penggunaan lahan sering kali menyebabkan perubahan kualitas lahan termasuk sumber daya air dikarenakan ketidaksesuaian antara kemampuan lahan dan penggunaannya. Lihat pada Lampiran - 3 Peta Tutupan Lahan DAS Cidurian Tahun 2000, Lampiran - 4 Peta Tutupan Lahan DAS Cidurian Tahun 2003, Lampiran – 5 Peta Tutupan Lahan DAS Cidurian Tahun 2006 dan Lampiran – 6 Peta Tutupan Lahan DAS Cidurian Tahun 2009.

## **2.2 Permasalahan Banjir di Kabupaten Serang dan Kabupaten Tangerang.**

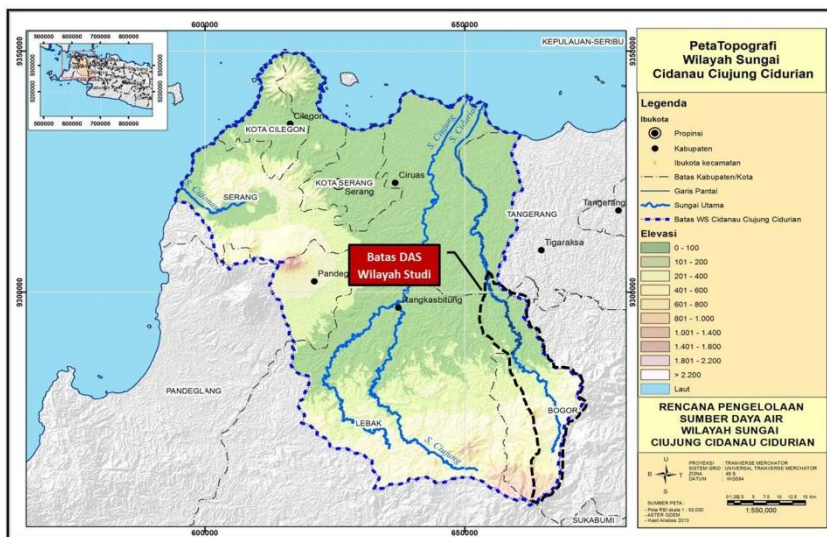
Berdasarkan hasil dari Studi Komprehensif Sistem Pengendalian Banjir Sungai Cidurian tahun 2013, banjir yang terjadi di DAS Cidurian disebabkan oleh :

1. Terjadinya perubahan tutupan lahan baik di daerah hulu sampai dengan hilir. Perubahan tutupan lahan diantaranya adalah penurunan fungsi hutan dan semakin berkembangnya permukiman yang membuat meningkatnya limpasan permukaan.
2. Intensitas hujan yang tinggi sehingga menimbulkan debit puncak yang besar dengan waktu yang relatif pendek.
3. Banjir yang terjadi diindikasikan adanya pengurangan kapasitas tampung sungai yang disebabkan oleh sedimentasi tinggi di badan sungai. Sedimentasi juga terjadi di bagian muara sungai akibat dari interaksi antara sedimen di sungai dan pasang surut air laut.
4. Degradasi hidrolik struktur bangunan di sungai atau *Local Scouring*.
5. Kondisi sistem drainase yang terbatas.
6. Perkembangan jumlah penduduk.

Perlu adanya upaya untuk meminimalisir banjir yang terjadi di Sungai Cidurian, terutama pada daerah terdampak yaitu kabupaten Serang dan Kabupaten Tangerang. Melalui kajian ini, upaya untuk mengurangi debit banjir yang terjadi adalah dengan konservasi sumber daya air di bagian hulu bendung rancasumur. Secara umum wilayah hulu DAS merupakan wilayah penyangga untuk kehidupan di wilayah tengah dan wilayah hilir. Kerusakan DAS di wilayah hulu akan berpengaruh secara nyata ke wilayah dibawahnya. Upaya pengurangan debit banjir yang dilakukan adalah dengan Metode Vegetatif, Embung/situ dan Pemanenan Air Hujan.

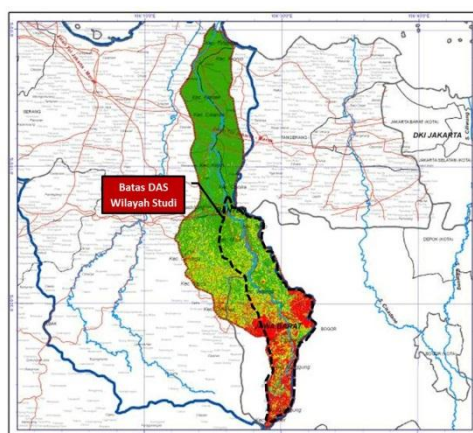
## 2.3 Kondisi Topografi

Ketinggian dan kemiringan lahan ini berdasarkan dokumen Pola Wilayah Sungai Cidanau-Ciujung-Cidurian dari Balai Besar Wilayah Sungai Cidanau-Ciujung-Cidurian. Ketinggian elevasi lahan di bagian hilir berkisar antara 101 sampai dengan 200 dpl. Di bagian tengah elevasi mencapai 201-600 dpl, sedangkan di bagian hulu elevasi mencapai 601 sampai dengan 1000 dpl.



Gambar 2.3 Peta Topografi Wilayah Studi (BBWS Cidanau-Ciujung-Cidurian, 2015).

Sedangkan dari kondisi kemiringan lereng di bagian hilir DAS kurang dari 8%. Di bagian tengah dan hulu DAS berkisar antara 8% sampai dengan 20%.



Gambar 2.4 Peta Kemiringan Wilayah Studi (BBWS Cidanau-Ciujung-Cidurian, 2013).

## **2.4 Survey tutupan lahan di wilayah studi saat ini.**

Tutupan lahan berikut ini merupakan hasil survey di lapangan secara acak. Survey yang dilakukan meliputi jenis tanaman dan kondisi embung/situ yang ada di wilayah studi saat ini. Hasil survey akan disajikan dalam tabel 2.1 berikut ini.

Tabel 2.1 Survey Tutupan Lahan

No.	Koordinat	Dokumentasi
1.	0655391 LS, 9294883 BT	
2.	0656211 LS, 9292325 BT	
3.	0659015 LS, 9299445 BT	
4.	0659067 LS, 9245166 BT	

No.	Koordinat	Dokumentasi
5.	0660879 LS, 9291905 BT	
6.	0661509 LS, 9285859 BT	
8.	0661323 LS, 9282923 BT	

Tabel 2.2 Survey situ/embung.

No.	Koordinat	Dokumentasi
1.	Situ Ciseungit 0659729      9285372	
2.	Situ Cipayung 0660971.96    9286406.27	
3.	Situ Cinyiru 0665203      9284407	
4.	Situ Cigudeg 0665994      9275369	

(Sumber : hasil survey)

## **2.5 Kondisi Tata Guna Lahan.**

Kondisi tutupan lahan untuk DAS Cidurian dirujuk dari hasil aktivitas pemantauan hutan yang dilakukan oleh Kementerian Kehutanan. Sejak 1990, pemantauan penutupan lahan seluruh Indonesia memanfaatkan citra satelit. Ketersediaan citra satelit dari berbagai sumber data yang ada memungkinkan untuk melakukan pemantauan penutupan hutan dengan menggunakan citra satelit resolusi rendah sampai resolusi tinggi. Pemantauan tutupan lahan melalui penafsiran citra satelit ini dilakukan untuk terus melihat perubahan penutupan lahan.

Kelas penutupan lahan yang menjadi acuan bagi semua institusi di bidang kehutanan di Indonesia digunakan untuk memudahkan komunikasi data, integrasi data, serta konsistensi informasi penutupan lahan.

Berikut ini kelas penutupan lahan yang ada di DAS Cidurian berdasarkan hasil pemantauan hutan yang bersumber dari Kementerian Kehutanan.

Tabel 2.3 Klasifikasi Tutupan Lahan

<b>Kode</b>	<b>Jenis Tutupan Lahan</b>	<b>Keterangan</b>
2001	Hutan lahan kering primer	Seluruh kenampakan hutan dataran rendah perbukitan, dan pegunungan yang belum terlihat adanya bekas penebangan, termasuk hutan kerdil, hutan kerangas, hutan di atas batuan kapur, hutan di batuan ultra basa, hutan daun jarum, hutan luruh, dan hutan lumut
2002	Hutan Sekunder	Hutan sekunder adalah kenampakan hutan dataran rendah, perbukitan, dan pegunungan yang telah menampakkan bekas penebangan (alur dan bercak bekas penebangan)
2005	Hutan Rawa Primer	Seluruh kenampakan hutan di daerah berawa, termasuk rawa gambut dan rawa payau yang belum menampakkan bekas penebangan

Lanjutan Tabel 2.3 Klasifikasi Tutupan Lahan

<b>Kode</b>	<b>Jenis Tutupan Lahan</b>	<b>Keterangan</b>
20051	Hutan Rawa Sekunder	Seluruh kenampakan hutan di daerah berawa telah menampakkan bekas penebangan dengan kenampakan jalur pembukaan areal (biasanya ada jalur rel), dan bercak bekas penebangan
2004	Hutan Mangrove Primer	Seluruh kenampakan hutan bakau, nipah, dan bibung yang berada di sekitar pantai, dan belum menampakkan bekas penebangan.
20041	Hutan Mangrove Sekunder	Seluruh kenampakan hutan bakau, nipah, dan nibung yang menunjukkan bekas penebangan, bercak, atau bekas terbakar.
2007	Semak Belukar	Kawasan bekas hutan lahan kering yang telah tumbuh kembali (suksesi), atau kawasan dengan pohon jarang (alami), atau kawasan dengan vegetasi rendah (alami) lainnya. Umumnya sudah tidak ada kenampakan bekas alur atau bercak penebangan lagi
20071	Semak Belukar Rawa	Kawasan bekas hutan di daerah basah (rawa) yang telah tumbuh kembali (suksesi), atau kawasan dengan liputan pohon jarang (alami), atau kawasan dengan dominasi vegetasi rendah (alami), serta umumnya tidak ada kenampakan bekas alur atau bercak penebangan lagi
3000	Rumput Kering dan Rumput Rawa	Kenampakan non-hutan alami berupa padang rumput kadang dengan sedikit semak atau pohon. Secara alami kenampakan rumput dengan area yang cukup luas. Kenampakan ini dapat terjadi pada lahan kering atau rawa (rumput rawa)
2006	Hutan Tanaman	Kelas penutupan lahan hutan yang merupakan hasil budidaya manusia, meliputi Hutan Tanaman Industri maupun Hutan Tanaman hasil reboisasi yang berada di dalam

Lanjutan Tabel 2.3 Klasifikasi Tutupan Lahan

		Maupun diluar kawasan hutan (APL). Dari citra satelit terlihat mempunyai pola tanam teratur pada daerah datar, sedangkan untuk area bergelombang terlihat warna citra yang berbeda dengan lingkungan sekitarnya.
2010	Perkebunan	-
20091	Pertanian lahan kering	-
20092	Pertanian lahan kering campur	-
20093	Sawah	-
20094	Tambak	-
2014	Tanah Terbuka	-
20141	Pertambangan	-
2012	Permukiman	-
5001	Tubuh Air	-
50011	Rawa	-
2500	Awan	-
20121	Bandara	-
20122	Transmigrasi	-

(Sumber : Kementerian Kehutanan, 2009)

## 2.6 Perubahan Tata Guna Lahan.

Perubahan tata guna lahan adalah berubahnya penggunaan lahan dari satu sisi penggunaan ke penggunaan yang lain diikuti dengan berkurangnya tipe penggunaan lahan yang lain dari suatu waktu ke waktu berikutnya atau berubahnya fungsi lahan suatu daerah pada kurun waktu yang berbeda (Wahyunto et al., 2001). Perubahan fungsi tutupan lahan dari kawasan konservasi (lahan hijau) menjadi kawasan terbangun (permukiman) akan memperberat tekanan terhadap kondisi lingkungan antara lain mempengaruhi besarnya laju erosi dan sedimentasi di wilayah hulu, menimbulkan banjir dan genangan di wilayah hilir, serta tanah longsor dan kekeringan.

## 2.7 Daur Hidrologi.

Siklus air atau siklus hidrologi adalah sirkulasi air yang tidak pernah berhenti dari atmosfer ke bumi dan kembali ke atmosfer melalui kondensasi,

presipitasi, evaporasi dan transpirasi. Secara garis besar siklus ini dimulai dari penguapan (Evaporasi) yang terjadi di laut ke atmosfer, yang kemudian uap tersebut kembali turun ke bumi berupa hujan (Presipitasi) dan kembali lagi ke laut. Apabila dijelaskan secara rinci, penguapan yang terjadi bukan hanya di laut, tetapi penguapan juga terjadi di daratan dan tumbuhan (Transpirasi). Penguapan tersebut dikenal dengan evapotranspirasi. Hasil evapotranspirasi menjadi uap di atmosfer berkumpul dan membentuk awan. Awan yang jenuh air merupakan awan penyebab terjadinya hujan (Presipitasi). Hujan yang turun di permukaan bumi tidak seluruhnya turun di permukaan bumi, tetapi sebagian kecil ada yang diuapkan kembali ke atmosfer. Sisanya sebagian besar akan sampai di permukaan bumi. Air hujan yang jatuh dipermukaan bumi tidak semuanya jatuh di permukaan tanah, melainkan ada yang tertahan di tanaman, bangunan dan lain sebagainya yang nantinya juga akan diuapkan kembali ke atmosfer. Air yang jatuh di permukaan tanah sebagian akan menjadi aliran permukaan (*Run Off*) dan sebagian akan meresap kedalam tanah (Infiltrasi). Besarnya air yang meresap ke dalam tanah tergantung dari kerapatan dan jenuh air dari tanah tersebut. Air yang menjadi air pemukaan akan mengisi cekungan, kubangan di permukaan tanah. Air hujan yang masuk ke dalam tanah jika kondisinya memungkinkan (*Interflow*), yang bersama overland flow kemudian menjadi Surface Run Off. Sebagian air infiltrasi jika kondisi memungkinkan akan tetap tinggal dalam tanah (*Moisture Content*) dan sisanya lagi secara gravitasi akan mengalir vertikal (Perkolasi) masuk ke dalam tanah sampai muka air tanah. Air tanah walaupun sangat lambat akan bergerak ke tempat – tempat yang lebih rendah, bila ketemu patahan bumi akan keluar sebagai mata air dan bila ketemu palung sungai akan mengisi air sungai bersama Surface Run Off akan terus mengalir ke muara sampai laut. Selama pengalirannya ke laut air tersebut dapat diuapkan kembali dan sesampainya di laut terus diuapkan kembali. Siklus ini akan berulang kembali secara terus menerus.

## **2.8 Konsep Konservasi Sumber Daya Air**

Pada awalnya konservasi dianggap sebagai suatu upaya perlindungan dan pelestarian yang menutup kemungkinan dilakukan pemanfaatan sumberdaya alam, namun sekarang bila kawasan itu dilindungi, dirancang dan dikelola secara tepat, dapat memberikan keuntungan yang lestari bagi masyarakat dan sebagai sumber devisa Negara. Konservasi sumber daya air adalah usaha-usaha untuk menjaga air tetap produktif, baik secara kualitas dan kuantitasnya. Selain itu juga agar air dapat lebih banyak tersimpan didalam tanah sehingga dapat digunakan tanaman dan mengurangi terjadinya banjir dan erosi. Prinsip dasar dalam konservasi sumber daya air adalah menggunakan tanah sesuai dengan kemampuannya. Konservasi sumber daya air ini sangat terkait dengan konservasi tanah dan air. Menurut Undang-undang Republik Indonesia Nomor 37 Tahun 2014, Konservasi Tanah dan Air adalah upaya perlindungan, pemulihan, peningkatan dan pemeliharaan Fungsi tanah pada lahan sesuai dengan kemampuan dan peruntukan lahan untuk mendukung pembangunan yang berkelanjutan dan kehidupan yang lestari. Kegiatan yang terkait dalam konservasi sumber daya air adalah kegiatan penghijauan. Kegiatan penghijauan merupakan upaya memulihkan atau memperbaiki lahan kritis diluar kawasan hutan agar berfungsi sebagai media tata air yang baik. Selain itu untuk mencegah kerusakan Daerah Aliran Sungai (DAS) dapat dilakukan cara pendekatan sipil teknis (metode mekanis) dan/atau pendekatan vegetative (metode vegetatif). Pendekatan sipil teknis adalah upaya pengendalian laju kerusakan DAS dengan membangun bangunan-bangunan, misalnya embung/situ, tanggul, dam dan sumur resapan. Sedangkan pendekatan vegetatif adalah upaya penanaman jenis-jenis tanaman yang mampu mengurangi laju kerusakan DAS dengan teknik budidaya yang benar.

### **2.8.1. Konservasi Metode Vegetatif**

Metode Vegetatif adalah metode untuk mengurangi daya rusak yang diakibatkan oleh limpahan air permukaan dari air hujan yang jatuh ke permukaan tanah dengan menggunakan tanaman atau tumbuhan-tumbuhan.

Dalam konservasi dengan metode vegetatif diperoleh beberapa fungsi antara lain (Arsyad, 2000) :

1. Melindungi tanah terhadap daya perusak butir-butir hujan yang jatuh.
2. Melindungi tanah terhadap daya perusak aliran air di atas permukaan tanah.
3. Memperbaiki kapasitas infiltrasi tanah dan penahanan air yang langsung mempengaruhi besarnya aliran permukaan.

Dalam kajian ini konsevasi metode vegetatif yang dibahas adalah Penghutanan Kembali (*Reforestation*) (Subagyono et al., 2003). Penghutanan Kembali (*Reforestation*) secara umum dimaksudkan untuk mengembalikan dan memperbaiki kondisi ekologi dan hidrologi suatu wilayah dengan tanaman pohon – pohonan. Hutan mempunyai fungsi tata air yang unik karena mampu menyimpan air dan meredam debit air pada saat musim penghujan dan menyediakan air secara terkendali pada saat musim kemarau (*sponge effect*). Teknik vegetatif ini effektif apabila dilakukan pada lahan dengan kedalaman tanah >3m. Apabila dilakukan dengan kedalaman tanah <3 m, maka akan terjadi keterbatasan kapasitas tanah dalam menyimpan air karena aliran permukaan yang cukup tinggi (Agus et al., 2002). Untuk dapat menyimpan air dan meredam debit air, jenis tanaman yang digunakan dalam teknik konservasi ini sebaiknya berasal dari jenis yang mudah beradaptasi terhadap lingkungan baru, cepat berkembang biak, mempunyai perakaran kuat dan kanopi yang rapat dan rindang.

Jenis tanaman (vegetasi) yang dipakai dalam kajian ini adalah jenis yang mempunyai peran dalam konservasi sumber daya air serta mempunyai nilai ekonomi, antara lain :

a. Beringin Putih (*Ficus Benjamina Var Varigata*)

Jenis tanaman ini masuk dalam jenis ficus spp yang merupakan family dari Moraceae (suku nangka-nangkaan). Jenis tanaman ini memiliki ciri bergetah, kanopi lebar, jenis akar gantung dari cabang sampai menjulur ke tanah. Terkait dengan konservasi sumber daya air, tanaman ini memiliki nilai hidrologis karena struktur perakaran yang dalam dan

kuat serta lateral yang mencengkeram sehingga berperan besar dalam pengaturan tata air (Ulum, S. 2009).



Gambar 2.5 Bringin Putih /*Ficus Benjamina Var Varigata*  
(Ulum S., 2009)

Agar tanaman ini dapat berfungsi secara maksimal, perlu diperhatikan persyaratan sebagai berikut :

1. Topografi (ketinggian 0 – 1400 dpl (Sastrapaja dan Afriastini, 1994)).
2. Keadaan iklim (Suhu 10°C-37°C(Jimenes, 2007), Curah hujan 1250-2000 mm/tahun(Koeppen dan Trewartha, 1943)).
3. Keadaan tanah (Dapat tumbuh pada semua jenis tanah)
4. Kondisi lingkungan (mengurangi tingkat erosi dan kelongsoran tanah).
5. Dapat beradaptasi pada lereng dengan kemiringan 0%-55%.

b. Bambu (*Melocanna Bambusoides*)

Tanaman jenis ini termasuk dalam tanaman jenis rumput-rumputan. Jenis tanaman ini juga memiliki nilai hidrologis karena memiliki akar yang rapat, menyebar, tidak mudah putus sehingga lahan di bawah tegakan bambu menjadi sangat stabil dan mudah meresapkan air. Menurut Balai Penelitian Tanaman Industri dan Penyegar Kementerian Pertanian, 2012,

tanaman ini dapat menjaga ekosistem tanah dan air sehingga dapat dipergunakan sebagai tanaman konservasi. Bambu juga dapat menyerap air hingga 90% (smith, 2002).



Gambar 2.6 Bambu (*Melocanna Bambusoides*)  
(Smith., 2002)

Bambu termasuk jenis tanaman serbaguna atau MPTS (*Multi Purpose Trees Species*), karena hampir seluruh bagian dari tanaman bambu dapat dimanfaatkan. Bambu mempunyai nilai ekologi yaitu sebagai tanaman hias, tirai peredam suara, pengikat karbondioksida dan dapat mencegah erosi apabila ditanam di tepi jurang, lereng dan sungai.

Agar tanaman ini dapat berfungsi secara maksimal, perlu diperhatikan persyaratan sebagai berikut :

1. Topografi (ketinggian 0 – 1500 dpl)
2. Keadaan iklim (Kelembaban ±80%, Suhu 15°C-41°C, Curah hujan 1000-3000 mm/tahun).
3. Keadaan tanah (Dapat tumbuh pada semua jenis tanah, berdrainase baik, pH antara 5,6 - 6,5).
4. Dapat beradaptasi pada lereng dengan kemiringan 0%-55%.

c. Durian

Tanaman durian merupakan tanaman buah berupa pohon. Tanaman durian semula berupa tanaman liar yang berasal dari hutan Malaysia, Sumatra dan Kalimantan. Manfaat tanaman durian selain diambil buahnya, pohonnya

dapat dipakai sebagai pencegah erosi di lahan miring. Biji durian mempunyai kandungan pati cukup dapat dipakai sebagai alternatif pengganti makanan. Kulitnya dapat dipakai sebagai bahan abu gosok.



Gambar 2.7 Durian

Agar tanaman ini dapat berfungsi secara maksimal, perlu diperhatikan persyaratan sebagai berikut :

1. Curah hujan > 2.000 mm/tahun.
2. Intensitas cahaya 40-50%.
3. Suhu 22 - 30°C.
4. Ketinggian antara 100-500 M dpl, apabila ditanam pada daerah yang lebih tinggi akan menurunkan mutunya.

(BP2SDM Kemen LH dan Kehutanan, 2014).

Dalam penerapannya, konservasi dengan metode vegetatif memiliki kelebihan dan kekurangan antara lain :

Kelebihan konservasi dengan metode vegetatif adalah :

- Dapat meningkatkan sifat fisika tanah.
- Dapat mengurangi erosi.
- Menghasilkan oksigen.

Kekurangan konservasi dengan metode vegetatif adalah :

- Merupakan program jangka panjang karena tanaman membutuhkan waktu untuk tumbuh.

- Memerlukan pemeliharaan (khusus tanaman buah).

### **2.8.2. Metode Mekanis**

Prinsip konservasi sumber daya air adalah pemanfaatan air hujan yang jatuh ke permukaan tanah secara effisien serta pengaturan waktu pengaliran air permukaan tersebut sebelum masuk ke badan penerima tanpa menimbulkan dampak banjir yang merusak dan adanya ketersediaan air pada saat musim kemarau (Arsyad, 2000). Tujuan dari konservasi sumber daya air adalah mengurangi jumlah air aliran permukaan melalui peningkatan infiltrasi, peningkatan kandungan bahan organik, atau dengan meningkatkan simpanan air di permukaan tanah (surface storage). Dalam metode mekanik ini memiliki prinsip yaitu mengurangi hilangnya tanah dalam volume yang cukup besar akibat erosi. Fungsi dari konservasi metode mekanik adalah :

- Memperlambat aliran permukaan.
- Menampung dan mengalirkan aliran permukaan sehingga tidak merusak.
- Memperbesar kapasitas infiltasi air ke dalam tanah dan memperbaiki aerasi tanah.
- Menyediakan air bagi tanaman.

Dalam penerapannya, konservasi dengan metode mekanik memiliki kelebihan dan kerugian.

Kelebihan konservasi dengan metode mekanis adalah :

- Meningkatkan ketersediaan air bagi manusia, tanaman dan ternak.
- Meningkatkan intensitas tanam, produksi, pendapatan petani dan produktifitas tenaga kerja petani.
- Mengurangi dan mencegah bahaya banjir dan sedimentasi.
- Menampung hasil sedimentasi yang dapat dikembalikan ke lahan usaha tani.

Kerugian konservasi dengan metode mekanis adalah :

- Memerlukan tenaga kerja dan biaya untuk pembangunan serta pemeliharaan rutin.

- Mengurangi luas lahan budi daya karena sebagian digunakan untuk pembuatan bangunan.
- Memerlukan kerjasama diantara petani untuk pembuatan bangunan dan saluran pembuangan air.

Dalam kajian ini metode mekanis yang dibahas adalah dengan pembuatan situ/embung, gabungan pemanenan air hujan dan sumur resapan.

a. Situ/Embung.

Embung adalah bangunan berupa cekungan yang cukup besar yang berfungsi sebagai pemanen aliran permukaan dan air hujan (lihat gambar 2.8). Selain itu embung penampung atau embung konservasi dapat menahan kelebihan air pada masa-masa aliran tinggi maupun rendah untuk digunakan pada waktu dibutuhkan. Berapapun ukuran suatu embung atau apapun tujuan akhir dari pemanfaatan airnya, fungsi utama dari suatu embung adalah untuk menstabilkan aliran air, baik dengan cara pengaturan persediaan air yang berubah-ubah pada suatu sungai alamiah, maupun dengan cara memenuhi kebutuhan yang berubah-ubah dari para konsumen (Linsley dkk.,1985).

Kriteria lokasi penempatan embung adalah sebagai berikut :

- Hendaknya embung dibuat pada lahan dengan kemiringan 5% - 30%. Hal ini bertujuan agar limpasan air permukaan cepat mengisi embung.
- Embung hendaknya dibangun di kawasan yang mempunyai luas daerah aliran air (tampungan) yang cukup, sehingga limpasan air hujan dapat disalurkan ke embung hingga mengisi penuh pada musim hujan.
- Kedalaman embung berkisar antara 4m – 10m.
- Tidak terlalu jauh dari saluran pembuangan utama agar memudahkan membuang kelebihan air.

(Subagyono et al, 2004)



Gambar 2.8 Embung (Subagyono et al, 2004).

b. Teknik Pemanenan Air Hujan dan Sumur Resapan

Air hujan merupakan sumber air yang sangat penting terutama di daerah yang tidak terdapat sistem penyediaan air bersih, kualitas air permukaan yang rendah serta tidak tersedia air tanah (Abdulla et al., 2009). Pemanenan air hujan (PAH) merupakan metode atau teknologi yang digunakan untuk mengumpulkan air hujan yang berasal dari atap bangunan, permukaan tanah, jalan atau perbukitan batu dan dimanfaatkan sebagai salah satu sumber suplai air bersih (UNEP, 2001; Abdulla et al., 2009). Menurut UNEP (2001), keuntungan penggunaan air hujan sebagai sumber air bersih adalah :

- Meminimalisasi dampak lingkungan : penggunaan instrumen yang sudah ada (atap rumah, tempat parkir, taman, dan lain-lain) dapat menghemat pengadaan instrumen baru dan meminimalisasi dampak lingkungan serta mengurangi debit banjir.
- Lebih bersih : air hujan yang dikumpulkan relatif lebih bersih dan kualitasnya memenuhi persyaratan sebagai air baku air bersih dengan atau tanpa pengolahan lebih lanjut.
- Kondisi darurat : air hujan sebagai cadangan air bersih sangat penting penggunaannya pada saat darurat atau terdapat gangguan sistem penyediaan air bersih, terutama pada saat terjadi bencana alam. Sebagai cadangan air bersih : pemanenan air hujan dapat mengurangi kebergantungan pada sistem penyediaan air bersih.
- Sebagai salah satu upaya konservasi.

- Pemanenan air hujan merupakan teknologi yang mudah dan fleksibel dan dapat dibangun sesuai dengan kebutuhan.

Debit yang berasal dari atap dihitung dengan persamaan :

$$Q = 0,002778 \times C \times I \times A \dots \dots \dots \dots \dots (2.1)$$

Dimana :

C = koefisien pengaliran

I = intensitas hujan (mm/jam)

A = daerah tangkapan/atap (Ha)

Kedalaman sumur resapan dihitung dengan persamaan :

$$H = \frac{Q}{F \times K} \left( 1 - e^{-\frac{F K T}{\pi r^2}} \right) \dots \dots \dots \dots \dots (2.2)$$

dimana :

Q = debit yang masuk ke sumur resapan ( $m^3/dt$ )

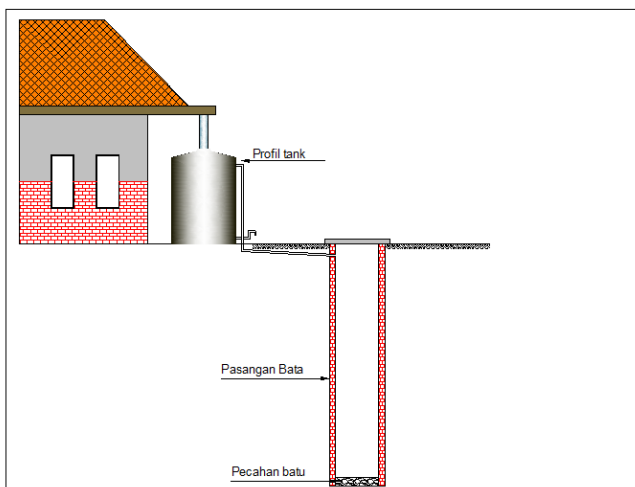
F = faktor geometric (m)

T = waktu pengaliran (detik)

K = koefisien permeabilitas tanah ( $m/dt$ )

R = jari-jari sumur resapan (m)

(suripin, 2003)



Gambar 2.9 Pemanenan Air Hujan dan Sumur Resapan.  
(Sumber : SNI 06-2405-1991)

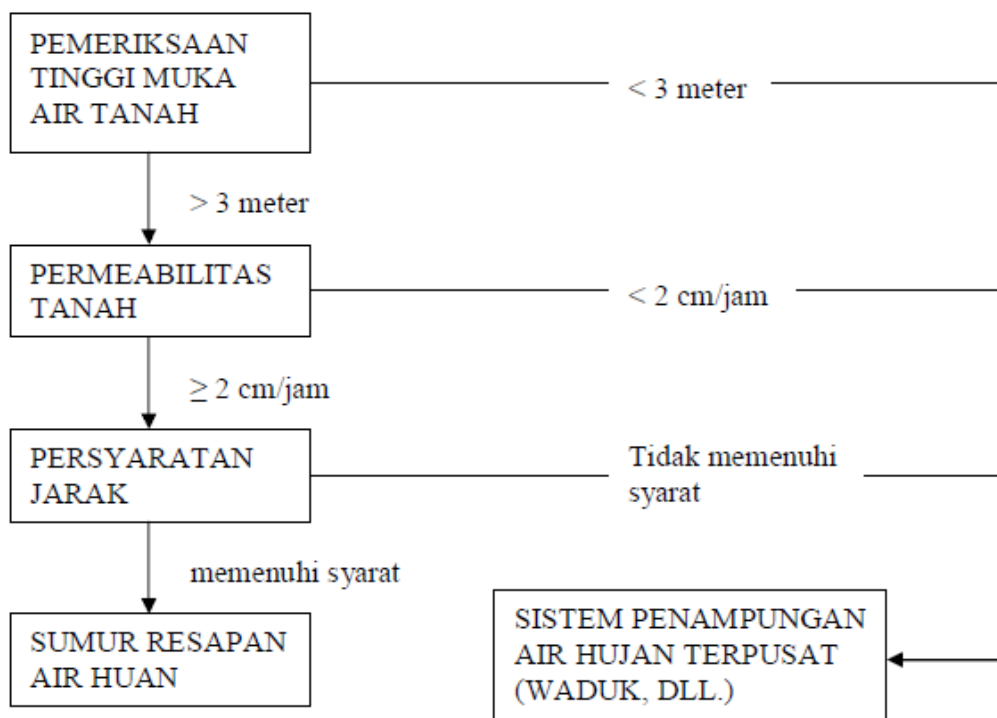
Dalam penerapannya, terdapat persyaratan yang harus dipenuhi sesuai dengan SNI 06-2405-1991 tentang Tata Cara Perencanaan Teknik Sumur Resapan Air Hujan Untuk Lahan Pekarangan.

Tabel Jarak Minimum Sumur Resapan Air Hujan Terhadap Bangunan.

NO	JENIS BANGUNAN	JARAK DARI SUMUR RESAPAN (m)
1.	Tangki septik	2
2.	Resapan tangki septik, cubluk, saluran air limbah, pembuangan sampah	5
3.	Sumur Resapan air hujan/sumur bersih	2

Catatan: jarak diukur dari tepi ke tepi

Langkah – langkah yang perlu diperhatikan dalam pembuatan sumur resapan air hujan adalah sebagai berikut :



## **2.9 Studi Terdahulu**

### **2.9.1. Evaluasi Kemampuan Pengendalian Banjir pada 37 Embung di Hulu Kota Semarang (Hermono Suroto Budinetro, Tauvan Ari Praja dan Sri Rahayu., 2009).**

Prinsip dari embung adalah menampung air sementara pada saat debit tinggi kemudian digunakan saat debit air rendah. Hal ini akan berdampak pada pengurangan debit puncak akibat adanya tampungan berupa embung. Dari hasil analisa 37 calon embung di hulu kota semarang dapat mereduksi debit puncak 29,4% sampai dengan 89,7% dengan waktu perlambatan 1 sampai dengan 2 jam. Fungsi embung selain sebagai pereduksi debit puncak juga bisa dimanfaatkan untuk PLTA, penyedia air baku, penyedi air bersih, perikanan dan pariwisata. Dengan begitu embung dapat mendatangkan banyak keuntungan sehingga dapat menarik perhatian banyak pihak untuk merealisasikan pembangunan embung tersebut. Selain menimbulkan dampak positif bagi lingkungan, juga dapat menimbulkan dampak positif dari segi ekonomi.

### **2.9.2. Pemanenan Air Hujan Sebagai Alternatif Pengelolaan Sumber Daya Air Di Perkotaan (Anie Yulistyorini, 2011).**

Pemanenan air hujan merupakan metode mengumpulkan air hujan menggunakan atap rumah, jalan atau perbukitan dan permukaan tanah. Air hujan yang dipanen dapat digunakan sebagai kebutuhan air baku bagi masyarakat. Selain itu dampak dengan adanya pemanenan air hujan dapat mengurangi limpasan permukaan. Besarnya air hujan yang dipanen sangat dipengaruhi oleh tinggi rendahnya curah hujan, ukuran tangkapan air hujan, tempat yang dibutuhkan untuk pembuatan pemanenan air hujan dan kegunaan air hujan untuk pemenuhan kebutuhan air. Kualitas air hasil tengkapan dengan pemanenan air hujan ini dipengaruhi oleh media penangkapan hujan dan tangki penampung airnya. Hal ini yang dapat menimbulkan terkontaminasinya air hujan baik secara fisik, kimia dan mikrobiologi.

Dengan pemanenan air hujan :

1. Penggunaan air bersih di Singapura (*Nanyang Technological University Campus*) dapat ditekan sebesar 12,4% untuk penyiraman toilet karena air bersih tersebut digantikan oleh air hujan (Appan, 1999).
2. Penggunaan air bersih di beberapa kota di Australia dapat ditekan sampai 29,9% (Perth) dan 32,3% (Sydney) (Zang et al., 2009).
3. Penggunaan di Jordan dapat ditekan hingga 19,7%.

Kelebihan air hujan dapat diresapkan kedalam tanah, sehingga air tanah akan terisi kembali. Hal ini akan menguntungkan dalam hal konservasi air tanah sehingga membantu penurunan muka air tanah tidak terjadi secara drastis. Selain itu dapat mengurangi volume limpahan air hujan dan dapat mengurangi potensi banjir.

#### **2.9.3. Kajian Penanggulangan Limpasan Permukaan Dengan Menggunakan Sumur Resapan (Studi Kasus Di Daerah Perumnas Made Kabupaten Lamongan) (Saleh., 2011).**

Konsep sumur resapan adalah meresapkan air hujan kedalam tanah guna menambah volume air tanah dan mengurangi limpasan permukaan. faktor yang mempengaruhi dimensi sumur resapan adalah :

- a. Tinggi muka air tanah.
- b. Luas daerah pelayanan.
- c. Luas permukaan tanah.
- d. Koefisien permeabilitas tanah.
- e. Selang waktu hujan.
- f. Intensitas hujan.
- g. Lama hujan dominan.

Adapun persyaratan teknis sumur resapan menurut Sunjoto :

- a. Hanya diterapkan pada lahan yang tidak berpotensi gerakan tanah :
  - Ikatan tanah bersifat koheren atau semi koheren.
  - Kemiringan lereng  $> 30\%$ .
  - Bidang pelapisan tanah/batuhan tidak miring kearah tanah  $> 3m$ .

- b. Untuk mempermudah pemeliharaan, kedalaman maksimum sumur resapan dianjurkan <5m.
- c. Muka air tanah dianjurkan <3m.
- d. Hanya meresapkan air hujan dan bebas dari pencemaran.
- e. Untuk daerah sanitasi yang buruk, air yang masuk sumur resapan berasal dari atap yang disalurkan melalui talang.

Sedangkan persyaratan teknis sumur resapan menurut PU adalah sebagai berikut :

- a. Untuk daerah sanitasi yang buruk, air yang masuk sumur resapan berasal dari atap yang disalurkan melalui talang.
- b. Dibuat pada lahan yang lulus air dan tahan longsor.
- c. Sumur resapan hanya menerima dari air hujan.
- d. Tidak terkontaminasi air limbah.
- e. Dalam perencanaannya mempertimbangkan aspek hidrogeologi, geologi dan hidrologi.

## **2.10 Limpasan (*run off*)**

Limpasan permukaan adalah bagian dari curah hujan yang berupa air hujan yang tidak dapat meresap kedalam tanah. Limpasan permukaan ini akan mengalir diatas permukaan tanah menuju sungai, danau dan lautan. Besarnya limpasan permukaan dipengaruhi oleh lama waktu hujan, intensitas dan penyebarannya dan karakteristik Daerah Aliran Sungai. Karakteristik Daerah Aliran Sungai yang dimaksud adalah meliputi bentuk dan ukuran DAS, topografi, tanah, geologi dan penggunaan lahan. Menurut Hyet (1939) dijelaskan bahwa hujan turun sesudah periode musim kering, maka air yang turun sebagian besar akan digunakan untuk mengisi kembali kekurangan (*deficiency*) seperti *interception*, *depression storage*, *infiltrasi*, *soil moisture*, *ground water recharge*. Semua itu akan sangat berpengaruh terhadap limpasan permukaan. Apabila hujan sudah mulai kontinyu, maka aliran permukaan akan mulai bertambah besar, sedangkan apabila pada saat musim kemarau *deficiency* akan bertambah besar dan proses tersebut akan berulang kembali secara terus menerus.

(Sumber : M. Sholeh, 1998)

Menurut Triatmojo (2010), komponen – komponen yang mempengaruhi terhadap limpasan berasal dari 3 sumber :

1. Aliran Permukaan (*Surface Runoff*)

Aliran ini merupakan aliran yang langsung mengalir di permukaan tanah, sehingga sangat berpengaruh langsung terhadap debit di sungai, saluran drainase maupun laut dan sebagai pemicu terjadinya banjir.

2. Aliran Antara (*interflow*)

Aliran ini terjadi secara lateral di bawah permukaan tanah. Aliran ini merupakan gerakan air dan lengas tanah secara lateral menuju elevasi yang lebih rendah, yang akhirnya menuju sungai. Proses aliran ini lebih lambat jika dibandingkan dengan aliran permukaan dimana tingkat kelambatannya bias terjadi dalam beberapa jam bahkan sampai beberapa hari.

3. Aliran Air Tanah

Aliran ini adalah aliran di bawah permukaan air tanah yang mengalir secara gravitasi yang akhirnya menuju ke sungai. Air hujan yang meresap ke dalam tanah (infiltrasi) akan menjadi aliran antara dan sebagian mengalir ke bawah secara lateral (perkolasi) mencapai air tanah. Muka air tanah mempunyai kemiringan sangat kecil dan aliran air searah dengan kemiringan tersebut menuju sungai sebagai aliran dasar (*base flow*). Proses aliran ini lebih lambat daripada aliran antara. Tingkat kelambatan mulai dari mingguan sampai tahunan.

## 2.11 Curah Hujan Rerata Daerah (Area Rainfall).

Data hujan tercatat dalam stasiun penakar hujan adalah tinggi hujan di sekitar stasiun penakar hujan tersebut atau disebut dengan Point Rainfall. Untuk mendapatkan curah hujan yang dapat mewakili daerah yang ditinjau, maka diperlukan curah hujan rerata di daerah aliran (Cacthment Area). Curah hujan rerata ini memuat data curah hujan dari masing-masing stasiun hujan yang besarnya masing-masing tidak sama.

Ada 3 (tiga) cara untuk menghitung hujan rerata daerah aliran atau disebut Area Rainfall, yaitu :

1. Arithmatik Mean :

Dipakai di daerah yang datar dan jumlah stasiun penakar hujannya banyak dan dengan anggapan bahwa di daerah tersebut sifat curah hujannya adalah uniform/seragam.

2. Thiesen Polygon :

Cara ini memasukkan faktor pengaruh daerah yang diwakili oleh stasiun penakar hujan yang disebut sebagai faktor pembobot (weighing factor) atau disebut juga sebagai koefisien Thiessen.

$$R_{ave} = \sum_i^n \frac{A_n}{A} R_n + \sum_i^m \frac{A_m}{A} R_m \dots \quad (2.3)$$

$A_n$  = Luas Daerah Pengaruh Pos Penakar Hujan n (Ha)

$A$  = Luas total Das (Ha)

$R_n$  = Tinggi hujan di Pos Penakar Hujan n (mm)

3. Isohyet :

Isohyet adalah garis yang menunjukkan tempat kedudukan dari harga tinggi hujan yang sama. Cara ini diperoleh dengan cara interpolasi harga-harga tinggi hujan lokal (Point Rain Fall). Bedanya apabila Poligon Thiessen adalah tetap tidak tergantung dari harga-harga Point Rain Fall sedangkan Isohyet berubah dengan harga-harga Point Rain Fall yang tidak tetap walaupun letak stasiun penakar hujannya tetap.

Tabel 2.4 Pemilihan Metode Penentuan Curah Hujan.

1. Jumlah Stasiun Penakar Hujan	Metode
- Cukup	Isohyet, Poligon Thiessen atau Rerata Aljabar
- Terbatas	Aljabar
- Tunggal	Rerata Aljabar atau Poligon Thiessen Hujan Titik
2. Luas DAS	Metode
- DAS Besar ( $> 5000 \text{ Km}^2$ )	Isohyet





$$Sd = \sqrt{\frac{\sum((R-\bar{R})^2)}{N-1}} \quad \dots \dots \dots \quad (2.10)$$

➤ Koefisien Variasi

$$Cv = \frac{Sd}{\bar{R}} \quad \dots \dots \dots \quad (2.11)$$

➤ Koefisien Kemencenggan

$$Cs = \frac{\sum(R-\bar{R})^3.N}{(N-1)(N-2)Sd^3} \quad \dots \dots \dots \quad (2.12)$$

➤ Koefisien Ketajaman

$$Ck = \frac{\sum(R-\bar{R})^4 N^2}{(N-1)(N-2)(N-3)Sd^4} \quad \dots \dots \dots \quad (2.13)$$

Perhitungan distribusi Pearson Type III menggunakan persamaan :

$$Rt = \bar{R} + K \cdot Sd \quad \dots \dots \dots \quad (2.14)$$

Dimana :

Rt = Curah hujan dengan periode ulang T tahun

$\bar{R}$  = Curah hujan maksimum rata-rata

Sd = Standar Deviasi

K = Faktor dari distribusi Pearson Type III, yang didapat dari tabel fungsi Cs dan probabilitas kejadian (tabel nilai K Pearson Type III)

(Sumber : Suripin, Sistem Drainase Perkotaan Yang berkelanjutan, 2003)

### 2.13.2. Distribusi Log Pearson Type III

Langkah – langkah perhitungannya adalah Urutkan data-data curah hujan (R) mulai dari harga yang terbesar hingga terkecil, dan hitung :

➤ Nilai rata-rata dari logaritmik data (Mean)

$$\overline{\log R} = \frac{\sum \log R}{N} \quad \dots \dots \dots \quad (2.15)$$

➤ Standard Deviasi

$$Sd = \sqrt{\frac{\sum((\log R - \overline{\log R})^2)}{N-1}} \quad \dots \dots \dots \quad (2.16)$$

➤ Koefisien Variasi

$$Cv = \frac{Sd}{\overline{LogR}} \dots\dots\dots(2.17)$$

➤ Koefisien Kemencengan

$$Cs = \frac{\sum (\overline{LogR} - LogR)^3 \cdot N}{(N-1)(N-2)Sd^3} \dots\dots\dots(2.18)$$

➤ Koefisien Ketajaman

$$Ck = \frac{\sum (\overline{LogR} - LogR)^4 N^2}{(N-1)(N-2)(N-3)Sd^4} \dots\dots\dots(2.19)$$

Perhitungan distribusi Pearson Type III menggunakan persamaan :

$$\text{LogRt} = \overline{LogR} + K \cdot Sd \dots\dots\dots(2.20)$$

Dimana :

LogRt	= Logaritma Curah hujan dengan periode ulang T tahun
$\overline{LogR}$	= Curah hujan maksimum rata-rata logaritmik data
$Sd$	= Standar Deviasi
$K$	= Faktor dari distribusi Log Pearson Type III, yang didapat dari tabel fungsi Cs dan probabilitas kejadian (tabel nilai K Log Pearson Type III)

(Sumber : Suripin, Sistem Drainase Perkotaan Yang berkelanjutan, 2003)

## 2.14 Uji Kecocokan

Uji kecocokan perlu dilakukan agar distribusi frekuensi sampel data terhadap fungsi distribusi peluang dapat menggambarkan atau mewakili distribusi frekuensi tersebut.

### 2.14.1. Uji Kecocokan Chi-Kuadrat

Uji keselarasan chi-kuadrat menggunakan rumus :

$$X^2 = \sum_{i=1}^N \left( \frac{O_i - E_i}{E_i} \right)^2 \dots\dots\dots(2.21)$$

Dimana :

$$X^2 = \text{haga chi-kuadrat terhitung}$$

$$O_i = \text{jumlah nilai pengamatan pada sub kelompok ke-1}$$

$$E_i = \text{jumlah nilai teoritis pada sub kelompok ke-1}$$

$$N = \text{jumlah data}$$

(Sumber : Suripin, 2004)

Suatu distribusi dikatakan selaras jika nilai  $X^2$  hitung < dari  $X^2$  kritis. Nilai  $X^2$  kritis dapat dilihat di tabel. Dari hasil pengamatan yang didapat dicari penyimpangannya dengan chi kuadrat kritis paling kecil. Untuk suatu nilai nyata tertentu yang sering diambil adalah 5%. Derajat kebebasan secara umum dihitung dengan rumus :

$$Dk = K - (\alpha + 1) \dots \dots \dots \quad (2.22)$$

$$K = 1 + 3.322 \log n \dots \dots \dots \quad (2.23)$$

$$Ei = \frac{n}{K} \dots \dots \dots \quad (2.24)$$

Dimana :

Dk = derajat kebebasan

K = jumlah kelas

$\alpha$  = banyaknya keterikatan (banyaknya parameter), untuk uji chi-kuadrat adalah 2

n = jumlah data

Ei = nilai yang diharapkan

(Sumber : Suripin, Sistem Drainase Perkotaan Yang berkelanjutan, 2003)

#### 2.14.2. Uji Kecocokan Smirnov – Kolmogorof

Uji keselarasan Smirnov – Kolmogorof sering disebut uji keselarasan non parametrik, karena dalam pengujianya tidak menggunakan fungsi distribusi tertentu (Suripin, 2004). Prosedur pengujianya adalah sebagai berikut :

Urutkan data dari yang terbesar sampai yang terkecil, kemudian tentukan nilai masing-masing peluang dari hasil penggambaran grafis data (persamaan distribusinya) :

$$X_1 \quad P'(X_1)$$

$$X_2 \quad P'(X_2)$$

$$X_m \quad P'(X_m)$$

$$X_n \quad P'(X_n)$$





luas luas daerah pengaliran. Besarnya koefisien *runoff* ( C ) didasarkan pada keadaan daerah pengalirannya. Lihat tabel 2.4

Tabel 2.5 Tabel koefisien pengaliran (Hassing, 1995)

Koefisien aliran C = Ct + Cs + Cv		
Topografi, Ct	Tanah, Cs	Vegetasi, Cv
Datar (<1%) : 0.03	Pasir dan gravel : 0.04	Hutan : 0.04
Bergelombang (1 - 10%) : 0.08	Lempung berpasir : 0.08	Pertanian : 0.11
Perbukitan (10 - 20%) : 0.16	Lempung dan lanau : 0.16	Padang rumput : 0.21
Pegunungan (> 20%) : 0.26	Lapisan batu : 0.26	Tanpa tanaman : 0.28

(Sumber : Suripin, 2004)

Lanjutan Tabel 2.5 Koefisien runoff

Diskripsi lahan/karakter permukaan	Koefisien aliran ( C )
Business	
perkantoran	0.70 – 0.95
pinggiran	0.50 – 0.70
Perumahan	
rumah tunggal	0.30 – 0.50
multiunit, terpisah	0.40 – 0.60
multiunit, tergabung	0.60 – 0.75
perkampungan	0.25 – 0.40
apartemen	0.50 – 0.70
Industri	
ringan	0.50 – 0.80
berat	0.60 – 0.90
Perkerasan	
aspal dan beton	0.70 – 0.95
batu bata, paving	0.50 – 0.70
Atap	0.75 – 0.95
Halaman, tanah berpasir	
datar 2%	0.05 – 0.10
rata-rata 2 – 7%	0.10 – 0.15
curam, 7%	0.15 – 0.20
Halaman, tanah berat	
datar 2%	0.13 – 0.17

Diskripsi lahan/karakter permukaan	Koefisien aliran ( C )
rata-rata 2 – 7%	0.18 – 0.22
curam, 7%	0.25 – 0.35
Halaman kereta api	0.10 – 0.35
Tempat – tempat bermain	0.25 – 0.35

(Sumber : Suripin, 2004)

## 2.16 Penelusuran banjir lewat waduk

Untuk menentukan muka air banjir diatas pelimpah adalah dengan melakukan reservoir routing. Dalam kajian ini digunakan metode Poels Methode.

$$I - Q = Ds / Dt \dots \dots \dots (2.40)$$

$$I (rt2) \Delta T - (Q1+Q2)/2. \Delta T = S2 - S1 \dots \dots \dots (2.41)$$

$$( I1 + I2 ). \Delta T/2 + ( S1 - Q1. \Delta T/2) = ( S2 + Q2. \Delta T/2) \dots \dots \dots (2.42)$$

Dimana :

$I_1, I_2$  = Inflow pada waktu  $t_1, t_2$

$Q_1, Q_2$  = Outflow pada waktu  $t_1, t_2$

$S_1, S_2$  = Volume tampungan pada waktu  $t_1, t_2$

$Q_1$  adalah debit keluar pada permulaan periode penelusuran. Kalau fasilitas pengeluarannya berupa bangunan pelimpah (spill way), maka digunakan rumus sebagai berikut :

$$Q = C.B.H^{3/2} \dots \dots \dots (2.43)$$

Dimana :

C = koefisien debit bangunan pelimpah ( $1,7 - 2,2 m^{1/2}$  /detik)

B = panjang ambang bangunan pelimpah (m)

H = tinggi energi di atas ambang bangunan pelimpah, menggunakan rumus berikut :

$$H = h + \frac{\alpha v^2}{2g} \dots \dots \dots (2.44)$$

h = tinggi air diatas ambang bangunan pelimpah (m)

$\alpha$  = koefisien pembagian kecepatan aliran

v = kecepatan rata – rata aliran di depan ambang bangunan pelimpah  
(m/detik)

g = percepatan gravitasi (m/dt<sup>2</sup>)

(Sumber : Soemarto, 1999)

## 2.17 Klasifikasi Tanah.

### 2.17.1. Tekstur Tanah

Tekstur tanah merupakan relatif fraksi pasir, debu dan liat yang menyusun masa tanah. Tekstur tanah turut menentukan tata air dalam tanah, berupa kecepatan infiltrasi, penetrasi dan kemampuan pengikat air oleh tanah (Mega et al., 2010). Klas tekstur tanah dapat diklasifikasikan sebagai berikut :

Tabel 2.6 Kelas Tekstur Tanah

No.	Kelas Tekstur	Sifat Tanah
1	Pasir	Rasa kasar jelas, tidak membentuk bola dan gulungan serta tidak melekat.
2	Pasir berlempung	Rasa kasar sangat jelas membentuk bola yang mudah sekali hancur serta sedikit sekali melekat.
3.	Lempung berpasir	Rasa kasar agak jelas, membentuk bola agak keras, mudah hancur serta melekat.
4	Lempung berdebu	Rasa licin, membentuk bola teguh, pita dan lekat.
5	Lempung	Rasa tidak kasar dan tidak licin, membentuk bola teguh, dapat sedikit digulung dengan permukaan mengkilat.
6	Debu	Rasa licin sekali, membentuk bola teguh, dapat sedikit digulung dengan permukaan mengkilat serta agak melekat.
7	Lempung berliat	Rasa agak kasar, membentuk bola agak teguh (kering), membentuk gulungan bila dipijit, gulungan mudah hancur serta melekat.
8	Lempung liat berdebu	Rasa jelas licin, membentuk bola teguh, gulungan mengkilat serta melekat.
9	Liat berpasir	Rasa licin agak kasar, membentuk bola, dalam keadaan kering sukar dipijit, mudah digulung serta melekat sekali.

No.	Kelas Tekstur	Sifat Tanah
10	Liat berdebu	Rasa agak licin, membentuk bola, dalam keadaan kering sukar dipijit, mudah digulung serta melekat sekali.
11	Liat berat	Rasa berat sekali, membentuk bola baik serta melekat sekali.

### 2.17.2. Jenis Tanah.

Jenis tanah Menurut Dudal dan Suparaptoharjo (1957) yang telah dimodifikasi dengan pengaruh FAO/UNESCO diklasifikasikan menurut tekstur maupun warnanya adalah sebagai berikut :

Tabel 2.7 Jenis Tanah

No.	Klasifikasi Tanah	Sifat Tanah
1	Organosol	Tanah organik (gambut yang tebalnya lebih dari 50 cm).
2	Litosol	Tanah yang dangkal yang berkembang diatas batuan keras dan belum mengalami perkembangan profil akibat dari erosi.  Dijumpai pada daerah dengan lereng yang curam.
3	Rendzina	Tanah dengan epipedon mollik (warna gelap, kadungan bahan organic lebih 1%, kejenuhan basa lebih 50%, dibawahnya terdiri dari batuan kapur).
4	Grumusol	Tanah dengan kadar liat lebih dari 30% bersifat mengembang dan mengkerut. Kalau musim kering tanah keras dan retak-retak karena mengkerut, kalau basah lengket (mengembang).
5	Gleisol	Tanah yang selalu jenuh air sehingga berwarna kelabu atau menunjukkan sifat-sifat hidromorfik lain.
6	Aluvial	Tanah yang berasal dari endapan alluvial atau koluvial muda dengan perkembangan profil tanah lemah sampai tidak ada. Sifat tanah beragam tergantung dari bahan induk yang diendapkannya serta penyebarannya tidak dipengaruhi oleh ketinggian maupun iklim yang memiliki kandungan pasir kurang dari 60%.

No.	Klasifikasi Tanah	Sifat Tanah
7	Arenosol	Tanah berstekstur kasar dari bahan albik yang terdapat pada kedalaman sekurang-kurangnya 50 cm dari permukaan atau memperlihatkan ciri-ciri mirip horizon argilik, kambik atau oksik, tetapi tidak memenuhi syarat karena tekstur terlalu kasar.
8	Andosol	Tanah yang berwarna hitam sampai coklat tua dengan kandungan bahan organik tinggi, remah dan porous, licin (smeary) dan reaksi tanah antara 4.5 – 6.5. Horizon bawah permukaan berwarna coklat sampai coklat kekuningan dan kadang dijumpai padat tipis akibat semenasi silika. Tanah ini dijumpai pada daerah dengan bahan induk vulkanis mulai dari pinggiran pantai sampai 3000 m diatas permukaan laut dengan curah hujan yang tinggi serta suhu rendah pada daerah dataran tinggi.
9	Latosol	Tanah yang telah mengalami pelapukan lanjut dengan kandungan bahan organic, mineral primer dan unsur hara rendah, bereaksi masam (pH 4.5 – 5.5), terjadi akumulasi seskuioksida, tanah berwarna merah, coklat kemerahan hingga coklat kekuningan atau kuning. Tanah terdapat mulai dari daerah pantai hingga 900m dengan curah hujan antara 2500 – 7000 mm per tahun.
10	Brunizem	Seperti Latosol, tetapi kejemuhan basa lebih dari 50%.
11	Kambisol	Tanah dengan horizon kambik, atau epipedon umbrik, atau mollik. Tidak ada gejala-gejala hidromorfik (pengaruh air).
12	Nitosol	Tanah dengan penumbuhan liat (horizon argilik). Dari horizon penimbunan liat maksimum ke horizon-horison dibawahnya, kadar liat kurang dari 20%. Mempunyai sifat ortosik (Kapasitas Tukar Kation kurang dari 24 me/100 gr liat).
13	Podsolik	Merupakan tanah sangat tercuci yang

No.	Klasifikasi Tanah	Sifat Tanah
		berwarna abu-abu muda sampai kekuningan pada horizon permukaan sedang lapisan bawah berwarna merah atau kuning dengan kadar bahan organik dan kejenuhan basa yang rendah serta reaksi tanah yang masam sampai sangat masam (pH 4.2 – 4.8). Pada horizon bawah permukaan terjadi akumulasi liat dengan struktur tanah gumpal dengan permeabilitas rendah. Tanah mempunyai bahan induk batu endapan bersilika, napal, batu pasir atau batu liat. Tanah ini dijumpai pada ketinggian antara 50 – 350 m dengan curah hujan antara 2500 – 3500 mm/tahun
14	Podsolik	Merupakan tanah sangat tercuci yang berwarna abu-abu muda sampai kekuningan pada horizon permukaan sedang lapisan bawah berwarna merah atau kuning dengan kadar bahan organik dan kejenuhan basa yang rendah serta reaksi tanah yang masam sampai sangat masam (pH 4.2 – 4.8). Pada horizon bawah permukaan terjadi akumulasi liat dengan struktur tanah gumpal dengan permeabilitas rendah. Tanah mempunyai bahan induk batu endapan bersilika, napal, batu pasir atau batu liat. Tanah ini dijumpai pada ketinggian antara 50 – 350 m dengan curah hujan antara 2500 – 3500 mm/tahun
15	Planosol	Tanah dengan horizon albik yang terletak di atas horizon dengan permeabilitas lambat (misalnya horizon argilik atau natrik yang memperlihatkan perubahan tekstur nyata, adanya liat berat atau pragipan, dan memperlihatkan ciri-ciri hidromorfik sekurang-kurangnya pada sebagian dari horizon albik).
16	Podsol	Tanah dengan bahan organic cukup tinggi yang terdapat diatas lapisan berpasir yang mengalami pencucian

No.	Klasifikasi Tanah	Sifat Tanah
		dan berwarna kelabu pucat atau terang. Dibawah horizon berpasir terdapat horizon iluviasi berwarna coklat tua sampai kemerahan akibat adanya iluviasi bahan organic dengan oksida besi dan aluminium. Tanah ini berkembang dari bahan induk endapan yang mengandung silika, batu pasir atau tufa volkanik masam. Tanah dijumpai mulai dari permukaan laut sampai 2000 m dengan curah hujan 2500 – 3500 mm/tahun.
17	Oksisol	Tanah dengan pelapukan lanjut dan mempunyai horizon oksik, yaitu horizon dengan kandungan mineral mudah lapuk rendah, fraksi liat dengan aktifitas rendah, Kapasitas Tukar Kation rendah (kurang dari 16me/100 gr liat). Tanah ini juga mempunyai batas-batas horizon yang tidak jelas.

Sumber : Dudal dan Suparaptoharjo, 1957

Jenis tanah dilihat dari sifat fisik dan hidrologinya (Avery, 1980 dan Komisi Kehutanan (Kennedy, 2002)) antara lain :

1) Tanah dalam

Jenis tanah ini terdiri atas pasir yang berpori besar yang membantu mempercepat akar mencapai kedalaman tertentu, yang termasuk jenis tanah ini adalah litosol.

2) Tanah Dangkal Batuan

Jenis tanah dimana pada kedalaman kurang dari 1 meter terdapat batuan, namun berdrainase baik. Jika batuan itu berupa batu kapur atau semacam batuan lunak, maka akar masih dapat menembus kedalaman tanah. Termasuk dalam jenis tanah ini adalah rendzina.

3) Tanah Liat Sedang

Jenis tanah ini memiliki kemiripan dengan jenis tanah dalam maupu tanah dangkal tetapi akar tetap dapat berkembang.

4) Tanah Lapisan Kedap

Tanah yang memiliki ukuran partikel besar yang dibatasi lapisan kedap.

Tanah ini hanya akan tergenang air pada suatu periode tertentu. Termasuk dalam jenis adalah podsolik.

5) Tanah Dengan Kelembaban Menahan Lapisan Atas

Tanah ini memiliki kandungan air yang cukup sedikit karena tingkat permeabilitas yang rendah sehingga hanya terdapat sedikit akar tanaman yang mampu berkembang untuk mencapai kedalaman tertentu.

6) Tanah Basah Lapisan Bawah

Jenis tanah lempung abu-abu kebiruan yang terjadi di daerah yang memiliki kelembaban tertentu (suhu dingin)

7) Tanah Kaya Organik

Termasuk dalam jenis ini adalah tanah gambut.

## 2.18 Analisa Aspek Lingkungan.

Analisa aspek lingkungan yang dikaji adalah dampak dari konservasi dengan metode vegetatif dan metode mekanik. Dampak dengan metode vegetatif adalah simpanan air yang tersedia oleh tanaman. Simpanan air yang tersedia oleh tanaman ini ditentukan oleh besarnya faktor simpanan lengas tanah (*soil water storage*). Simpanan lengas tanah adalah jumlah total air yang tersimpan pada perakaran tanaman. Simpanan lengas tanah dipengaruhi oleh tekstur dan struktur tanah serta kedalaman perakaran tanaman.

Besarnya simpanan lengas tanah (SWS) dihitung dengan persamaan :

$$SWS = RD \times AWSC \dots \dots \dots (2.45)$$

Dimana :

SWS = Simpanan Lengas Tanah (mm).

RD = Kedalaman Efektif Perakaran Tanaman (m).

AWSC = Kapasitas Simpanan Air Tersedia (mm/m)

Tabel 2.8 Kapasitas Simpanan Air Tersedia

Tekstur Tanah	Kapasitas Simpanan Air Tersedia (AWSC)		
	(in. Water/in. soil)	(in. Water/ft. soil)	(mm Water/m soil)
Tanah liat	0.21	2.5	200
Lempung liat	0.21	2.5	200
Lumpur lempung	0.21	2.5	208
Lempung liat	0.20	2.4	200
Lempung	0.18	2.1	175
Lempung berpasir baik	0.14	1.7	142
Lempung berpasir	0.12	1.5	125
Pasir liat	0.10	1.2	100
Pasir	0.08	1.0	83

Sumber : Ministry of Agriculture, Food and Fisheries British Columbia (2002).

Untuk dampak dari konservasi metode mekanik adalah penambahan muka air tanah di wilayah studi.

## 2.19 Analisa Aspek Ekonomi.

Analisa ekonomi yang dilakukan dalam kajian ini membandingkan antara biaya yang dibutuhkan untuk upaya konservasi yang dilakukan (*Cost*) dengan manfaat akibat berkurangnya banjir di bagian hilir yaitu di Kabupaten Serang dan Kabupaten Tangerang. Biaya yang dibutuhkan untuk konservasi (*cost*) meliputi biaya pembelian bibit tanaman, biaya pembuatan embung/situ dan biaya pembuatan pemanenan air hujan (PAH). Dalam kajian ini, perhitungan manfaat dari upaya konservasi berdasarkan :

❖ Besarnya kerugian akibat banjir yang meliputi kerusakan fisik yang langsung (*direct physical lost*), kerugian tidak langsung (*indirect lost*), kerugian tidak nyata (*intangible lost*) dan keuntungan perluasan dan pengembangan tanah di masa datang. (Kodatie, 2013).

1. Kerusakan fisik yang langsung (*direct physical lost*) meliputi :

- Permukiman
- Fasilitas Umum (tempat pendidikan, tempat ibadah, rumah sakit dan lain sebagainya).
- Tempat hiburan, rumah makan.

- Perdagangan dan industri, pertanian.
  - Ternak dan kolam ikan atau tambak.
  - Sarana dan prasarana infrastruktur.
  - Alat transportasi (mobil, sepeda motor dan lain sebagainya).
  - Perabot rumah tangga.
  - Sarana dan prasarana pendidikan (bangku sekolah, lemari dan lain sebagainya).
2. Kerusakan tidak langsung (*indirect lost*) akibat banjir adalah gangguan lalu lintas (kemacetan).

Kerugian/kehilangan tidak langsung terdiri antara lain gangguan lalu lintas (kemacetan), kehilangan akibat gangguan pada produktifitas industri, kehilangan yang berasal dari gangguan banjir dan genangan untuk kegiatan pelayanan, biaya operasi mendadak dan lain-lain. Salah satu cara analisis yang dipakai adalah penelitian dari James & Lee (1971) yang menunjukkan nilai-nilai pengali untuk kerugian tidak langsung kurang lebih sebagai berikut :

- a. Pemukiman : 0.15
- b. Pertanian : 0.10
- c. Komersial : 0.37
- d. Industri : 0.45
- e. Bangunan Umum : 0.34
- f. Jalan Raya : 0.25
- g. Jalan Kereta Api : 0.23

(Kodatie, 2013).

3. Kerugian tidak nyata (*intangible lost*).

Kerugian ini meliputi kehilangan nyawa, kehilangan produktifitas, kehilangan kualitas kehidupan yang diakibatkan langsung oleh adanya stress/gelisah/sakit yang meningkat akibat terjadinya banjir (Kodatie, 2013).

- ❖ Keuntungan dari pemanfaatan sarana dan prasarana konservasi yang dibuat. Dimana dengan adanya pemanfaatan tersebut secara langsung dapat

meningkatkan taraf ekonomi masyarakat sekitar. Seperti halnya dengan pembuatan situ/embung dapat digunakan untuk pembudidayaan ikan dengan keramba.

*“ Halaman ini sengaja dikosongkan “*

## **BAB 3**

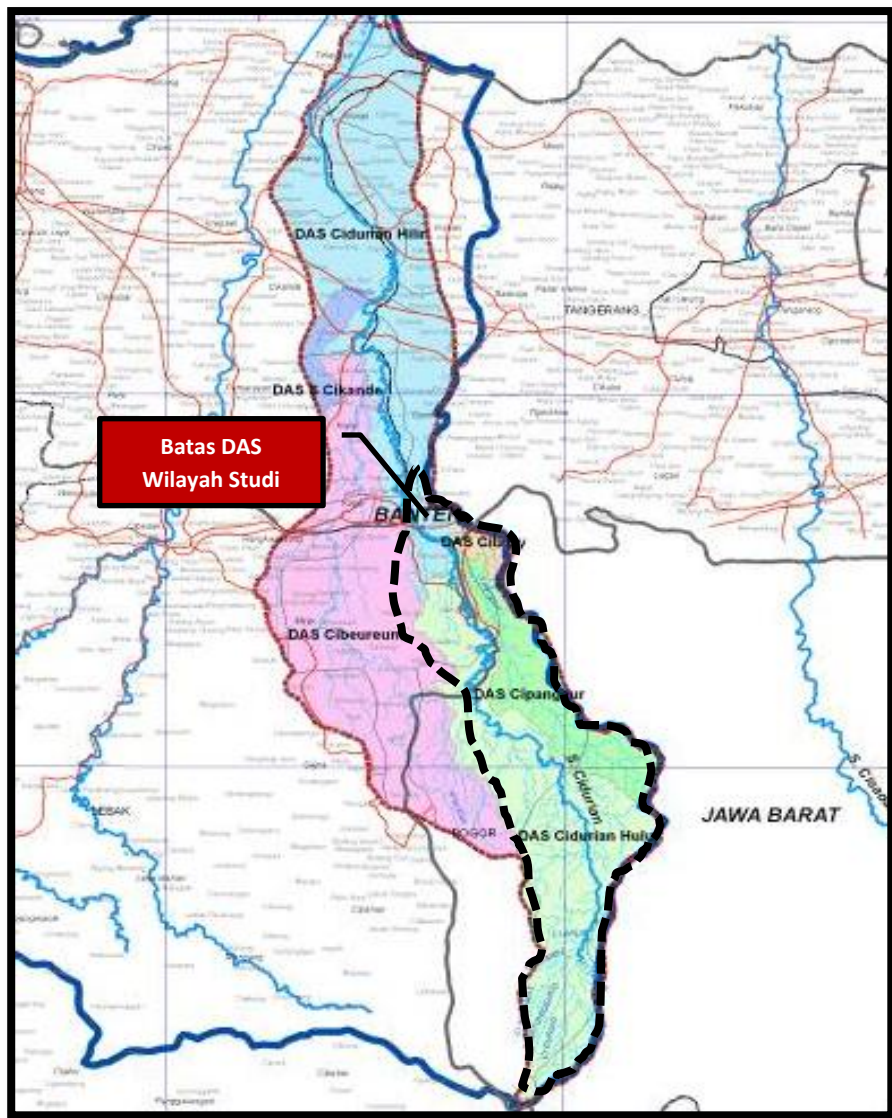
### **METODOLOGI PENELITIAN**

#### **3.1 Pendekatan Penelitian**

Kajian ini menitik beratkan pada konservasi sumber daya air di Anak Sungai Cidurian Bagian Hulu untuk mengurangi debit banjir di sungai Cidurian yang berpengaruh terhadap banjir di Kabupaten Serang dan Kabupaten Tangerang. Lokasi konservasi dalam kajian adalah di hulu bendung Rancasumur. Dimana terdapat beberapa DAS yang ada di hulu bendung Rancasumur, antara lain Sub DAS Cidurian Hulu, Sub DAS Cipangaur dan Sub DAS Cilalay. Berdasarkan data debit dari pos duga air di bendung Rancasumur menunjukkan adanya kenaikan debit yang signifikan di sungai Cidurian. Hal ini disebabkan adanya perubahan tata guna lahan yang ada di bagian hulu sungai Cidurian. berdasarkan kondisi tersebut, perlu adanya upaya konservasi sumber daya air baik secara mekanis maupun secara vegetatif. Hasil dari upaya konservasi tersebut diharapkan dapat mengurangi debit banjir di Sungai Cidurian yang dapat berdampak positif pada lingkungan dan keseimbangan ekosistem yang ada.

#### **3.2 Lokasi dan Waktu Penelitian**

Penelitian ini dilakukan di anak sungai Cidurian bagian hulu. Lokasi penelitian berada di Kabupaten Serang, Kabupaten Tangerang, Kabupaten Lebak dan Kabupaten Bogor. Lokasi wilayah studi adalah DAS Cidurian di bagian hulu Bendung Rancasumur lihat Gambar 3.1 Peta DAS Waktu penelitian dimulai dari bulan Juli 2016 – Desember 2016.



Gambar 3.1 DAS Cidurian Bagian Hulu Bendung Rancasumur (BBWS Cidanau-Ciujung-Cidurian, 2009).

### **3.3 Pengumpulan Data**

Untuk mendapatkan gambaran tentang permasalahan dan kondisi yang ada di wilayah studi, diperlukan data-data yang dapat dipertanggung jawabkan untuk menunjang proses penelitian ini. Data-data yang diperlukan meliputi data primer dan data sekunder.

#### **3.2.1. Data Primer**

Data ini merupakan data yang diperoleh langsung dari pengamatan, dan pengukuran di lokasi penelitian. Data primer yang diperlukan di lokasi penelitian meliputi foto dokumentasi kondisi sekitar yang berupa jenis tanaman yang banyak ditanam serta jarak tanam antar tanaman yang ada di lokasi studi.

#### **3.2.2. Data Sekunder**

Data sekunder adalah data yang diperoleh dari pihak-pihak/instansi terkait yang mengelola di daerah studi. Dapat juga diperoleh dari studi terdahulu yang berkaitan dengan penelitian ini. Data sekunder ini dapat berupa angka dan gambar. Data-data sekunder yang perlu dikumpulkan antara lain data curah hujan, peta (tata guna lahan, topografi, DAS Cidurian), data klimatologi, data debit sungai Cidurian dan data Klimatologi.

- **Data Curah Hujan.**

Data curah hujan diperoleh dari Balai Besar Wilayah Sungai Cidanau-Ciujung-Cidurian Serang Banten selama 18 tahun dari tahun 1998 – 2015.

Data curah hujan ini merupakan data curah hujan harian maksimum dalam tahunan dengan satuan mm.

- **Peta Daerah Aliran Sungai (DAS) Cidurian.**

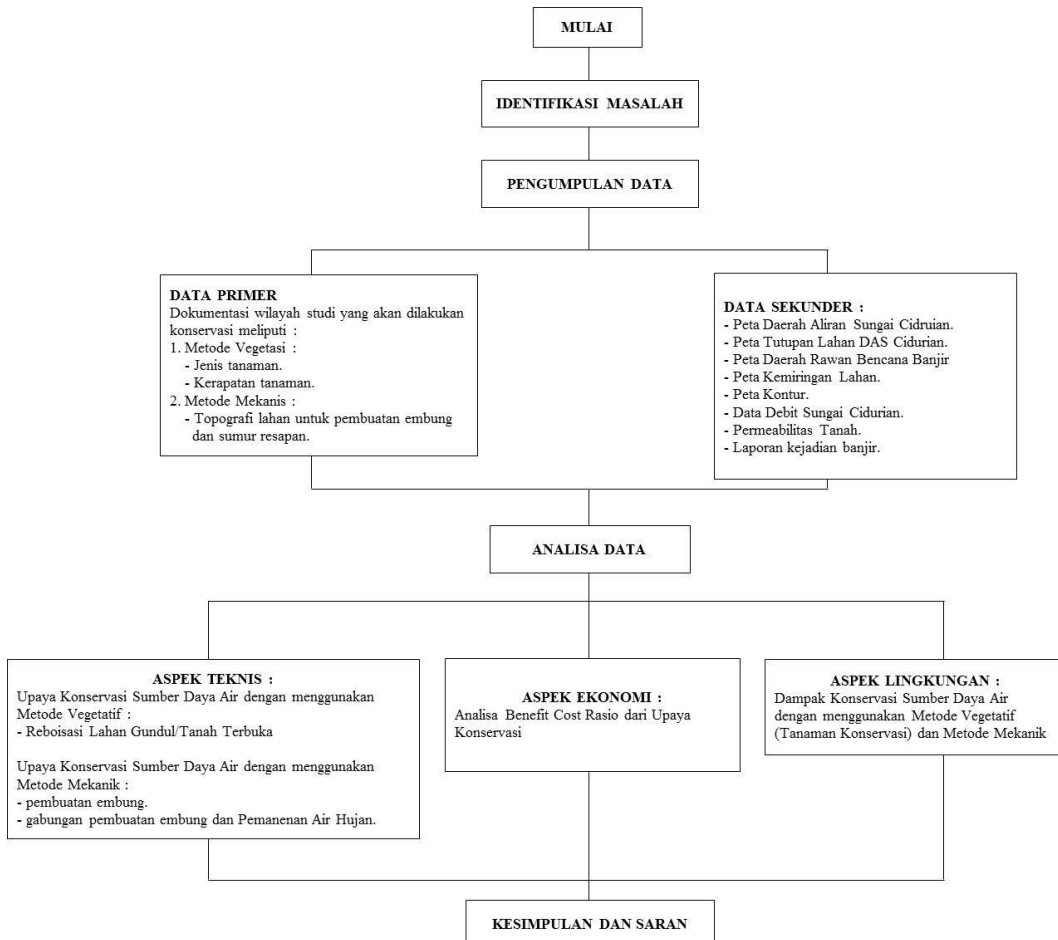
Dari peta tersebut dapat diketahui luas DAS, letak stasiun penakar hujan, klimatologi dan jaringan sungai beserta anak sungai.

- **Peta kondisi tutupan lahan DAS Cidurian.**

Peta ini digunakan untuk mengetahui perubahan penggunaan lahan dalam beberapa tahun terakhir, khususnya perubahan hutan konservasi menjadi permukiman penduduk maupun lahan pertanian di Daerah Aliran Sungai Cidurian.

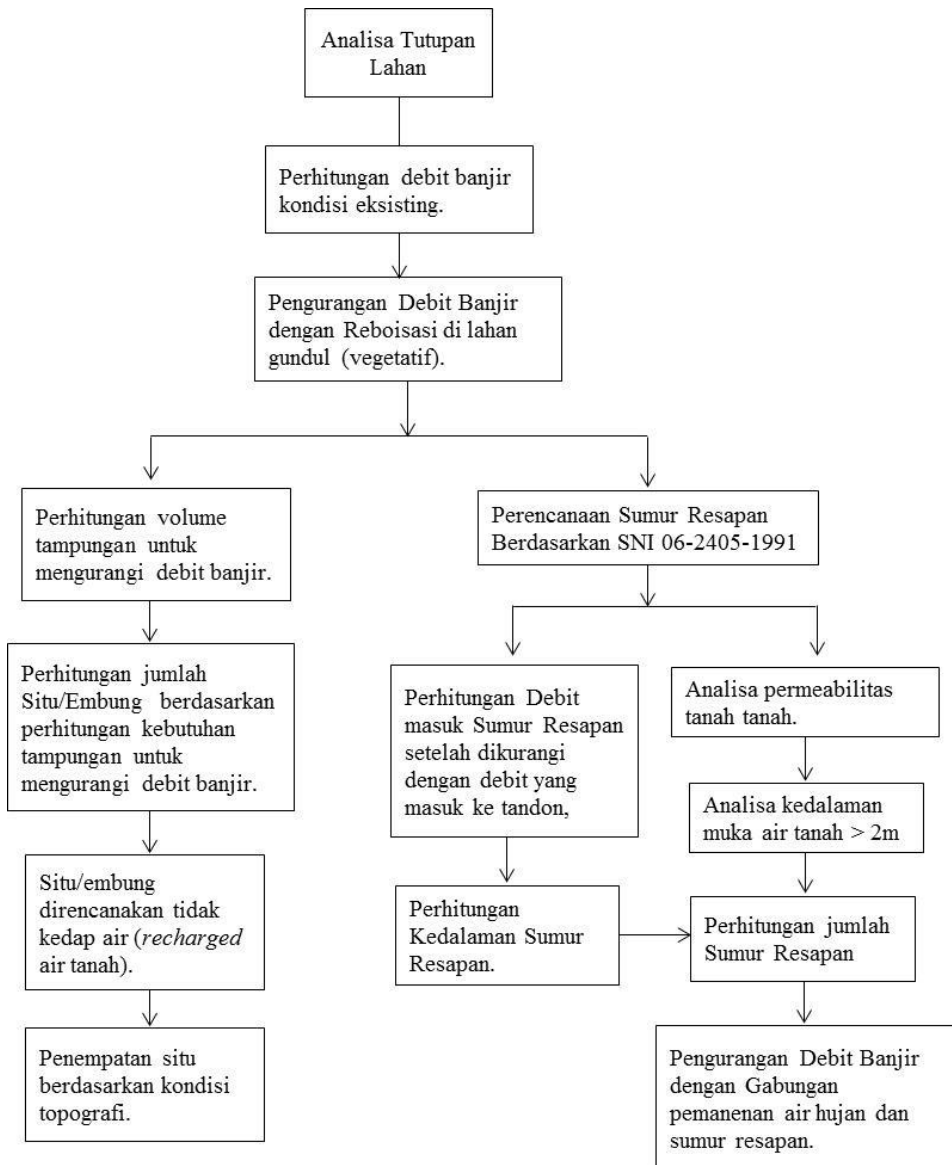
- Debit air sungai Cidurian untuk mengetahui fluktuasi debit air yang terjadi selama kurun waktu tertentu, sehingga dapat diketahui pada tahun berapa mulai terjadinya bencana banjir.

Alur dalam penggerjaan penelitian ini digambarkan dalam diagram seperti yang ada pada Gambar 3.2



Gambar 3.2 Bagan Alir Penelitian

### 3.4 Analisa Aspek Teknis.



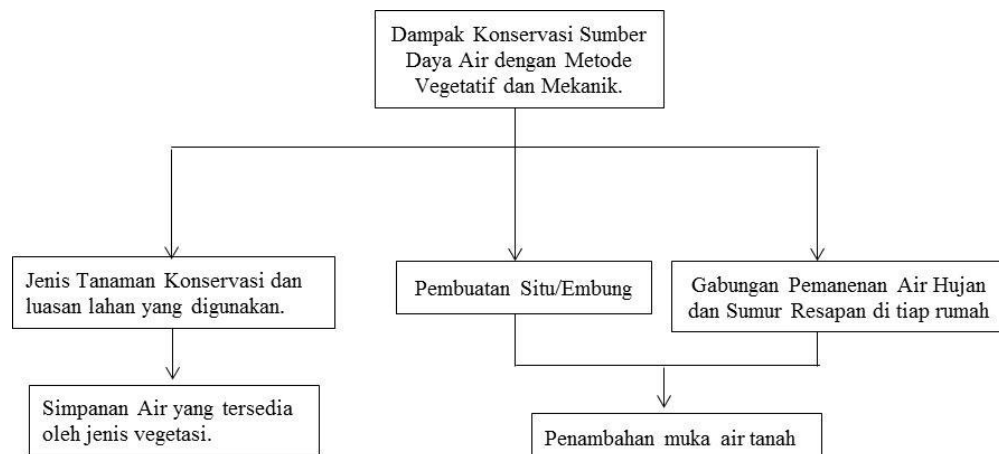
Gambar 3.3 Bagan Alir Analisa Aspek Teknis.

Analisa aspek teknis dalam kajian ini adalah dengan menggunakan metode Mekanis. Tahapan dalam analisa aspek teknis adalah sebagai berikut :

- Alternatif 1
  1. Analisa tutupan lahan.
  2. Perhitungan debit banjir eksisting.
  3. Upaya konservasi dengan reboisasi pada lahan gundul.
  4. Perhitungan debit banjir sesudah adanya reboisasi.

5. Menghitung volume tampungan dalam rangka pengurangan debit banjir.
  6. Menentukan kebutuhan embung berdasarkan volume hasil perhitungan kebutuhan tampungan.
  7. Penempatan situs/embung berdasarkan kondisi topografi..
- Alternatif 2
1. Analisa tutupan lahan.
  2. Perhitungan debit banjir eksisting.
  3. Upaya konservasi dengan reboisasi pada lahan gundul.
  4. Perhitungan debit banjir sesudah adanya reboisasi.
  5. Perencanaan gabungan pemanenan air hujan dan sumur resapan sesuai dengan SNI 06-2405-1991. Pemanenan air hujan dilakukan dengan cara mengalirkan air hujan dari atap ke tandon.
  6. Setelah tandon penuh maka kelebihan air akan masuk ke sumur resapan.
  7. Perhitungan kedalaman sumur resapan yang dibutuhkan.
  8. Identifikasi kedalaman muka air tanah.
  9. Penempatan pemanenan air hujan dan sumur resapan sesuai kriteria.
  10. Perhitungan potensi pengurangan debit banjir dengan sumur resapan.

### **3.5 Analisa Aspek Lingkungan.**



Gambar 3.4 Bagan Alir Analisa Aspek Lingkungan.

Analisa aspek lingkungan dalam kajian ini adalah dampak dari konservasi metode Vegetatif dan metode Mekanik. Tahapan dalam analisa lingkungan adalah sebagai berikut :

Metode Vegetatif :

1. Menentukan Kapasitas Simpanan Air Tersedia (AWSC) sesuai dengan jenis tanah dilokasi studi.
2. Menentukan Simpanan Lengas Tanah (SWS) tiap jenis vegetasi.
3. Menghitung Simpanan Air yang tersimpan.

Metode Mekanik :

1. Analisa muka air tanah akibat peresapan buatan (situ/embung) maupun pemanenan air hujan dan sumur resapan.

### **3.6 Analisa Aspek Ekonomi.**

Dalam kajian ini analisa aspek ekonomi adalah membandingkan antara biaya konservasi secara vegetatif dan secara mekanis dengan manfaat berkurangnya banjir. Perhitungan manfaat berdasarkan :

- Kerugian akibat terjadinya banjir :
  - a. Kerusakan fisik langsung (*direct physical lost*).
  - b. Kerugian Tidak Langsung (*indirect lost*).

- c. Kerugian tidak nyata non pasar.
- Pemanfaatan sarana dan prasarana konservasi dalam meningkatkan taraf ekonomi masyarakat sekitar.

## **BAB 4**

### **ANALISIS DAN PEMBAHASAN**

#### **4.1 Analisa Curah Hujan**

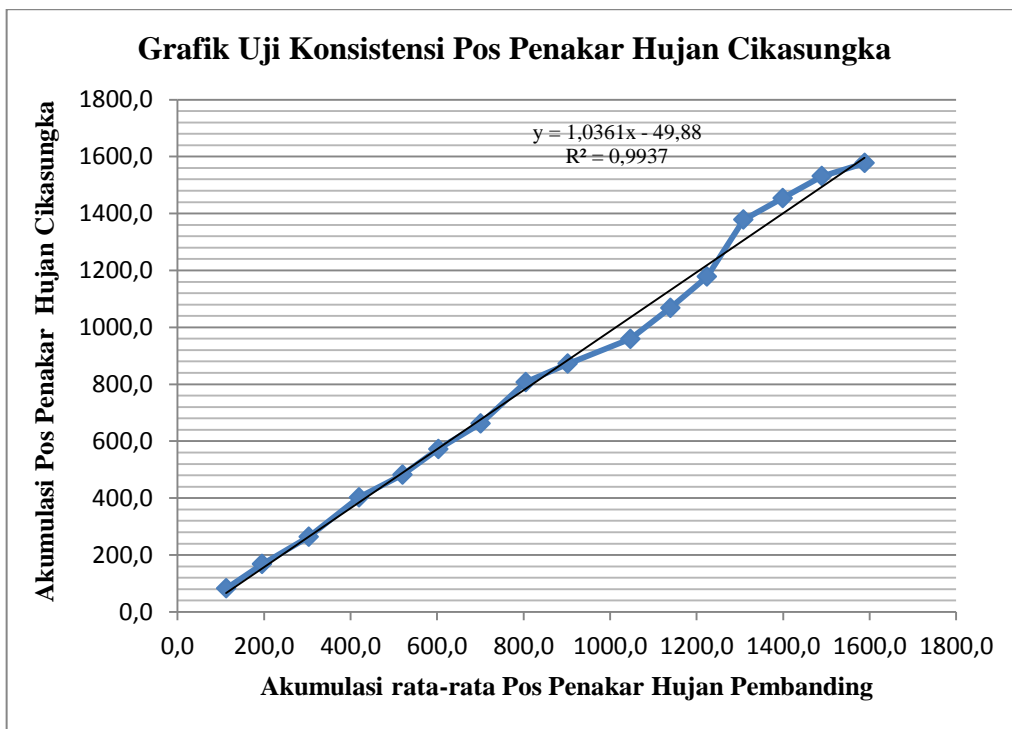
Pengolahan data curah hujan yang dilakukan adalah data curah hujan yang berasal dari pos penakar hujan yang berpengaruh pada DAS wilayah studi. DAS yang ditinjau adalah DAS Cidurian tepatnya di bagian hulu Bendung Rancasumur. Pos penakar hujan yang berpengaruh adalah pos penakar hujan Cikasungka, pos penakar hujan Toge, pos penakar hujan Cisalak Baru, pos penakar hujan Cicinta dan pos penakar hujan Rancasumur. Data curah hujan ini didapat dari Balai Besar Wilayah Sungai Cidanau-Ciujung-Cidurian Banten. Data curah hujan yang dianalisa adalah data curah hujan mulai dari tahun 1998 sampai dengan 2013. Berikut adalah tinggi curah hujan harian maksimum tiap pos penakar hujan.

Tabel 4.1 Tinggi curah hujan harian maksimum

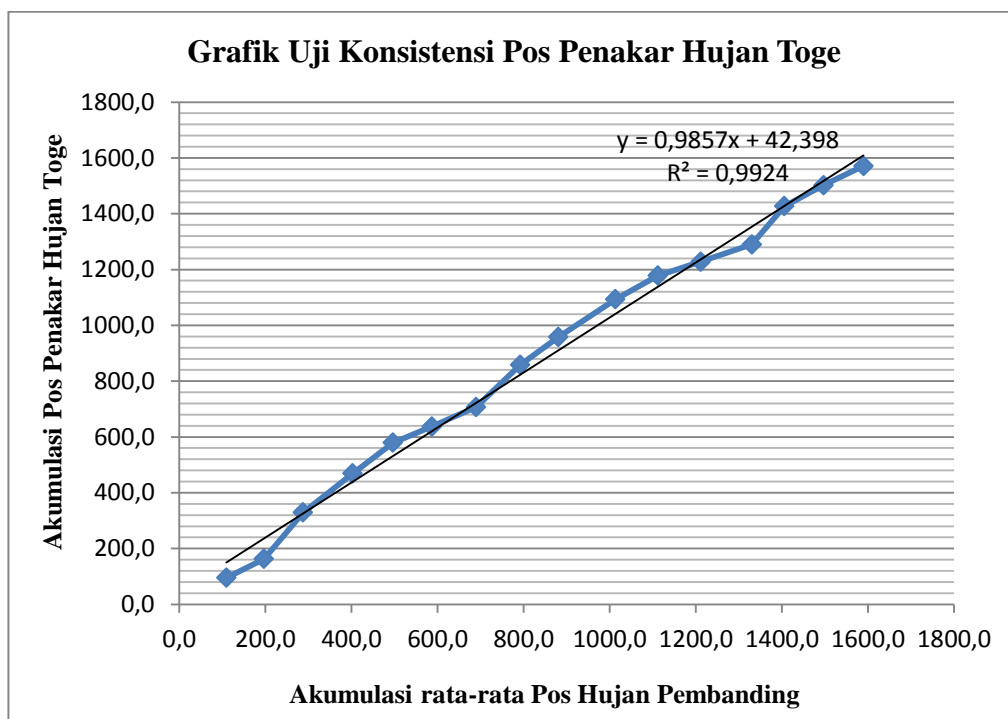
NO	Tahun	Stasiun Penakar Hujan Cikasungka (mm)	Stasiun Penakar Hujan Toge (mm)	Stasiun Penakar Hujan Cicinta (mm)	Stasiun Penakar Hujan Cisalak Baru (mm)	Stasiun Penakar Hujan Rancasumur (mm)
1	1998	82	95	103	92	160
2	1999	86	68	84	86	94
3	2000	96	166	80	98	88
4	2001	138	140	90	127	107
5	2002	80	110	75	123	96
6	2003	90	58	72	121	78
7	2004	90	70	65	122	135
8	2005	145	151	85	80	100
9	2006	65	100	85	133	71
10	2007	87	135	147	187	110
11	2008	109	85	78	146	61
12	2009	110	50	78	112	99
13	2010	200	62	91	101	84
14	2011	76	137	60	86	79
15	2012	77	75	78	114	96
16	2013	46	69	80	82	163

Sumber : Balai Besar Wilayah Sungai Cidanau-Ciujung-Cidurian

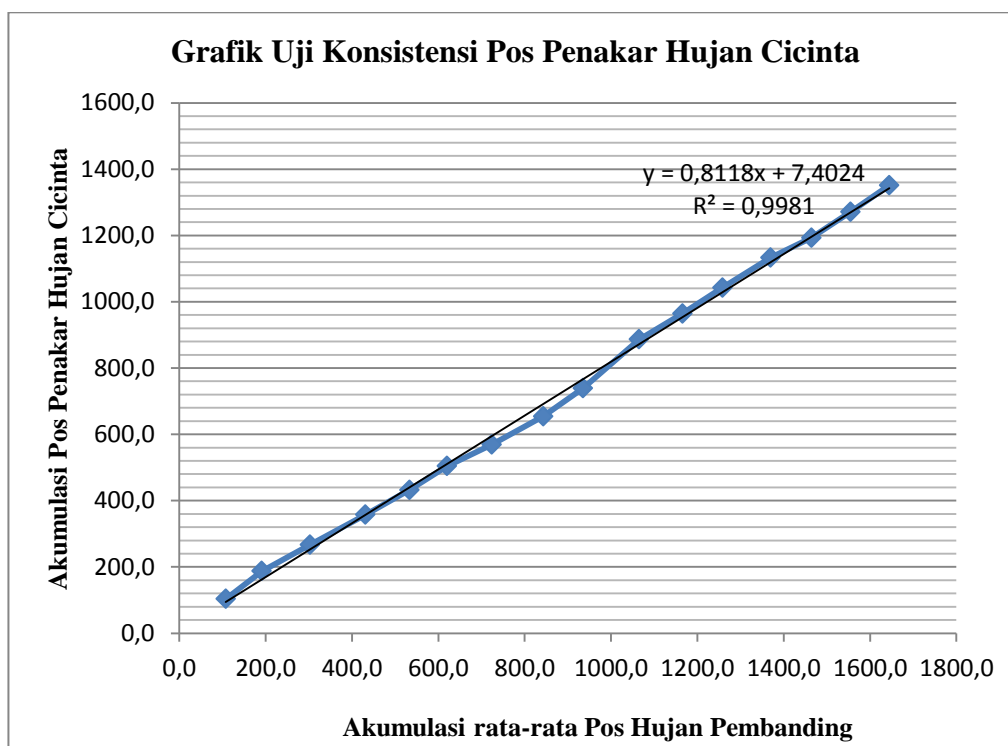
Data curah hujan yang didapat dari pos penakar hujan perlu dilakukan uji konsistensi. Hal ini bertujuan untuk mengetahui kelayakan untuk dipakai dalam perencanaan suatu rancangan pemanfaatan air dan rancangan pengendalian banjir atau tidak. Pengujian konsistensi data curah hujan ini dengan menggunakan Lengkung Massa Ganda (*double mass curve*). Lengkung massa Ganda (*double mass curve*) adalah pengujian antara dua atau lebih data curah hujan tiap pos yang dirata-ratakan (sebagai sumbu x) terhadap suatu data curah hujan pada pos yang ingin diuji konsistensinya (sebagai sumbu y). Berikut adalah hasil dari uji konsistensi data curah hujan masing-masing pos penakar hujan dengan menggunakan Lengkung massa Ganda (*double mass curve*).



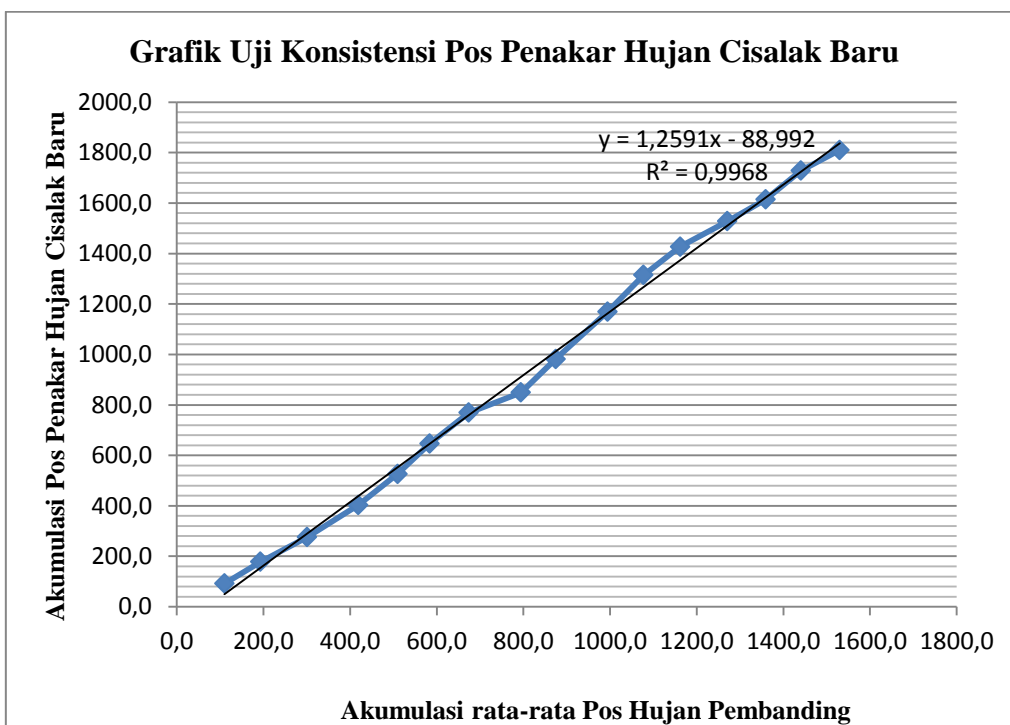
Gambar 4.1 Uji konsistensi data curah hujan pos penakar hujan Cikasungka



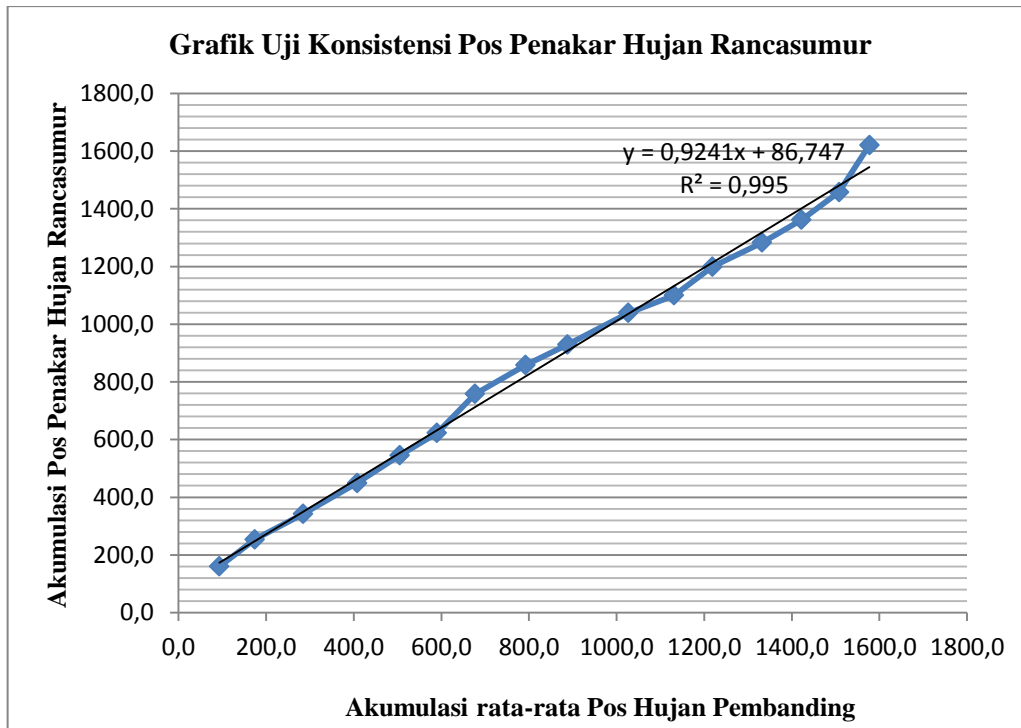
Gambar 4.2 Uji konsistensi data curah hujan pos penakar hujan Toge



Gambar 4.3 Uji konsistensi data curah hujan pos penakar hujan Cicinta



Gambar 4.4 Uji konsistensi data curah hujan pos penakar hujan Cisalak Baru



Gambar 4.5 Uji konsistensi data curah hujan pos penakar hujan Rancasumur

Berdasarkan trend Lengkung Massa Ganda (*double mass curve*) dari lima (5) pos penakar hujan tersebut masing-masing mempunyai nilai  $R^2$  yang mendekati nilai 1. Dari hasil tersebut dapat disimpulkan bahwa tidak ada penyimpangan data dari pos penakar hujan.

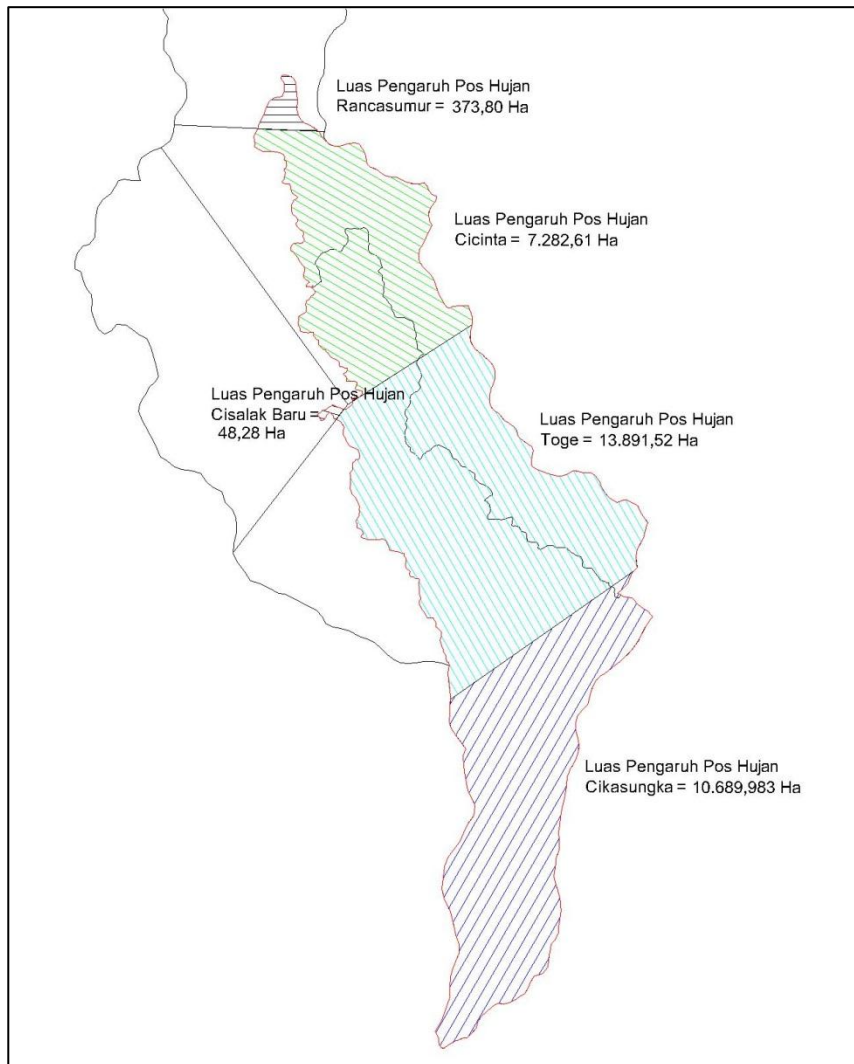
#### **4.2 Perhitungan Curah Hujan Wilayah dengan Metode Thiesen Polygon.**

Analisis data hujan dimaksudkan untuk mendapatkan besaran curah hujan. Perlunya menghitung curah hujan wilayah adalah untuk penyusunan suatu rancangan pemanfaatan air dan rancangan pengendalian banjir (Sosrodarsono & Takeda, 1977).

Dalam menentukan besarnya curah hujan rencana suatu daerah aliran sungai, perlu dilakukan analisis hujan kawasan terhadap data curah hujan dari pos penakar hujan. Analisis ini dilakukan karena data hujan yang didapat dari pos penakar hujan merupakan data curah hujan titik (*Point Rainfall*). Metode yang dipakai dalam analisis ini adalah metode Thiesen Polygon. Metode ini dikenal juga sebagai metode rata-rata timbang (*weighted mean*). Metode ini memberikan proporsi luasan daerah pengaruh pos penakar hujan untuk mengakomodasi ketidakseragaman jarak. Daerah pengaruh dibentuk dengan menggambarkan garis-garis sumbu tegak lurus terhadap garis penghubung antara dua pos penakar terdekat (Suripin, 2004). Berikut adalah luasan daerah pengaruh polygon thiesen dari tiap-tiap pos penakar hujan yang berpengaruh di DAS Cidurian bagian hulu bendung Rancasumur.

Tabel 4.2 Luas Daerah Pengaruh Polygon Thiesen

No	Penakar Hujan	Luas Pengaruh		Perbandingan Luas
		Ha	Km <sup>2</sup>	
1	Cikasungka	10689,98	106,899	0,332
2	Toge	13891,52	138,915	0,430
3	Cicinta	7282,61	72,826	0,226
4	Cisalak Baru	48,20	0,482	0,001
5	Rancasumur	362	3,620	0,011
<b>JUMLAH</b>			<b>322,742</b>	<b>1,00</b>



Gambar 4.6 Polygon Theisen DAS Cidurian Bagian Hulu bendung Rancasumur

Luas pengaruh tiap-tiap pos penakar hujan terhadap DAS yang ditinjau tersebut kemudian digunakan untuk menghitung besarnya curah hujan rata-rata wilayah.

Perhitungan curah hujan rata-rata wilayah berdasarkan persamaan (2.3) :

$$R_{ave} = \sum_i^n \frac{A_n}{A} R_n + \sum_i^m \frac{A_m}{A} R_m$$

$A_n$  = Luas Daerah Pengaruh Pos Penakar Hujan n (Ha)

$A$  = Luas total Das (Ha)

$R_n$  = Tinggi hujan di Pos Penakar Hujan n (mm)

Hasil perhitungan curah hujan rata-rata wilayah dapat dilihat pada tabel 4.3 berikut ini.

Tabel 4.3 Perhitungan curah hujan wilayah metode Thiesen Polygon

NO	Kejadian			Pos Hujan Cikasungka (mm)	Pos Hujan Toge (mm)	Pos Hujan Cicinta (mm)	Pos Hujan Cisalak Baru (mm)	Pos Hujan Rancasumur (mm)	R Thiesen (mm)	Hujan Harian Maksimum	Setelah Di ranking (mm)
	Tahun	Bulan	Tanggal								
1	1998	Mei	24	82	36	0	0	0	56,00	71,97	187,00
		Mei	29	0	95	29,5	0	42,4	71,97		
		September	24	4	6	103	0	76	28,04		
		Oktober	18	32	22	0	92	0	26,48		
		Februari	20	18	2	0	14	160	11,18		
2	1999	Juni	30	86	30	0	0	4	53,62	53,62	139,13
		Januari	11	40	68	1	2	0	43,23		
		Juli	20	19	0	84	10	78	45,89		
		Oktober	25	22	10	22,5	86	0	16,99		
		Juli	19	64	25	0	6	94	42,64		
3	2000	September	09	96	24	0	0	0	55,31	129,47	135,00
		September	18	82	166	0	0	0	129,47		
		Januari	26	5	3	80	35	77,3	21,92		
		Mei	10	55	152	0	98	0	109,79		
		Mei	18	5	0	62,5	0	88	29,48		
4	2001	Mei	25	138	140	0	0	0	139,13	139,13	133,00
		Mei	25	138	140	0	0	0	139,13		
		Januari	23	0	88	90	0	78	88,51		
		Februari	7	78	0	7	127	60	49,65		
		Nopember	11	25	5	0	0	107	15,05		
5	2002	Januari	29	80	25	21	16	52,4	42,61	73,46	129,47
		Februari	17	38	110	45	30	0	70,93		
		September	28	0	0	75	2	52	73,46		
		April	09	0	30	0	123	77,2	31,51		
		Maret	28	49	25	50	0	96	39,41		
6	2003	Februari	19	90	0	0	48	0	89,81	89,81	110,78
		Januari	26	0	58	0	0	0	58,00		
		April	22	0	15	72	0	45	35,37		
		September	06	20	17	0	121	0	18,51		
		Nopember	20	0	0	0	0	78	1,13		
7	2004	Februari	19	90	0	65	45	0	79,78	135,00	92,90
		Desember	27	60	70	0	70	43	65,33		
		Februari	19	90	0	65	45	0	79,78		
		April	21	35	43	0	122	30	39,54		
		Februari	21	0	0	0	0	135	135,00		
8	2005	Maret	06	145	151	15	0	16	116,76	116,76	89,81
		Maret	06	145	151	15	0	16	116,76		
		Juni	19	0	0	85	0	0	85,00		
		Januari	23	0	0	0	80	0	80,00		
		September	29	0	0	0	0	100	100,00		
9	2006	Januari	17	65	100	25	0	0	71,12	133,00	88,89
		Januari	17	65	100	25	0	0	71,12		
		Desember	02	5	7	85	7	0	24,13		
		Juli	30	0	0	0	133	0	133,00		
		Januari	18	0	0	30	6	71	31,78		
10	2007	Januari	29	87	135	37	0	18	95,62	187,00	75,81
		Januari	29	87	135	37	0	18	95,62		
		April	28	2,5	0	147	0	36	60,56		
		Desember	06	0	0	0	187	0	187,00		
		Juni	02	0	0	49	0	110	21,64		
11	2008	Januari	01	109	25	12	25	0	50,17	58,81	73,75
		April	20	25	85	0	11	0	58,81		
		Nopember	24	2	0	78	0	51	33,16		
		Agustus	02	18	54	0	146	0	38,56		
		Oktober	12	0	24	0	0	61	14,25		
12	2009	Nopember	24	110	0	4	0	17	66,06	66,06	68,34
		Nopember	13	26	50	0	12	6	39,02		
		Nopember	26	0	7	78	13	0	31,38		
		Februari	03	23	0	6	112	0	16,37		
		Nopember	25	10	14	27	0	99	16,57		
13	2010	Nopember	24	200	9	31	10	37	77,54	88,41	59,93
		September	14	16	62	27	9	14	38,25		
		Agustus	18	0	0	91	16	46	88,41		
		Oktoper	28	5	18	0	101	0	12,52		
		Juli	14	0	0	39	12	84	40,95		
14	2011	Agustus	14	76	60	0	18	0	66,86	95,35	58,81
		Desember	27	21	137	0	9	0	86,40		
		Januari	10	0	2	60	66	65	22,77		
		Nopember	18	3	0	0	86	8	95,35		
		September	09	0	0	38	0	79	39,94		

Sumber : hasil perhitungan

Lanjutan Tabel 4.3

NO	Kejadian			Pos Hujan Cikasungka (mm)	Pos Hujan Toge (mm)	Pos Hujan Cicinta (mm)	Pos Hujan Cisalak Baru (mm)	Pos Hujan Rancasumur (mm)	R Thiesen (mm)	Hujan Harian Maksimum	Setelah Di ranking (mm)	
	Tahun	Bulan	Tanggal									
15	2012	April	14	77	55	0	0	6	63,72	75,99	53,60	
		Mei	06	56	75	0	43	4	65,78			
		Januari	14	44	65	78	21	79	61,07			
		Januari	13	50	35	4	114	11	32,82			
		Februari	04	0	0	75	0	96	75,99			
16	2013	Januari	14	46	0	4	29	11	28,63	40,31	38,93	
		Januari	12	19	69	17	18	0	40,31			
		Maret	05	7	8	80	28	73	24,67			
		Januari	09	42	21	55	82	0	35,89			
		Januari	10	7	0	45	66	163	25,28			
Jumlah				3134,5	3059	2271,5		2868,3	4711			
Rata - Rata				39,18	38,24	28,39		35,85	58,89			

Sumber : hasil perhitungan

#### 4.3 Perhitungan Curah Hujan Rencana.

Hasil dari perhitungan curah hujan rata-rata wilayah dengan metode Thiesen Polygon kemudian dilakukan analisa perhitungan curah hujan rencana. Tujuan dari perhitungan curah hujan rencana adalah untuk memperoleh besarnya curah hujan dengan beberapa periode ulang. Periode ulang yang dihitung adalah periode ulang 2 tahun, 5 tahun, 10 tahun, 25 tahun, 50 tahun dan 100 th. Pada kajian ini metoda yang dipakai adalah Metode Distribusi Log Pearson Type III dan Metode Distribusi Pearson Type III.

##### 4.3.1. Metode Distribusi Log Pearson Type III.

Hasil perhitungan dengan metode distribusi Log Pearson Type III dapat dilihat pada Tabel. 4.4 dan Tabel 4.5 berikut ini.

Tabel 4.4 Perhitungan Curah Hujan Rencana dengan Metode Distribusi Log Pearson Type III

Ranking	R (mm)	R = log R	log R – log $\bar{R}$	(log R – log $\bar{R}$ ) <sup>2</sup>	(log R – log $\bar{R}$ ) <sup>3</sup>
1	187,00	2,272	0,325	0,1058	0,0344139
2	139,13	2,143	0,197	0,0388	0,0076280
3	135,00	2,130	0,184	0,0338	0,0062054
4	133,00	2,124	0,177	0,0314	0,0055716
5	129,47	2,112	0,166	0,0274	0,0045412
6	110,78	2,044	0,098	0,0096	0,0009381
7	92,90	1,968	0,021	0,0005	0,0000099
8	89,81	1,953	0,007	0,0000	0,0000003
9	88,89	1,949	0,002	0,0000	0,0000000
10	75,81	1,880	-0,067	0,0045	-0,0002985
11	73,75	1,868	-0,079	0,0062	-0,0004893
12	68,34	1,835	-0,112	0,0125	-0,0013999
13	59,93	1,778	-0,169	0,0285	-0,0048199
14	58,81	1,769	-0,177	0,0314	-0,0055540
15	53,60	1,729	-0,217	0,0473	-0,0102771
16	38,93	1,590	-0,356	0,1269	-0,0452157
Jumlah			31,1451	0,5045	-0,0087459
Rata-rata	(log $\bar{R}$ )	1,9466			
$\sigma x$				0,183	
n					16
Cs					-0,11

Tabel 4.5 Periode Ulang Hujan Metode Distribusi Log Pearson Type III

PUH (Th)	$\sigma_x$	Kx	Kx* $\sigma_x$	Xt	Rt (mm/24 jam)
2	0,183	0,017	0,003	1,950	89,061
5	0,183	0,836	0,153	2,100	125,862
10	0,183	1,270	0,233	2,179	151,179
25	0,183	1,716	0,315	2,261	182,510
50	0,183	2,000	0,367	2,313	205,766
100	0,183	2,252	0,413	2,360	228,871

Sumber : Hasil Perhitungan

#### 4.3.2. Metode Distribusi Pearson Type III

Hasil perhitungan dengan metode distribusi Pearson Type III dapat dilihat pada Tabel. 4.6 dan Tabel 4.7 berikut ini.

Tabel 4.6 Perhitungan Curah Hujan Rencana dengan Metode Distribusi Pearson Type III

Ranking	R (mm)	(R - $\bar{R}$ )	(R - $\bar{R}$ ) <sup>2</sup>	(R - $\bar{R}$ ) <sup>3</sup>
1	187,00	91	8290,38	754851,92
2	139,13	43	1864,67	80519,58
3	135,00	39	1525,02	59554,45
4	133,00	37	1372,82	50864,93
5	129,47	34	1123,71	37668,86
6	110,78	15	219,98	3262,72
7	92,90	-3	9,27	-28,23
8	89,81	-6	37,66	-231,14
9	88,89	-7	49,76	-351,04
10	75,81	-20	405,44	-8163,77
11	73,75	-22	492,70	-10936,54
12	68,34	-28	761,96	-21032,79
13	59,93	-36	1297,26	-46723,97
14	58,81	-37	1379,00	-51208,97
15	53,60	-42	1793,48	-75953,29
16	38,93	-57	3250,80	-185346,77
Jumlah	1535		23873,92	586745,97
Rata-rata ( $\bar{R}$ )	95,95			
$\sigma_x$				39,895
n				16
Cs				0,70

Sumber : hasil perhitungan

Tabel 4.7 Periode Ulang Hujan Metode Distribusi Pearson Type III

<b>PUH (Th)</b>	<b><math>\sigma_x</math></b>	<b>Kx</b>	<b>Kx*<math>\sigma_x</math></b>	<b>Rt (mm/24 jam)</b>
2	39,895	-0,116	-4,628	91,32
5	39,895	0,790	31,517	127,47
10	39,895	1,333	53,180	149,13
25	39,895	1,967	78,473	174,42
50	39,895	2,407	96,027	191,98
100	39,895	2,824	112,663	208,61

Sumber : Hasil Perhitungan

#### 4.4 Uji Keselarasan Distribusi

Perlunya uji keselarasan distribusi adalah untuk menentukan apakah distribusi yang dipilih sudah dapat mewakili dari distribusi statistik sampel datayang dianalisis. Uji keselarasan distribusi yang akan dilakukan meliputi uji keselarasan Chi Kuadrat dan uji keselarasan Smirnov Kolmogorov.

##### 4.4.1. Uji Keselarasan Chi Kuadrat.

Dasar dari pengujian Chi Kuadrat ini adalah jumlah pengamatan terhadap data yang dibagi menjadi beberapa kelas. Pengujian ini menggunakan parameter  $\chi^2_h$  yang dihitung dengan menggunakan persamaan 2.19 berikut ini.

$$\chi^2_h = \sum_{i=1}^G \frac{(O_i - E_i)^2}{E_i}$$

$\chi^2_h$  = parameter Chi Kuadrat terhitung.

G = jumlah sub kelompok.

$O_i$  = jumlah nilai pengamatan pada sub kelompok ke 1.

$E_i$  = jumlah nilai teoritis pada sub kelompok ke 1.

Kriteria penilaianya adalah sebagai berikut :

- Apabila peluang lebih dari 5% maka persamaan distribusi teoritis yang digunakan dapat diterima.
- Apabila peluang lebih kecil dari 1% maka persamaan distribusi teoritis yang digunakan dapat diterima.

- Apabila peluang lebih kecil dari 1% - 5%, maka tidak mungkin mengambil keputusan, perlu penambahan data.

Berikut adalah hasil dari uji keselarasan Chi Kuadrat untuk distribusi Log pearson type III dan Pearson type III.

**a) Uji Keselarasan Chi Kuadrat untuk Distribusi Log Pearson Type III.**

Dari tabel 4.8, didapatkan standart deviasi sebesar 0.183 dan rata-rata logaritma data hujan sebesar 1.947. Dari hasil tersebut didapatkan persamaan garis lurusnya yaitu :

$$X = 1,947 + 0,183 K, \text{ dimana } K \text{ merupakan variabel reduksi gauss.}$$

Tabel 4.8 Nilai Logaritma dari tinggi hujan rata-rata wilayah

No.	Log R	
1.	2,272	
2.	2,143	
3.	2,130	
4.	2,124	
5.	2,112	
6.	2,044	$\bar{R} = 1,947$
7.	1,968	$Sd = 0,183$
8.	1,953	
9.	1,949	
10.	1,880	
11.	1,868	
12.	1,835	
13.	1,778	
14.	1,769	
15.	1,729	
16.	1,590	

Sumber : hasil perhitungan.

Jumlah kelas (G) =  $1 + 3,322 \log N$ , dimana N adalah banyaknya data curah hujan. Didapat jumlah kelas (G) adalah 5 kelas. Pembagian sub grupnya adalah sebagai berikut.

- Peluang 80%

$$\begin{aligned} x &= 1,947 + 0,183 \cdot (-0,84) \\ &= 1,793 \end{aligned}$$

- Peluang 60%

$$\begin{aligned} x &= 1,947 + 0,183 \cdot (-0,25) \\ &= 1,901 \end{aligned}$$

- Peluang 40%

$$\begin{aligned} x &= 1,947 + 0,183 \cdot (0,25) \\ &= 1,992 \end{aligned}$$

- Peluang 20%

$$\begin{aligned} x &= 1,947 + 0,183 \cdot (0,84) \\ &= 2,101 \end{aligned}$$

Sehingga,

1. Sub Grup I =  $x \leq 1,793$
2. Sub Grup II =  $1,793 < x < 1,901$
3. Sub Grup III =  $1,901 < x < 1,992$
4. Sub Grup IV =  $1,992 < x < 2,101$
5. Sub Grup V =  $2,101 > x$

Selanjutnya dilakukan perhitungan parameter Chi Kuadrat Hitung ( $\chi^2_h$ ) sebagaimana tersaji dalam tabel 4.9 berikut ini.

Tabel 4.9 Perhitungan parameter ( $\chi^2_h$ ) untuk Distribusi Log Pearson Type III.

No.	Nilai Batas Sub Kelompok	Jumlah Data		$O_i - E_i$	$\frac{(O_i - E_i)^2}{E_i}$
		$O_i$	$E_i$		
1	$X \leq 1,793$	4	3,20	0,80	0,200
2	$1,793 < X \leq 1,901$	3	3,20	-0,20	0,013
3	$1,901 < X \leq 1,992$	3	3,20	-0,20	0,013
4	$1,992 < X \leq 2,101$	1	3,20	-2,20	1,513
5	$2,101 > X$	5	3,20	1,80	1,013
Jumlah		16,00	16,00		2,750

Sumber : hasil perhitungan

Berdasarkan hasil perhitungan diatas, didapat nilai parameter Chi Kuadrat Hitung ( $\chi^2_h$ ) sebesar 2,750. Dengan nilai Derajat Kebebasan = 2 ( $dk = G-R-1$ ) dan dengan peluang 5% didapat nilai dari tabel Chi Kuadrat

sebesar 5,991. Dalam hal ini Distribusi Log Pearson Type III dapat diterima karena peluang yang didapat lebih besar dari 5% ( $5,991 > 2,750$ ).

**b) Uji Keselarasan Chi Kuadrat untuk Distribusi Pearson Type III.**

Dari tabel 4.10, didapatkan standart deviasi sebesar 39. 895 dan rata-rata logaritma data hujan sebesar 95.948. Dari hasil tersebut didapatkan persamaan garis lurusnya yaitu :

$$X = 95,948 + 39,895 K, \text{ dimana } K \text{ merupakan variabel reduksi gauss.}$$

Tabel 4.10 Nilai dari tinggi hujan rata-rata wilayah

No.	R (mm)	
1.	187,00	$\bar{R} = 95,948$
2.	139,13	
3.	135,00	
4.	133,00	
5.	129,47	
6.	110,78	
7.	92,90	
8.	89,81	
9.	88,89	
10.	75,81	
11.	73,75	
12.	68,34	
13.	59,93	
14.	58,81	
15.	53,60	
16.	38,93	

Sumber : hasil perhitungan

Jumlah kelas (G) =  $1 + 3,322 \log N$ , dimana N adalah banyaknya data curah hujan. Didapat jumlah kelas (G) adalah 5 kelas. Pembagian sub grupnya adalah sebagai berikut.

- Peluang 80%

$$\begin{aligned} x &= 95,948 + 39,895 \cdot (-0,84) \\ &= 62,437 \end{aligned}$$

- Peluang 60%

$$\begin{aligned} x &= 95,948 + 39,895 \cdot (-0,25) \\ &= 85,975 \end{aligned}$$

- Peluang 40%

$$\begin{aligned} x &= 95,948 + 39,895 \cdot (0,25) \\ &= 105,922 \end{aligned}$$

- Peluang 20%

$$\begin{aligned} x &= 95,948 + 39,895 \cdot (0,84) \\ &= 129,460 \end{aligned}$$

Sehingga,

1. Sub Grup I =  $x \leq 62,437$
2. Sub Grup II =  $62,437 < x < 85,975$
3. Sub Grup III =  $85,975 < x < 105,922$
4. Sub Grup IV =  $105,922 < x < 129,460$
5. Sub Grup V =  $129,460 > x$

Selanjutnya dilakukan perhitungan parameter Chi Kuadrat Hitung ( $\chi^2_h$ ) sebagaimana tersaji dalam tabel 4.11 berikut ini.

Tabel 4.11 Perhitungan parameter ( $\chi^2_h$ ) untuk Distribusi Pearson Type III.

No.	Nilai Batas Sub Kelompok	Jumlah Data		$O_i - E_i$	$(O_i - E_i)^2 / E_i$
		$O_i$	$E_i$		
1	$X \leq 62,44$	4	3,20	0,80	0,200
2	$62,44 < X \leq 85,97$	3	3,20	-0,20	0,013
3	$85,97 < X \leq 105,92$	3	3,20	-0,20	0,013
4	$105,92 < X \leq 129,46$	1	3,20	-2,20	1,513
5	$129,46 > X$	5	3,20	1,80	1,013
Jumlah		16,00	16,00		2,750

Sumber : hasil perhitungan

Berdasarkan hasil perhitungan diatas, didapat nilai parameter Chi Kuadrat Hitung ( $\chi^2_h$ ) sebesar 2,750. Dengan nilai Derajat Kebebasan = 2 ( $dk = G-R-1$ ) dan dengan peluang 5% didapat nilai dari tabel Chi Kuadrat

sebesar 5,991. Dalam hal ini Distribusi Pearson Type III dapat diterima karena peluang yang didapat lebih besar dari 5% ( $5,991 > 2,750$ ).

#### **4.4.2. Uji Keselarasan Smirnov Kolmogorov.**

Dasar pengujian keselarasan ini adalah membandingkan probabilitas tiap variabel dari distribusi empiris dan teoritis. Perbedaan maksimum yang dihitung (Dmaks) dibandingkan dengan perbedaan kritis (Do) untuk suatu derajat nyata dan banyaknya variat tertentu. Syarat dari pengujian ini adalah apabila  $D_{maks} < D_o$ , maka distribusi yang dipilih dapat diterima.

Berikut adalah hasil dari uji keselarasan Smirnov Kolmogorof untuk distribusi Log pearson type III dan Pearson type III.

##### **a) Uji Keselarasan Smirnov Kolmogorof untuk Distribusi Log Pearson Type III.**

Tabel 4.12 Uji Keselarasan Smirnov Kolmogorov untuk Distribusi Log Pearson Type III.

<i>R (mm)</i>	<i>m</i>	<i>P(x) = m/(n+1)</i>	<i>P(x&lt;)</i>	<i>f(t)=(x-xrata2)/sd</i>	<i>P'(x)</i>	<i>P'(x&lt;)</i>	<i>D</i>
1	2	3	4=nilai 1-kol. 3	5	6	7=nilai 1 - kol.6	8=7-4
2,27	1	0,06	0,94	1,774	0,039	0,961	0,020
2,14	2	0,12	0,88	1,073	0,143	0,857	-0,025
2,13	3	0,18	0,82	1,002	0,159	0,841	0,017
2,12	4	0,24	0,76	0,967	0,166	0,834	0,069
2,11	5	0,29	0,71	0,903	0,185	0,815	0,109
2,04	6	0,35	0,65	0,534	0,299	0,701	0,054
1,97	7	0,41	0,59	0,117	0,457	0,543	-0,045
1,95	8	0,47	0,53	0,037	0,484	0,516	-0,013
1,95	9	0,53	0,47	0,013	0,496	0,504	0,033
1,88	10	0,59	0,41	-0,364	0,641	0,359	-0,053
1,87	11	0,65	0,35	-0,430	0,667	0,333	-0,020
1,83	12	0,71	0,29	-0,610	0,730	0,270	-0,024
1,78	13	0,76	0,24	-0,921	0,822	0,178	-0,057
1,77	14	0,82	0,18	-0,966	0,832	0,168	-0,008
1,73	15	0,88	0,12	-1,185	0,881	0,119	0,001
1,59	16	0,94	0,06	-1,943	0,974	0,026	-0,033

Sumber : hasil perhitungan

Berdasarkan tabel 4.13 diatas, nilai Dmaks adalah 0,109. Nilai Do untuk jumlah data = 16 adalah 0,33. Dmaks (0,109) < Do (0,33), maka dapat disimpulkan bahwa Distribusi Log Pearson Type III dapat diterima.

**b) Uji Keselarasan Smirnov Kolmogorof untuk Distribusi Pearson Type III.**

Tabel 4.13 Uji Keselarasan Smirnov Kolmogorov untuk Distribusi Pearson Type III.

x (mm)	m	P(x) = m/(n+1)	P(x<)	f(t)=(x-xrata2)/sd	P'(x)	P'(x<)	D
1	2	3	4=nilai 1-kol. 3	5	6	7=nilai 1 - kol.6	8=7-4
187,00	1	0,06	0,94	2,282	0,012	0,988	0,047
139,13	2	0,12	0,88	1,082	0,141	0,859	-0,023
135,00	3	0,18	0,82	0,979	0,166	0,834	0,010
133,00	4	0,24	0,76	0,929	0,179	0,821	0,056
129,47	5	0,29	0,71	0,840	0,201	0,799	0,093
110,78	6	0,35	0,65	0,372	0,356	0,644	-0,003
92,90	7	0,41	0,59	-0,076	0,528	0,472	-0,116
89,81	8	0,47	0,53	-0,154	0,560	0,440	-0,089
88,89	9	0,53	0,47	-0,177	0,568	0,432	-0,039
75,81	10	0,59	0,41	-0,505	0,695	0,305	-0,107
73,75	11	0,65	0,35	-0,556	0,713	0,287	-0,066
68,34	12	0,71	0,29	-0,692	0,755	0,245	-0,049
59,93	13	0,76	0,24	-0,903	0,816	0,184	-0,051
58,81	14	0,82	0,18	-0,931	0,824	0,176	0,000
53,60	15	0,88	0,12	-1,062	0,856	0,144	0,026
38,93	16	0,94	0,06	-1,429	0,924	0,076	0,017

Sumber : hasil perhitungan

Berdasarkan tabel 4.14 diatas, nilai Dmaks adalah 0,093. Nilai Do untuk jumlah data = 16 adalah 0,33. Dmaks (0,093) < Do (0,33), maka dapat disimpulkan bahwa Distribusi Pearson Type III dapat diterima.

**4.5 Analisa tutupan lahan dan topografi DAS di wilayah studi.**

**4.5.1. Analisa jenis tutupan lahan di DAS wilayah studi.**

Jenis tutupan lahan daerah aliran sungai Cidurian bagian hulu bendung Rancasumur terdiri dari Hutan Lahan Kering Primer, Hutan Lahan Kering Sekunder, Hutan Tanaman, Perkebunan, Permukiman, Pertanian Lahan Kering dan Pertanian Lahan Kering Campur, Sawah. Pada wilayah studi, prosentase jenis tutupan lahan terbesar adalah pertanian lahan kering campur yaitu 30,78%. Berdasarkan peta tutupan lahan tahun 2014 dari Balai Pengelolaan DAS Citarum Ciliwung dan update dari *google earth* tahun 2016, luas dari masing-masing tutupan lahan seperti pada tabel 4.15 berikut ini.

Tabel 4.14 Jenis dan Luas Tutupan Lahan di DAS wilayah studi

Jenis Tutupan Lahan	Luas (Ha)
Hutan Lahan Kering Primer	1399,11
Hutan Lahan Kering Sekunder	2458,46
Hutan Tanaman	3172,25
Perkebunan	4341,38
Permukiman	1196,55
Pertanian Lahan Kering	6411,49
Pertanian Lahan Kering Campur	9936,65
Sawah	2978,06
<b>TOTAL</b>	<b>32274,81</b>

sumber : Peta Tutupan Lahan 2014 dari BPDAS Citarum Ciliwung dan *Google Earth* 2016 diolah.

Selanjutnya dilakukan digitasi dengan membuat polygon terhadap peta *google earth* untuk menganalisa lahan terbuka/gundul di wilayah studi. Polygon yang terbentuk selanjutnya akan dilakukan *overlay* berdasarkan koordinat pada peta tutupan lahan yang ada. Untuk dapat melakukan *overlay* tersebut, perlu dilakukan konversi dari polygon yang dibuat dari format *kml* menjadi format *dxf*. Konversi tersebut dilakukan dengan menggunakan *web online* yaitu [www.gisconvert.com](http://www.gisconvert.com) lihat gambar 4.8

**GIS File Format Conversions**  
 Need to convert between Geographic Information System data formats like AutoCAD DXF, DWG, Shapefile (SHP), Google KML, GPX (GPS Exchange Format), or CSV? One of the tools below may address your need. If not, contact me to see if I can help.



Strategic Code LLC  
Chris Michaelis

[www.gisconvert.com](http://www.gisconvert.com)

**AutoCAD DXF, AutoCAD DWG, SHP, or KML to ESRI Shapefile, Google KML, or DXF**

This free online converter will translate an AutoCAD file (in DXF or DWG format) to a shapefile or KML format. It can also convert from KML format to shapefile, or KML to DXF, or Shapefile to DXF. Choose the output format you desire and select your input file, then press Convert File.

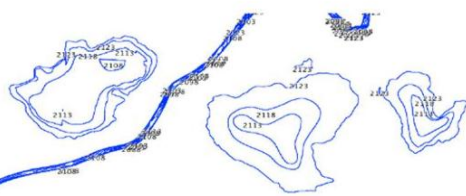
Output Format:

No file chosen

Convert File

This converter is based on open source components, and source code is available via the IBM developerWorks article on this topic. (The bulk converter below is based on different tools.)

DWG note: DWG 2000 format files will work best, but in general DXF is a better format for data exchange. If at all possible use DXF files rather than DWG files for best results.



Gambar 4.7 *Web online* ([www.gisconvert.com](http://www.gisconvert.com))

Identifikasi dari peta *google* dilakukan untuk jenis tutupan lahan berupa permukiman, pertanian lahan kering, pertanian lahan kering campur, hutan tanaman dan hutan lahan kering sekunder. Luasan dari permukiman pada tabel 4.15 diatas merupakan hasil pembaruan dari peta *google earth*. Identifikasi luasan permukiman seperti terlihat dalam gambar 4.7.



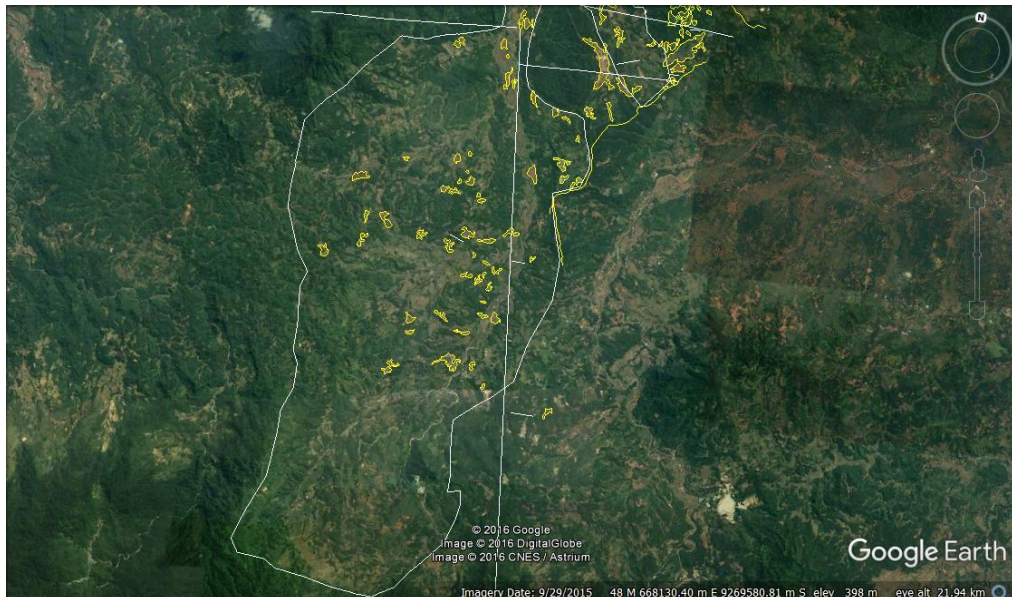
Gambar 4.8 Identifikasi Permukiman (*google earth*)

Identifikasi lahan gundul/tanah terbuka pada hutan lahan kering sekunder seperti terlihat dalam gambar 4.8

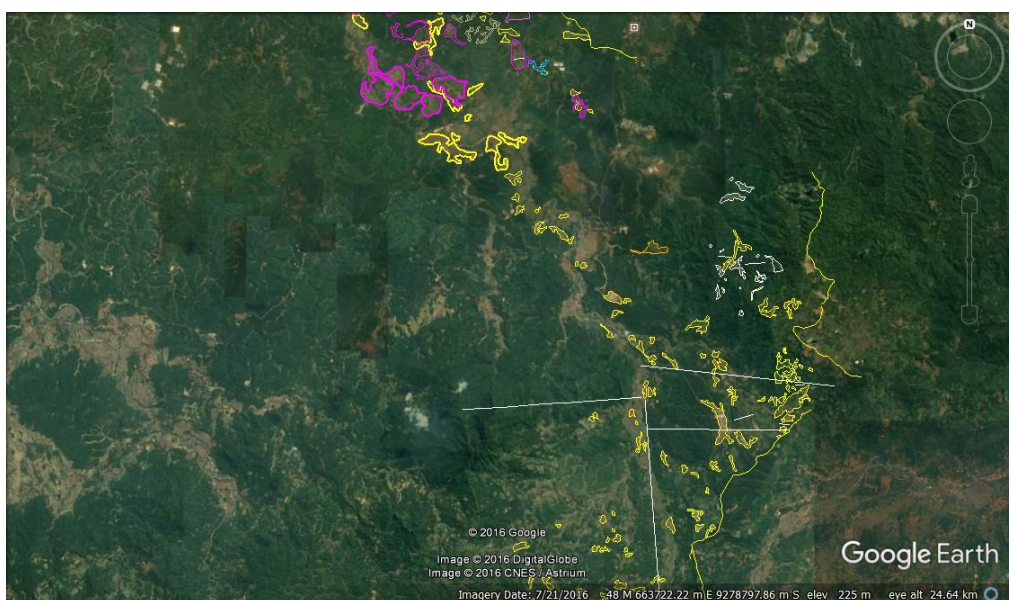


Gambar 4.9 Identifikasi Lahan Gundul/Tanah Terbuka pada Hutan Lahan Kering Sekunder (*google earth*).

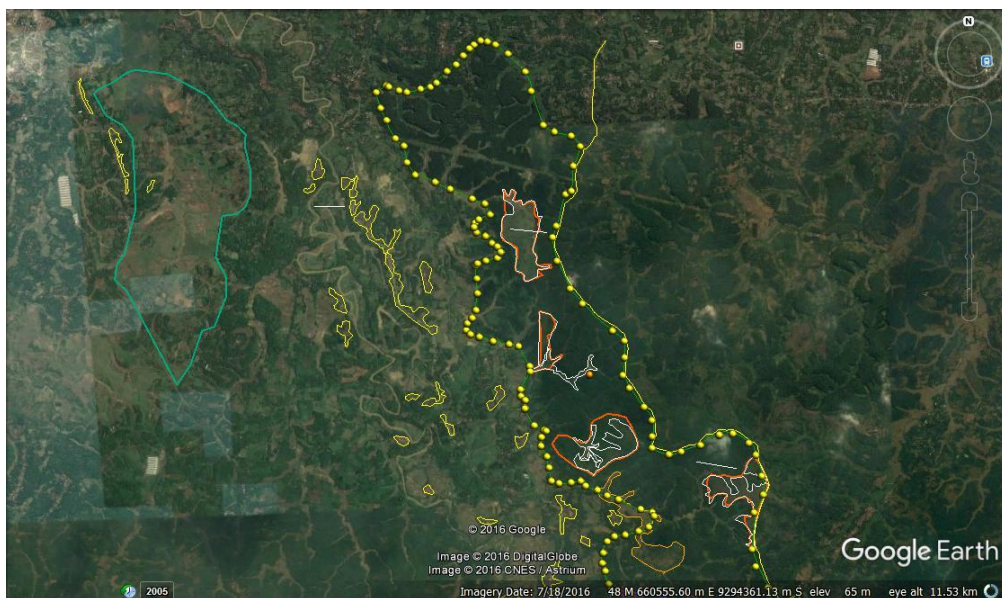
Lahan gundul/tanah terbuka juga terjadi di pertanian lahan kering dan pertanian lahan kering campur baik di daerah hulu, tengah dan hilir dari wilayah studi. Berikut adalah hasil identifikasi lahan gundul/tanah terbuka pada pertanian lahan kering dan pertanian lahan kering campur :



Gambar 4.10 Identifikasi Lahan Gundul/Tanah Terbuka Pertanian Lahan Kering dan Pertanian Lahn Kering Campur Zona Hulu.



Gambar 4.11 Identifikasi Lahan Gundul/Tanah Terbuka Pertanian Lahan Kering dan Pertanian Lahn Kering Campur Zona Tengah.



Gambar 4.12 Identifikasi Lahan Gundul/Tanah Terbuka Pertanian Lahan Kering dan Pertanian Lahn Kering Campur Zona Hilir.

Dari hasil analisa tersebut maka luasan lahan gundul/tanah terbuka hasil adalah sebagai berikut :

Tabel 4.15 Luas Lahan Gundul/Tanah Terbuka di wilayah studi

<b>Lahan Gundul/Tanah Terbuka</b>	<b>Luas (Ha)</b>
Hutan Lahan Kering Sekunder.	119,10
Hutan Tanaman.	261,76
Pertanian Lahan Kering	4.301,19
Pertanian Lahan Kering Campur	7.096,50
<b>TOTAL</b>	<b>11.778,55</b>

(sumber : hasil analisa)

#### 4.5.2. Topografi di DAS wilayah studi

Selain dipengaruhi oleh tutupan lahan, kondisi topografi suatu daerah sangat berpengaruh terhadap laju aliran permukaan. Semakin besar kemiringan suatu daerah, maka semakin besar pula laju aliran permukaan yang terjadi.

Kondisi topografi DAS di wilayah studi diuraikan berikut ini :

- Di bagian hulu DAS (*up stream*) memiliki kemiringan lereng diatas 20% dengan elevasi antara +100 m sampai dengan 1785 m diatas permukaan laut.
- Di bagian tengah DAS (*middle stream*) memiliki kemiringan lereng antara 20% sampai dengan 10% dan berada pada elevasi +30 m sampai dengan +100 m diatas permukaan laut.
- Di bagian hilir DAS (*down stream*) memiliki kemiringan lereng dibawah 10% dan berada pada elevasi kurang dari 30 m diatas permukaan laut.

Pada tabel 4.16 berikut ini adalah luas tutupan lahan pada DAS di wilayah studi berdasarkan kemiringan lereng.

Tabel 4.16 Tutupan lahan berdasarkan kemiringan lereng.

No.	Jenis Tutupan Lahan	Kemiringan Lereng (%)	Luas (Ha)
1.	Hutan Lahan Kering Primer	> 20%	1399,11
2.	Hutan Lahan Kering Sekunder	8% - 20%	2261,46
		> 20%	197
3.	Hutan Tanaman.	< 8%	1948,23
		8% - 20%	534,95
		> 20%	950,83
4.	Perkebunan	< 8%	4101,24
		8% - 20%	240,14
5.	Permukiman		1196,55
7.	Pertanian Lahan Kering	< 8%	2241,77
		8% - 20%	4169,72
8.	Pertanian Lahan Kering Campur	< 8%	7201,85
		8% - 20%	2604,57
		> 20%	130,23
9.	Sawah	< 8%	2978,06

(sumber : hasil analisa)

#### 4.6 Perhitungan koefisien pengaliran.

Pengaruh perubahan tata guna lahan pada aliran permukaan dinyatakan dalam koefisien aliran permukaan. Angka koefisien ini merupakan

salah satu indikator untuk menentukan kondisi fisik suatu DAS. Nilai koefisien pengaliran berkisar antara 0 sampai dengan 1. Nilai koefisien = 0 dapat diartikan semua air hujan terintersepsi dan terinfiltasi ke dalam tanah, sedangkan nilai koefisien pengaliran = 1 menunjukkan bahwa semua air hujan mengalir sebagai aliran permukaan. Dalam kajian ini, nilai koefisien pengaliran adalah berdasarkan topografi, jenis tanah dan vegetasi yang ada di wilayah studi. Berikut adalah hasil perhitungan koefisien pengaliran di wilayah studi.

Tabel 4.17 Koefisien pengaliran ( C ).

No.	Keterangan	Luas (Ha)	C						C Total	C x A	
			Topografi			Tanah	Vegetasi				
			Perbukitan (1 - 10%)	Perbukitan (10 - 20%)	Perbukitan > 20%		Pertanian	Tanpa tanaman	Hutan		
1	Hutan Lahan Kering Primer (>20%)	1399,11			0,26	0,08			0,04	0,38	531,66
	Hutan Lahan Kering Sekunder (kemiringan 8%-20%)	2261,46		0,16		0,09			0,04	0,29	663,36
2	Lahan Gundul Hutan Lahan Kering Sekunder (kemiringan 8%-20%)	119,10		0,16		0,09		0,28		0,53	63,52
	Hutan Lahan Kering Sekunder (>20%)	197,00			0,26	0,08			0,04	0,38	74,86
	Hutan Tanaman (kemiringan <8%)	1737,84	0,08			0,12			0,04	0,24	417,08
	Lahan Gundul Hutan Tanaman (kemiringan <8%)	210,39	0,08			0,12		0,28		0,48	100,99
3	Hutan Tanaman (kemiringan 8%-20%)	483,58		0,16		0,12			0,04	0,32	154,75
	Lahan Gundul Hutan Tanaman (kemiringan 8%-20%)	51,37		0,16		0,12		0,28		0,56	28,77
	Hutan Tanaman (>20%)	950,83			0,26	0,12			0,04	0,42	399,35
4	Perkebunan (kemiringan <8%)	4101,24	0,08			0,12			0,04	0,24	984,30
	Perkebunan (kemiringan 8%-20%)	240,14		0,16		0,12			0,04	0,32	76,84
5	Pemukiman	1196,55							0,40		478,62
	Pertanian Lahan Kering (kemiringan <8%)	177,92	0,08			0,12			0,04	0,24	42,70
6	Pertanian Lahan Kering (kemiringan <8%)	2.063,85	0,08			0,12		0,28		0,48	990,65
	Pertanian Lahan Kering (kemiringan 8%-20%)	1932,38		0,16		0,12			0,04	0,32	618,36
	Pertanian Lahan Kering (kemiringan 8%-20%)	2.237,34		0,16		0,12		0,28		0,56	1252,91
	Pertanian Lahan Kering Campur (kemiringan <8%)	1669,21	0,08			0,12			0,04	0,24	400,61
	Pertanian Lahan Kering Campur (kemiringan <8%)	5.532,64	0,08			0,12		0,28		0,48	2655,67
7	Pertanian Lahan Kering Campur (kemiringan 8%-20%)	1040,71		0,16		0,12			0,04	0,32	333,03
	Pertanian Lahan Kering Campur (kemiringan 8%-20%)	1.563,86		0,16		0,12		0,28		0,56	875,76
	Pertanian Lahan Kering Campur (>20%)	130,23			0,26	0,09			0,04	0,39	51,22
8	Sawah	2978,06	0,08			0,12	0,11			0,31	923,20
	JUMLAH	32274,81									12118,21
	(C x A)/Luas		0,375								

Sumber : hasil analisa

Berdasarkan perhitungan diatas, besarnya koefisien pengaliran di daerah studi adalah 0,375.

#### 4.7 Perhitungan debit banjir rencana dengan metode Nakayasu.

Rumus yang digunakan berdasarkan persamaan 2.28 berikut ini :

$$Q_p = \frac{C \cdot A \cdot R_o}{3,6(0,3T_p + T_{0,3})}$$

$Q_p$  = debit puncak banjir ( $m^3/dt$ ).

$R_o$  = hujan satuan (mm).

C = koefisien pengaliran.

- $A$  = luas daerah aliran sungai sampai outlet ( $\text{km}^2$ )  
 $T_p$  = tenggang waktu dari permulaan hujan sampai puncak banjir (jam).  
 $T_{0,3}$  = waktu yang diperlukan oleh penurunan debit, dari puncak sampai 30% dari debit puncak.

1. Perhitungan unit hidrograf satuan Nakayasu di wilayah studi (hulu bendung rancasumur adalah sebagai berikut.

a. Karakteristik DAS dan hujan.

- Luas DAS ( $A$ ) = 322,70  $\text{km}^2$ .
- Panjang sungai utama ( $L$ ) = 69,20 km.
- Curah hujan effektif ( $R_o$ ) = 1 mm.
- Koefisien karakteristik DAS ( $\alpha$ ) = 3
- Koefisien pengaliran = 0,375

b. Parameter Hidrograf satuan sintetis.

- Time Lag ( $T_g$ )

$$L > 15 \text{ km}, T_g = 0,40 + 0,058 L$$

$$T_g = 0,40 + 0,058 (69,20)$$

$$T_g = 4,416 \text{ jam}$$

- Satuan waktu hujan ( $T_r$ )

$$T_r = 0,75 T_g$$

$$T_r = 0,75 (4,416)$$

$$T_r = 3,312 \text{ jam}$$

- Waktu puncak ( $T_p$ )

$$T_p = T_g + 0,8T_r$$

$$T_p = 4,416 + 0,8(3,312)$$

$$T_p = 7,065 \text{ jam}$$

- Waktu penurunan debit puncak 30% ( $T_{0,3}$ )

$$T_{0,3} = \propto T_g$$

$$T_{0,3} = 3 (4,416)$$

$$T_{0,3} = 13,248 \text{ jam}$$

- Debit puncak ( $Q_p$ )

$$Q_p = \frac{(322,7) (1)}{3,6(0,3(7,065) + 13,248)}$$

$$Q_p = 5,384 \text{ R m}^3/\text{dt.}$$

c. Perhitungan hidrograf satuan.

- Persamaan lengkung naik ( $0 \leq t \leq T_p$ )

$$Q_a = Q_p \left( \frac{t}{T_p} \right)^{2,4}$$

- Persamaan lengkung turun 1 ( $T_p \leq t \leq T_p + T_{0,3}$ )

$$Q_{d1} = Q_p 0,3^{\left(\frac{t-T_p}{T_{0,3}}\right)}$$

- Persamaan lengkung turun 2 ( $T_p + T_{0,3} \leq t \leq T_p + 1,5T_{0,3}$ )

$$Q_{d2} = Q_p 0,3^{\left(\frac{t-T_p+0,5T_{0,3}}{1,5T_{0,3}}\right)}$$

- Persamaan lengkung turun 3 ( $t \geq T_p + 1,5T_{0,3}$ )

$$Q_{d3} = Q_p 0,3^{\left(\frac{t-T_p+1,5T_{0,3}}{2T_{0,3}}\right)}$$

Hasil perhitungan hidrograf satuan dapat dilihat pada tabel berikut ini.

Tabel 4.18 Persamaan lengkung naik.

<b>Waktu (t) (jam)</b>	<b>HSS Unit</b>		<b>Q(t,1) (m<sup>3</sup>/det)</b>	<b>Keterangan</b>
	<b>X</b>	<b>Y</b>		
0,000	0,000	0,000	0,000	
0,500	0,071	0,002	0,010	
1,000	0,142	0,009	0,053	
1,500	0,212	0,024	0,141	
2,000	0,283	0,048	0,282	
2,500	0,354	0,083	0,482	
3,000	0,425	0,128	0,747	
3,500	0,495	0,185	1,081	
4,000	0,566	0,255	1,489	
4,500	0,637	0,339	1,976	
5,000	0,708	0,436	2,544	
5,500	0,778	0,548	3,198	
6,000	0,849	0,675	3,941	
6,500	0,920	0,819	4,775	
7,000	0,991	0,978	5,705	
<b>7,065</b>	<b>1,000</b>	<b>1,000</b>	<b>5,834</b>	

$$Q_a = Q_p \left( \frac{t}{T_p} \right)^{2,4}$$

(sumber : hasil perhitungan)

Tabel 4.19 Persamaan lengkung turun 1

Waktu (t) (jam)	HSS Unit		Q(t,1) (m <sup>3</sup> /det)	Keterangan
	X	Y		
7,500	1,062	0,961	5,608	
8,000	1,132	0,919	5,359	
8,500	1,203	0,878	5,121	
9,000	1,274	0,839	4,893	
9,500	1,345	0,802	4,676	
10,000	1,415	0,766	4,468	
10,500	1,486	0,732	4,270	
11,000	1,557	0,699	4,080	
11,500	1,628	0,668	3,899	
12,000	1,698	0,639	3,726	
12,500	1,769	0,610	3,560	
13,000	1,840	0,583	3,402	
13,500	1,911	0,557	3,251	
14,000	1,981	0,532	3,106	
14,500	2,052	0,509	2,968	
15,000	2,123	0,486	2,837	
15,500	2,194	0,465	2,710	
16,000	2,265	0,444	2,590	
16,500	2,335	0,424	2,475	
17,000	2,406	0,405	2,365	
17,500	2,477	0,387	2,260	
18,000	2,548	0,370	2,160	
18,500	2,618	0,354	2,064	
19,000	2,689	0,338	1,972	
19,500	2,760	0,323	1,884	
20,000	2,831	0,309	1,801	
<b>20,313</b>	<b>2,875</b>	<b>0,300</b>	<b>1,750</b>	

$$Q_{dl} = Q_p \cdot 0.3^{\left( \frac{t - T_p}{T_{0.3}} \right)}$$

(sumber : hasil perhitungan)

Tabel 4.20 Persamaan lengkung turun 2

Waktu (t) (jam)	HSS Unit		Q(t,1) (m <sup>3</sup> /det)	Keterangan
	X	Y		
20,500	2,901	0,297	1,730	
21,000	2,972	0,288	1,679	
21,500	3,043	0,279	1,629	
22,000	3,114	0,271	1,580	
22,500	3,185	0,263	1,533	
23,000	3,255	0,255	1,487	
23,500	3,326	0,247	1,443	
24,000	3,397	0,240	1,400	
24,500	3,468	0,233	1,358	
25,000	3,538	0,226	1,318	
25,500	3,609	0,219	1,278	
26,000	3,680	0,213	1,240	
26,500	3,751	0,206	1,203	
27,000	3,821	0,200	1,167	
27,500	3,892	0,194	1,132	
28,000	3,963	0,188	1,099	
28,500	4,034	0,183	1,066	
29,000	4,104	0,177	1,034	
29,500	4,175	0,172	1,003	
30,000	4,246	0,167	0,973	
30,500	4,317	0,162	0,944	
31,000	4,388	0,157	0,916	
31,500	4,458	0,152	0,889	
32,000	4,529	0,148	0,862	
32,500	4,600	0,143	0,836	
33,000	4,671	0,139	0,811	
33,500	4,741	0,135	0,787	
34,000	4,812	0,131	0,764	
34,500	4,883	0,127	0,741	
35,000	4,954	0,123	0,719	
35,500	5,024	0,120	0,697	
36,000	5,095	0,116	0,677	
36,500	5,166	0,113	0,656	
37,000	5,237	0,109	0,637	
37,500	5,308	0,106	0,618	
38,000	5,378	0,103	0,599	
38,500	5,449	0,100	0,581	
39,000	5,520	0,097	0,564	
39,500	5,591	0,094	0,547	
40,000	5,661	0,091	0,531	
<b>40,185</b>	<b>5,688</b>	<b>0,090</b>	<b>0,525</b>	

$$Q_{d2} = Q_p \cdot 0.3^{\left( \frac{t - T_p + 0.5T_{03}}{1.5T_{03}} \right)}$$

Tabel 4.21 Persamaan lengkung turun 3

Waktu (t) (jam)	HSS Unit		Q(t,1) (m³/det)	Keterangan
	X	Y		
40,500	5,732	0,089	0,518	
41,000	5,803	0,087	0,508	
41,500	5,874	0,085	0,495	
42,000	5,944	0,083	0,483	
42,500	6,015	0,081	0,473	
43,000	6,086	0,079	0,462	
43,500	6,157	0,077	0,452	
44,000	6,227	0,076	0,441	
44,500	6,298	0,074	0,432	
45,000	6,369	0,072	0,423	
45,500	6,440	0,071	0,412	
46,000	6,511	0,069	0,403	
46,500	6,581	0,068	0,394	
47,000	6,652	0,066	0,385	
47,500	6,723	0,065	0,377	
48,000	6,794	0,063	0,368	
48,500	6,864	0,062	0,360	
49,000	6,935	0,060	0,352	
49,500	7,006	0,059	0,344	
50,000	7,077	0,058	0,336	
50,500	7,147	0,056	0,329	
51,000	7,218	0,055	0,321	
51,500	7,289	0,054	0,314	
52,000	7,360	0,053	0,307	
52,500	7,431	0,051	0,300	
53,000	7,501	0,050	0,293	
53,500	7,572	0,049	0,287	
54,000	7,643	0,048	0,280	
54,500	7,714	0,047	0,274	
55,000	7,784	0,046	0,268	
55,500	7,855	0,045	0,262	
56,000	7,926	0,044	0,256	
56,500	7,997	0,043	0,250	
57,000	8,067	0,042	0,245	
57,500	8,138	0,041	0,239	
58,000	8,209	0,040	0,234	
58,500	8,280	0,039	0,228	
59,000	8,350	0,038	0,223	
59,500	8,421	0,037	0,218	
60,000	8,492	0,037	0,213	
60,500	8,563	0,036	0,209	
61,000	8,634	0,035	0,204	
61,500	8,704	0,034	0,199	
62,000	8,775	0,033	0,195	
62,500	8,845	0,033	0,190	
63,000	8,917	0,032	0,186	
63,500	8,987	0,031	0,182	
64,000	9,058	0,030	0,178	
64,500	9,129	0,030	0,174	
65,000	9,200	0,029	0,170	
65,500	9,270	0,028	0,166	
66,000	9,341	0,028	0,162	
66,500	9,412	0,027	0,159	
67,000	9,483	0,027	0,155	
67,500	9,554	0,026	0,152	
68,000	9,624	0,025	0,148	
68,500	9,695	0,025	0,145	
69,000	9,766	0,024	0,142	
69,500	9,837	0,024	0,139	
70,000	9,907	0,023	0,135	
70,500	9,978	0,023	0,132	
71,000	10,049	0,022	0,129	
71,500	10,120	0,022	0,127	
72,000	10,190	0,021	0,124	
72,500	10,261	0,021	0,121	
73,000	10,332	0,020	0,118	
73,500	10,403	0,020	0,116	
74,000	10,473	0,019	0,113	
74,500	10,544	0,019	0,110	
75,000	10,615	0,019	0,108	
75,500	10,686	0,018	0,106	
76,000	10,757	0,018	0,103	
76,500	10,827	0,017	0,101	
77,000	10,898	0,017	0,099	
77,500	10,969	0,017	0,096	
78,000	11,040	0,016	0,094	
78,500	11,110	0,016	0,092	
79,000	11,181	0,015	0,090	
79,500	11,252	0,015	0,088	
80,000	11,323	0,015	0,086	
80,500	11,393	0,014	0,084	
81,000	11,464	0,014	0,082	
81,500	11,535	0,014	0,080	
82,000	11,606	0,013	0,078	
82,500	11,677	0,013	0,077	
83,000	11,747	0,013	0,075	
83,500	11,818	0,013	0,073	
84,000	11,889	0,012	0,072	
84,500	11,960	0,012	0,070	
85,000	12,030	0,012	0,069	
85,500	12,101	0,011	0,067	
86,000	12,172	0,011	0,065	
86,500	12,243	0,011	0,064	
87,000	12,313	0,011	0,063	
87,500	12,384	0,010	0,061	
88,000	12,455	0,010	0,060	
88,500	12,526	0,010	0,058	
89,000	12,596	0,010	0,057	
89,500	12,667	0,010	0,056	
90,000	12,738	0,009	0,055	

$$Q_{d1} = Q_p \cdot 0,3^{\left( \frac{t - T_p + 1,5 T_{03}}{2 T_{03}} \right)}$$

(sumber : hasil perhitungan)

2. Menghitung curah hujan efektif di hulu bendung rancasumur.

Setelah menghitung unit hidrograf Nakayasu, selanjutnya dilakukan perhitungan hidrograf banjir periode ulang 2 tahun, 5 tahun, 10 tahun, 25 tahun, 50 tahun dan 100 tahun. Perhitungan hidrograf banjir merupakan pengalian masing – masing unit hidrograf dengan curah hujan efektif. Dalam hal ini digunakan curah hujan maksimum dari metode Log Pearson type III. Distribusi hujan yang terjadi adalah hujan terpusat 5 jam, dengan perhitungan rata-rata hujan sampai jam ke – 5 adalah sebagai berikut :

- $R_{0.5} = \frac{R_{24}}{5} \left(\frac{5}{0.5}\right)^{2/3} = 0,928 R_{0.24}$
- $R_1 = \frac{R_{24}}{5} \left(\frac{5}{1}\right)^{2/3} = 0,585 R_{0.24}$
- $R_{1.5} = \frac{R_{24}}{5} \left(\frac{5}{1.5}\right)^{2/3} = 0,446 R_{0.24}$
- $R_2 = \frac{R_{24}}{5} \left(\frac{5}{2}\right)^{2/3} = 0,368 R_{0.24}$
- $R_{2.5} = \frac{R_{24}}{5} \left(\frac{5}{2.5}\right)^{2/3} = 0,317 R_{0.24}$
- $R_3 = \frac{R_{24}}{5} \left(\frac{5}{3}\right)^{2/3} = 0,281 R_{0.24}$
- $R_{3.5} = \frac{R_{24}}{5} \left(\frac{5}{3.5}\right)^{2/3} = 0,254 R_{0.24}$
- $R_4 = \frac{R_{24}}{5} \left(\frac{5}{4}\right)^{2/3} = 0,232 R_{0.24}$
- $R_{4.5} = \frac{R_{24}}{5} \left(\frac{5}{4.5}\right)^{2/3} = 0,215 R_{0.24}$
- $R_5 = \frac{R_{24}}{5} \left(\frac{5}{5}\right)^{2/3} = 0,200 R_{0.24}$

Perhitungan distribusi hujan pada jam ke – t adalah :

- $R'_{0.5} = 0.5 (0,928 R_{0.24}) = 0,464 R_{0.24}$
- $R'_1 = 1 (R_1) - (0.5R_{0.5}) = 0,121 R_{0.24}$
- $R'_{1.5} = 1.5 (R_{1.5}) - (1R_1) = 0,085 R_{0.24}$
- $R'_2 = 2 (R_2) - (1.5R_{1.5}) = 0,067 R_{0.24}$
- $R'_{2.5} = 2.5 (R_{2.5}) - (2R_2) = 0,057 R_{0.24}$

- $R'_3 = 3(R_3) - (2,5R_{2,5}) = 0,050 R_{0,24}$
- $R'_{3,5} = 3,5(R_{3,5}) - (3R_3) = 0,044 R_{0,24}$
- $R'_4 = 4(R_4) - (3,5R_{3,5}) = 0,040 R_{0,24}$
- $R'_{4,5} = 4,5(R_{4,5}) - (4R_4) = 0,037 R_{0,24}$
- $R'_5 = 5(R_5) - (4,5R_{4,5}) = 0,035 R_{0,24}$

Hasil perhitungan distribusi curah hujan efektif Periode Ulang Hujan (PUH) dapat dilihat pada tabel berikut ini :

Tabel 4.22 Distribusi Curah Hujan Efektif Periode Ulang Hujan 2 tahun

Jam ke -	Rt	RT	C	Periode ulang	=	2
	(mm)	(mm)		R24 maks (mm)		
				RT (mm)		
0,5	0,928	0,464	0,375	15,50		
1	0,585	0,121	0,375	4,03		
1,5	0,446	0,085	0,375	2,83		
2	0,368	0,067	0,375	2,25		
2,5	0,317	0,057	0,375	1,90		
3	0,281	0,050	0,375	1,66		
3,5	0,254	0,044	0,375	1,49		
4	0,232	0,040	0,375	1,35		
4,5	0,215	0,037	0,375	1,24		
5	0,200	0,035	0,375	1,15		

Sumber : hasil perhitungan.

Tabel 4.23 Distribusi Curah Hujan Efektif Periode Ulang Hujan 5 tahun

Jam ke -	Rt	RT	C	Periode ulang	=	5
	(mm)	(mm)		R24 maks (mm)		
				RT (mm)		
0,5	0,928	0,464	0,375	21,91		
1	0,585	0,121	0,375	5,69		
1,5	0,446	0,085	0,375	3,99		
2	0,368	0,067	0,375	3,18		
2,5	0,317	0,057	0,375	2,69		
3	0,281	0,050	0,375	2,35		
3,5	0,254	0,044	0,375	2,10		
4	0,232	0,040	0,375	1,91		
4,5	0,215	0,037	0,375	1,75		
5	0,200	0,035	0,375	1,63		

Sumber : hasil perhitungan.

Tabel 4.24 Distribusi Curah Hujan Efektif Periode Ulang Hujan 10 tahun

Jam ke -	Rt	RT	C	Periode ulang	10
	(mm)	(mm)		R24 maks (mm)	= 151,179
				RT (mm)	
0,5	0,928	0,464	0,375	26,31	
1	0,585	0,121	0,375	6,84	
1,5	0,446	0,085	0,375	4,80	
2	0,368	0,067	0,375	3,82	
2,5	0,317	0,057	0,375	3,23	
3	0,281	0,050	0,375	2,82	
3,5	0,254	0,044	0,375	2,52	
4	0,232	0,040	0,375	2,29	
4,5	0,215	0,037	0,375	2,11	
5	0,200	0,035	0,375	1,96	

Sumber : hasil perhitungan.

Tabel 4.25 Distribusi Curah Hujan Efektif Periode Ulang Hujan 25 tahun

Jam ke -	Rt	RT	C	Periode ulang	25
	(mm)	(mm)		R24 maks (mm)	= 182,510
				RT (mm)	
0,5	0,928	0,464	0,375	31,77	
1	0,585	0,121	0,375	8,26	
1,5	0,446	0,085	0,375	5,79	
2	0,368	0,067	0,375	4,61	
2,5	0,317	0,057	0,375	3,89	
3	0,281	0,050	0,375	3,40	
3,5	0,254	0,044	0,375	3,04	
4	0,232	0,040	0,375	2,77	
4,5	0,215	0,037	0,375	2,54	
5	0,200	0,035	0,375	2,36	

Sumber : hasil perhitungan.

Tabel 4.26 Distribusi Curah Hujan Efektif Periode Ulang Hujan 50 tahun

Jam ke -	Rt	RT	C	Periode ulang	50
	(mm)	(mm)		R24 maks (mm)	= 205,766
				RT (mm)	
0,5	0,928	0,464	0,375	35,82	
1	0,585	0,121	0,375	9,31	
1,5	0,446	0,085	0,375	6,53	
2	0,368	0,067	0,375	5,20	
2,5	0,317	0,057	0,375	4,39	
3	0,281	0,050	0,375	3,84	
3,5	0,254	0,044	0,375	3,43	
4	0,232	0,040	0,375	3,12	
4,5	0,215	0,037	0,375	2,87	
5	0,200	0,035	0,375	2,66	

Sumber : hasil perhitungan.

Tabel 4.27 Distribusi Curah Hujan Efektif Periode Ulang Hujan 100 tahun

Jam ke -	Rt	RT	C	Periode ulang	100	
	(mm)	(mm)		R24 maks (mm)	=	228,871
				RT (mm)		
0,5	0,928	0,464	0,375	39,84		
1	0,585	0,121	0,375	10,35		
1,5	0,446	0,085	0,375	7,26		
2	0,368	0,067	0,375	5,78		
2,5	0,317	0,057	0,375	4,88		
3	0,281	0,050	0,375	4,27		
3,5	0,254	0,044	0,375	3,82		
4	0,232	0,040	0,375	3,47		
4,5	0,215	0,037	0,375	3,19		
5	0,200	0,035	0,375	2,96		

Sumber : hasil perhitungan.

Hasil perhitungan debit banjir dengan Metode Hidrograf Nakayasu Periode Ulang Hujan (PUH) dapat dilihat pada tabel berikut ini :













Tabel 4.34 Rekapitulasi debit banjir rencana hulu bendung rancasumur.

No.	Periode Ulang ( Tahun )	Debit Banjir (m <sup>3</sup> /dt)
1	2	164,328
2	5	232,229
3	10	278,942
4	25	336,752
5	50	379,661
6	100	422,292

(Sumber : hasil perhitungan.)

#### 4.8 Aspek Teknis

Upaya pengurangan debit banjir yang terjadi di sungai Cidurian dilakukan dengan reboisasi pada lahan gundul, pembuatan tampungan berupa situ atau embung serta gabungan pemanenan air hujan dan sumur resapan.

##### 4.8.1. Upaya pengurangan debit banjir dengan metode vegetatif.

Upaya konservasi dengan metode ini adalah dengan menghutangkan kembali daerah yang gundul yaitu pada hutan lahan kering sekunder, hutan tanaman, pertanian lahan kering dan pertanian lahan kering campur. Luas lahan gundul sesuai dengan tabel 4.15. Kegiatan menghutangkan kembali daerah yang gundul disebut dengan reboisasi. Kegiatan reboisasi yang dilakukan di wilayah studi dibagi menjadi 3 zona, yaitu Zona Hulu, Zona Tengah dan Zona Hilir. Pembagian zona reboisasi ini akan mempengaruhi jenis vegetasi yang digunakan.

###### ➤ Zona Hulu.

Pada zona ini, lebih didominasi oleh vegetasi jenis bambu karena di zona ini merupakan daerah potensial kritis dan pada lereng dengan kemiringan > 20%. Pada zona ini, bambu ditanam di sepanjang sempadan sungai Cidurian dan lereng. Bambu dapat tumbuh pada semua jenis tanah. Dalam rangka mengurangi limpasan permukaan, bambu juga dapat menyerap air hingga 90%. Bambu juga ditanam pada lereng 8% - 20%, begitu pula dengan Bringin Putih + Porang. Bambu, Bringin Putih, dan Porang dapat beradaptasi pada lereng dengan kemiringan 55%. Pada zona, ini durian

ditanam pada kemiringan lereng < 8% dengan ketinggian 100 – 500 m dpl. Apabila durian ditanam pada ketinggian diatas 500 m dpl akan menurunkan mutunya. Luasan sebaran vegetasi zona hulu adalah sebagai berikut :

1. Bringin Putih + Porang = 1.928,18 Ha.
2. Bambu = 2.558,31 Ha.
3. Durian = 478,63 Ha.

➤ Zona Tengah.

Pada zona ini didominasi oleh vegetasi jenis bringin putih + porang. bambu ditanam di sepanjang bantaran sungai Cidurian dengan kemiringan < 8% dan (8% - 20%). Sedangkan bringin putih ditanam pada lereng < 8% dan (8% - 20%) tetapi tidak di bantaran sungai. Untuk durian ditanam sedikit di sempadan sungai tetapi dengan kemiringan lereng < 8% dan ketinggian < 500 m dpl. Luasan sebaran vegetasi zona tengah adalah sebagai berikut :

1. Bringin Putih + Porang = 1.900,02 Ha.
2. Bambu = 737,43 Ha.
3. Durian = 700 Ha.

➤ Zona Hilir.

Pada zona ini didominasi oleh vegetasi jenis bringin putih + porang. Untuk penanaman bambu tetap di sepanjang sempadan sungai Cidurian. Durian di zona hilir ditanam paling banyak disbanding dengan zona hulu dan zona tengah karena ketinggian di zona hilir lebih memungkinkan. Luasan sebaran vegetasi zona hilir adalah sebagai berikut :

1. Bringin Putih + Porang = 1.900,02 Ha.
2. Bambu = 737,43 Ha.
3. Durian = 700 Ha.

Penggunaan vegetasi untuk reboisasi di wilayah studi lebih didominasi oleh bringin putih + porang. Pemilihan vegetasi jenis ini karena selain dapat beradaptasi pada kemiringan lereng 0 – 55% dan dapat tumbuh pada semua jenis tanah, dari segi harga juga lebih murah. Peta lokasi sebaran jenis tanaman di wilayah studi terdapat pada Lampiran.

Upaya konservasi dengan metode vegetatif yang dilakukan akan berpengaruh terhadap perubahan nilai koefisien pengaliran. Berikut adalah tabel perhitungan koefisien pengaliran setelah dilakukan reboisasi.

Tabel 4.35 Koefisien pengaliran setelah reboisasi.

No.	Keterangan	Luas (Ha)	C						C	Cx A	
			Topografi			Tanah	Vegetasi				
			Perbukitan (1- 10)%	Perbukitan (10 - 20)%	Perbukitan > 20%		Pertanian	Tanpa tanaman	Hutan		
1	Hutan Lahan Kering Primer (>20%)	1399,11			0,26	0,08			0,04	0,38	531,66
	Hutan Lahan Kering Sekunder (kemiringan 8%-20%)	2261,46		0,16		0,09			0,04	0,29	663,36
2	Lahan Gundul Hutan Lahan Kering Sekunder (kemiringan 8%-20%)	119,10		0,16		0,09			0,04	0,29	34,94
	Hutan Lahan Kering Sekunder (>20%)	197,00			0,26	0,08			0,04	0,38	74,86
	Hutan Tanaman (kemiringan <8%)	1737,84	0,08			0,12			0,04	0,24	417,08
	Lahan Gundul Hutan Tanaman (kemiringan <8%)	210,39	0,08			0,12			0,04	0,24	50,49
3	Hutan Tanaman (kemiringan 8%-20%)	483,58		0,16		0,12			0,04	0,32	154,75
	Lahan Gundul Hutan Tanaman (kemiringan 8%-20%)	51,37		0,16		0,12			0,04	0,32	16,44
	Hutan Tanaman (>20%)	950,83			0,26	0,12			0,04	0,42	399,35
4	Perkebunan (kemiringan <8%)	4101,24	0,08			0,12			0,04	0,24	984,30
	Perkebunan (kemiringan 8%-20%)	240,14		0,16		0,12			0,04	0,32	76,84
5	Pemukiman	1196,55							0,40		478,62
	Pertanian Lahan Kering (kemiringan <8%)	177,92	0,08			0,12			0,04	0,24	42,70
6	Pertanian Lahan Kering (kemiringan <8%)	2.063,85	0,08			0,12			0,04	0,24	495,32
	Pertanian Lahan Kering (kemiringan 8%-20%)	1932,38		0,16		0,12			0,04	0,32	618,36
	Pertanian Lahan Kering (kemiringan 8%-20%)	2.237,34		0,16		0,12			0,04	0,32	715,95
	Pertanian Lahan Kering Campur (kemiringan <8%)	1669,21	0,08			0,12			0,04	0,24	400,61
	Pertanian Lahan Kering Campur (kemiringan <8%)	5.532,64	0,08			0,12			0,04	0,24	1327,83
7	Pertanian Lahan Kering Campur (kemiringan 8%-20%)	1040,71		0,16		0,12			0,04	0,32	333,03
	Pertanian Lahan Kering Campur (kemiringan 8%-20%)	1.563,86		0,16		0,12			0,04	0,32	500,44
	Pertanian Lahan Kering Campur (>20%)	130,23			0,26	0,09			0,04	0,39	51,22
8	Sawah	2978,06	0,08			0,12	0,11		0,31		923,20
	JUMLAH	32274,81									9291,35
	(Cx A)/Luas		0,288								

(Sumber : hasil perhitungan)

Nilai koefisien pengaliran setelah reboisasi adalah sebesar 0,288, dimana sebelum adanya reboisasi adalah 0,375. Perhitungan debit banjir setelah adanya reboisasi adalah sebagai berikut :

a. Karakteristik DAS dan hujan.

- Luas DAS (A) = 322,70 km<sup>2</sup>.
- Panjang sungai utama (L) = 69,20 km.
- Curah hujan effektif ( $R_o$ ) = 1 mm.
- Koefisien karakteristik DAS ( $\alpha$ ) = 3
- Koefisien pengaliran setelah reboisasi = 0,288

b. Parameter Hidrograf satuan sintetis.

- Time Lag ( $T_g$ )

$$L > 15 \text{ km}, T_g = 0,40 + 0,058 L$$

$$T_g = 0,40 + 0,058 (69,20)$$

$$T_g = 4,416 \text{ jam}$$

- Satuan waktu hujan ( $Tr$ )

$$T_r = 0,75 T_g$$

$$T_r = 0,75 (4,416)$$

$$T_r = 3,312 \text{ jam}$$

- Waktu puncak ( $T_p$ )

$$T_p = T_g + 0,8T_r$$

$$T_p = 4,416 + 0,8(3,312)$$

$$T_p = 7,065 \text{ jam}$$

- Waktu penurunan debit puncak 30% ( $T_{0,3}$ )

$$T_{0,3} = \propto T_g$$

$$T_{0,3} = 3 (4,416)$$

$$T_{0,3} = 13,248 \text{ jam}$$

- Debit puncak ( $Q_p$ )

$$Q_p = \frac{(322.7) (1)}{3,6(0,3(7,065) + 13,248)}$$

$$Q_p = 5,834 \text{ R m}^3/\text{dt.}$$

c. Perhitungan hidrograf satuan.

- Persamaan lengkung naik ( $0 \leq t \leq T_p$ )

$$Q_a = Q_p \left( \frac{t}{T_p} \right)^{2.4}$$

- Persamaan lengkung turun 1 ( $T_p \leq t \leq T_p + T_{0,3}$ )

$$Q_{d1} = Q_p 0,3^{\left(\frac{t-T_p}{T_{0,3}}\right)}$$

- Persamaan lengkung turun 2 ( $T_p + T_{0,3} \leq t \leq T_p + 1,5T_{0,3}$ )

$$Q_{d2} = Q_p 0,3^{\left(\frac{t-T_p+0,5T_{0,3}}{1,5T_{0,3}}\right)}$$

- Persamaan lengkung turun 3 ( $t \geq T_p + 1,5T_{0,3}$ )

$$Q_{d3} = Q_p 0,3^{\left(\frac{t-T_p+1,5T_{0,3}}{2T_{0,3}}\right)}$$

Hasil perhitungan hidrograf satuan dapat dilihat pada tabel berikut ini.

Tabel 4.36 Persamaan lengkung naik.

Waktu (t) (jam)	HSS Unit		Q(t,1) (m <sup>3</sup> /det)	Keterangan
	X	Y		
0,000	0,000	0,000	0,000	
0,500	0,071	0,002	0,010	
1,000	0,142	0,009	0,053	
1,500	0,212	0,024	0,141	
2,000	0,283	0,048	0,282	
2,500	0,354	0,083	0,482	
3,000	0,425	0,128	0,747	
3,500	0,495	0,185	1,081	
4,000	0,566	0,255	1,489	
4,500	0,637	0,339	1,976	
5,000	0,708	0,436	2,544	
5,500	0,778	0,548	3,198	
6,000	0,849	0,675	3,941	
6,500	0,920	0,819	4,775	
7,000	0,991	0,978	5,705	
<b>7,065</b>	<b>1,000</b>	<b>1,000</b>	<b>5,834</b>	

$$Q_a = Q_p \left( \frac{t}{T_p} \right)^{2.4}$$

(Sumber : Hasil perhitungan)

Tabel 4.37 Persamaan lengkung turun 1.

Waktu (t) (jam)	HSS Unit		Q(t,1) (m <sup>3</sup> /det)	Keterangan
	X	Y		
7,500	1,062	0,961	5,608	
8,000	1,132	0,919	5,359	
8,500	1,203	0,878	5,121	
9,000	1,274	0,839	4,893	
9,500	1,345	0,802	4,676	
10,000	1,415	0,766	4,468	
10,500	1,486	0,732	4,270	
11,000	1,557	0,699	4,080	
11,500	1,628	0,668	3,899	
12,000	1,698	0,639	3,726	
12,500	1,769	0,610	3,560	
13,000	1,840	0,583	3,402	
13,500	1,911	0,557	3,251	
14,000	1,981	0,532	3,106	
14,500	2,052	0,509	2,968	
15,000	2,123	0,486	2,837	
15,500	2,194	0,465	2,710	
16,000	2,265	0,444	2,590	
16,500	2,335	0,424	2,475	
17,000	2,406	0,405	2,365	
17,500	2,477	0,387	2,260	
18,000	2,548	0,370	2,160	
18,500	2,618	0,354	2,064	
19,000	2,689	0,338	1,972	
19,500	2,760	0,323	1,884	
20,000	2,831	0,309	1,801	
<b>20,313</b>	<b>2,875</b>	<b>0,300</b>	<b>1,750</b>	

$$Q_{dl} = Q_p \cdot 0.3^{\left( \frac{t - T_p}{T_{0.3}} \right)}$$

(Sumber : Hasil perhitungan)

Tabel 4.38 Persamaan lengkung turun 2.

Waktu (t) (jam)	HSS Unit		Q(t,1) (m <sup>3</sup> /det)	Keterangan
	X	Y		
20,500	2,901	0,297	1,730	
21,000	2,972	0,288	1,679	
21,500	3,043	0,279	1,629	
22,000	3,114	0,271	1,580	
22,500	3,185	0,263	1,533	
23,000	3,255	0,255	1,487	
23,500	3,326	0,247	1,443	
24,000	3,397	0,240	1,400	
24,500	3,468	0,233	1,358	
25,000	3,538	0,226	1,318	
25,500	3,609	0,219	1,278	
26,000	3,680	0,213	1,240	
26,500	3,751	0,206	1,203	
27,000	3,821	0,200	1,167	
27,500	3,892	0,194	1,132	
28,000	3,963	0,188	1,099	
28,500	4,034	0,183	1,066	
29,000	4,104	0,177	1,034	
29,500	4,175	0,172	1,003	
30,000	4,246	0,167	0,973	
30,500	4,317	0,162	0,944	
31,000	4,388	0,157	0,916	
31,500	4,458	0,152	0,889	
32,000	4,529	0,148	0,862	
32,500	4,600	0,143	0,836	
33,000	4,671	0,139	0,811	
33,500	4,741	0,135	0,787	
34,000	4,812	0,131	0,764	
34,500	4,883	0,127	0,741	
35,000	4,954	0,123	0,719	

$$Q_{d2} = Q_p \cdot 0,3^{\left( \frac{t-T_p+0,5T_{03}}{1,5T_{03}} \right)}$$

(Sumber : Hasil perhitungan)

Lanjutan Tabel 4.38.

Waktu (t) (jam)	HSS Unit		Q(t,1) (m <sup>3</sup> /det)	Keterangan
	X	Y		
35,000	4,954	0,123	0,719	
35,500	5,024	0,120	0,697	
36,000	5,095	0,116	0,677	
36,500	5,166	0,113	0,656	
37,000	5,237	0,109	0,637	
37,500	5,308	0,106	0,618	
38,000	5,378	0,103	0,599	
38,500	5,449	0,100	0,581	
39,000	5,520	0,097	0,564	
39,500	5,591	0,094	0,547	
40,000	5,661	0,091	0,531	
<b>40,185</b>	5,688	0,090	0,525	

(Sumber : Hasil perhitungan)

Tabel 4.39 Persamaan lengkung turun 3.

Waktu (t) (jam)	HSS Unit		Q(t,1) (m <sup>3</sup> /det)	Keterangan
	X	Y		
40,500	5,732	0,089	0,518	
41,000	5,803	0,087	0,506	
41,500	5,874	0,085	0,495	
42,000	5,944	0,083	0,483	
42,500	6,015	0,081	0,473	
43,000	6,086	0,079	0,462	
43,500	6,157	0,077	0,452	
44,000	6,227	0,076	0,441	
44,500	6,298	0,074	0,432	
45,000	6,369	0,072	0,422	
45,500	6,440	0,071	0,412	
46,000	6,511	0,069	0,403	
46,500	6,581	0,068	0,394	
47,000	6,652	0,066	0,385	
47,500	6,723	0,065	0,377	
48,000	6,794	0,063	0,368	
48,500	6,864	0,062	0,360	
49,000	6,935	0,060	0,352	
49,500	7,006	0,059	0,344	
50,000	7,077	0,058	0,336	
50,500	7,147	0,056	0,329	
51,000	7,218	0,055	0,321	
51,500	7,289	0,054	0,314	
52,000	7,360	0,053	0,307	
52,500	7,431	0,051	0,300	
53,000	7,501	0,050	0,293	
53,500	7,572	0,049	0,287	
54,000	7,643	0,048	0,280	
54,500	7,714	0,047	0,274	
55,000	7,784	0,046	0,268	
55,500	7,855	0,045	0,262	
56,000	7,926	0,044	0,256	
56,500	7,997	0,043	0,250	
57,000	8,067	0,042	0,245	
57,500	8,138	0,041	0,239	
58,000	8,209	0,040	0,234	
58,500	8,280	0,039	0,228	
59,000	8,350	0,038	0,223	
59,500	8,421	0,037	0,218	
60,000	8,492	0,037	0,213	

$$Q_{d3} = Q_p \cdot 0,3^{\left( \frac{t - T_p + 1,5 T_{03}}{2 T_{03}} \right)}$$

(Sumber : Hasil perhitungan)

Lanjutan Tabel 4.39

Waktu (t) (jam)	HSS Unit		Q(t,1) (m <sup>3</sup> /det)	Keterangan
	X	Y		
60,500	8,563	0,036	0,209	
61,000	8,634	0,035	0,204	
61,500	8,704	0,034	0,199	
62,000	8,775	0,033	0,195	
62,500	8,846	0,033	0,190	
63,000	8,917	0,032	0,186	
63,500	8,987	0,031	0,182	
64,000	9,058	0,030	0,178	
64,500	9,129	0,030	0,174	
65,000	9,200	0,029	0,170	
65,500	9,270	0,028	0,166	
66,000	9,341	0,028	0,162	
66,500	9,412	0,027	0,159	
67,000	9,483	0,027	0,155	
67,500	9,554	0,026	0,152	
68,000	9,624	0,025	0,148	
68,500	9,695	0,025	0,145	
69,000	9,766	0,024	0,142	
69,500	9,837	0,024	0,139	
70,000	9,907	0,023	0,135	
70,500	9,978	0,023	0,132	
71,000	10,049	0,022	0,129	
71,500	10,120	0,022	0,127	
72,000	10,190	0,021	0,124	
72,500	10,261	0,021	0,121	
73,000	10,332	0,020	0,118	
73,500	10,403	0,020	0,116	
74,000	10,473	0,019	0,113	
74,500	10,544	0,019	0,110	
75,000	10,615	0,019	0,108	
75,500	10,686	0,018	0,106	
76,000	10,757	0,018	0,103	
76,500	10,827	0,017	0,101	
77,000	10,898	0,017	0,099	
77,500	10,969	0,017	0,096	
78,000	11,040	0,016	0,094	
78,500	11,110	0,016	0,092	
79,000	11,181	0,015	0,090	
79,500	11,252	0,015	0,088	
80,000	11,323	0,015	0,086	
80,500	11,393	0,014	0,084	
81,000	11,464	0,014	0,082	
81,500	11,535	0,014	0,080	
82,000	11,606	0,013	0,079	
82,500	11,677	0,013	0,077	
83,000	11,747	0,013	0,075	
83,500	11,818	0,013	0,073	
84,000	11,889	0,012	0,072	
84,500	11,960	0,012	0,070	
85,000	12,030	0,012	0,069	
85,500	12,101	0,011	0,067	
86,000	12,172	0,011	0,065	
86,500	12,243	0,011	0,064	
87,000	12,313	0,011	0,063	
87,500	12,384	0,010	0,061	
88,000	12,455	0,010	0,060	
88,500	12,526	0,010	0,058	
89,000	12,596	0,010	0,057	
89,500	12,667	0,010	0,056	
90,000	12,738	0,009	0,055	

$$Q_{d3} = Q_p \cdot 0,3 \left( \frac{t - T_p + 1,5T_{0,3}}{2T_{0,3}} \right)$$

(Sumber : Hasil perhitungan)













Tabel 4.46 Rekapitulasi debit banjir setelah reboisasi.

No.	Periode Ulang (Tahun)	Debit Banjir (m <sup>3</sup> /dt)
1	2	126,204
2	5	178,352
3	10	214,227
4	25	258,625
5	50	291,580
6	100	324,320

(Sumber : Hasil perhitungan)

Tabel 4.47 Rekapitulasi debit banjir sebelum dan setelah reboisasi.

No.	Periode Ulang (Tahun)	Debit Banjir sebelum reboisasi (m <sup>3</sup> /dt)	Debit Banjir sesudah reboisasi (m <sup>3</sup> /dt)
1.	2	164,328	126,204
2.	5	232,226	178,352
3.	10	278,942	214,227
4.	25	336,752	258,625
5.	50	379,661	291,580
6.	100	422,292	324,320

(Sumber : Hasil perhitungan)

Dengan adanya upaya konservasi vegetatif (reboisasi) di wilayah studi, prosentase pengurangan debit banjir sebesar 23,3%.

#### **4.8.2. Upaya pengurangan debit banjir dengan pembuatan embung/situ (Alternatif 1).**

Berdasarkan kondisi dilapangan saat ini, wilayah Kabupaten Serang dan Tangerang mengalami banjir apabila debit di bendung rancasumur mulai 150 m<sup>3</sup>/dt. Dari hasil pengurangan debit banjir dengan metode vegetatif diatas, maka perlu adanya analisa kebutuhan tumpungan untuk mengurangi debit banjir tersebut. Dalam hal ini, periode ulang yang dipakai adalah periode ulang 5 tahun yaitu 178,352 m<sup>3</sup>/dt. Untuk memperhitungkan kebutuhan tumpungan digunakan metode penelusuran banjir (*Flood Routing*) melalui

waduk dengan bangunan pelimpah. Tampungan yang diperlukan akan diterapkan dengan pembuatan embung/situ yang letaknya tersebar di DAS wilayah studi (hulu bendung rancasumur). Upaya pengurangan debit banjir ini disebut dengan konservasi metode Mekanis. Disamping sebagai pengendali banjir embung/situ juga berfungsi sebagai tempat resapan yang akan mempertinggi kadungan air tanah (subagyono et.al, 2004). Berikut adalah hasil perhitungan kebutuhan tampungan dengan penelusuran banjir (*flood routing*) dengan debit periode ulang 5 tahun (Q5). Dicoba dengan luas tampungan adalah  $1,172,000 \text{ m}^2 \approx 117,20 \text{ Ha}$ , lebar pelimpah 40 m . Penentuan kedalaman tampungan berdasarkan tinggi maksimal muka air di atas ambang pelimpah.

Tabel 4.48 Hubungan antara debit keluar (Q5) dengan tampungan.

Elevasi <i>m</i>	H <i>m</i>	S <i>m</i> <sup>3</sup>	S/ $\Delta t$ <i>m</i> <sup>3</sup> / <i>dt</i>	Q2 <i>m</i> <sup>3</sup> / <i>dt</i>	S2 <i>m</i> <sup>3</sup> / <i>dt</i>	S1 <i>m</i> <sup>3</sup> / <i>dt</i>
1,00	0,00	0	0	0	0,000	0,000
1,20	0,20	234400	130	6,118	133,281	127,163
1,40	0,40	468800	260	17,304	269,096	251,792
1,60	0,60	703200	391	31,789	406,561	374,772
1,80	0,80	937600	521	48,943	545,360	496,417
2,00	1,00	1172000	651	68,400	685,311	616,911
2,20	1,20	1406400	781	89,914	826,290	736,376
2,40	1,40	1640800	912	113,305	968,208	854,903
2,60	1,60	1875200	1042	138,432	1110,994	972,562
2,80	1,80	2109600	1172	165,183	1254,591	1089,409

(Sumber : hasil perhitungan)

Keterangan :

S : Volume tampungan (H x luas)

H : Kedalaman air diatas ambang pelimpah.

Q2: Debit sesudah ada tampungan,  $Q2 = 1.71 \times B \times H^{(3/2)} (\text{m}^3/\text{dt})$ .

Q1: Debit sebelum ada tampungan ( $\text{m}^3/\text{dt}$ ).

$\Delta t$  : Interval waktu (diambil 30 menit).

S1 :  $S/\Delta t - Q$

S2 :  $Q + S1$

Tabel 4.49 Perhitungan debit keluar (*outflow*) Q5 dari tampungan.

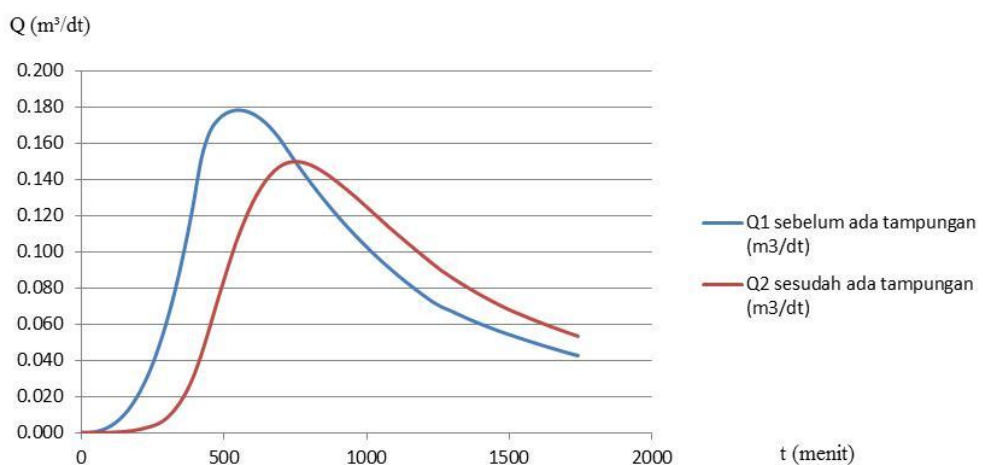
T (menit)	Q1 ( $m^3/dt$ )	I (rata-rata) ( $m^3/dt$ )	S1 ( $m^3/dt$ )	S2 ( $m^3/dt$ )	H (m)	Q2 ( $m^3/dt$ )
0	0,000					0,000
30	0,170	0,085	0,000	0,085	0,001	0,004
60	0,944	0,557	0,081	0,638	0,006	0,029
90	2,645	1,794	0,609	2,403	0,014	0,110
120	5,555	4,100	2,293	6,393	0,026	0,293
150	9,929	7,742	6,099	13,841	0,044	0,635
180	16,009	12,969	13,206	26,175	0,068	1,202
210	24,023	20,016	24,974	44,990	0,097	2,065
240	34,188	29,106	42,925	72,031	0,133	3,306
270	46,716	40,452	68,724	109,176	0,175	5,011
300	61,809	54,262	104,165	158,427	0,243	8,189
330	79,653	70,731	150,238	220,969	0,336	13,340
360	100,404	90,029	207,629	297,658	0,445	20,314
390	124,200	112,302	277,344	389,646	0,577	30,007
420	151,169	137,684	359,639	497,324	0,734	43,006
450	166,314	158,741	454,317	613,059	0,900	58,355
480	173,274	169,794	554,704	724,498	1,057	74,380
510	176,874	175,074	650,118	825,192	1,199	89,746
540	178,352	177,613	735,445	913,058	1,324	104,215
570	178,135	178,244	808,843	987,087	1,427	116,627
600	176,450	177,293	870,460	1047,752	1,513	127,303
630	173,428	174,939	920,450	1095,389	1,579	135,686
660	169,139	171,283	959,703	1130,986	1,629	142,156
690	163,617	166,378	988,830	1155,208	1,663	146,669
720	156,872	160,244	1008,539	1168,784	1,682	149,198
750	149,944	153,408	1019,586	1172,994	1,688	149,982
780	143,283	146,614	1023,012	1169,626	1,683	149,355
810	136,918	140,101	1020,272	1160,372	1,670	147,631
840	130,836	133,877	1012,742	1146,619	1,651	145,068
870	125,024	127,930	1001,550	1129,480	1,626	141,876
900	119,470	122,247	987,604	1109,851	1,598	138,231
930	114,162	116,816	971,620	1088,436	1,569	134,462
960	109,091	111,627	953,974	1065,600	1,538	130,444
990	104,245	106,668	935,157	1041,825	1,505	126,260
1020	99,614	101,929	915,565	1017,494	1,471	121,978
1050	95,188	97,401	895,516	992,917	1,436	117,653
1080	90,960	93,074	875,264	968,338	1,400	113,328
1110	86,919	88,939	855,011	943,950	1,367	109,307
1140	83,058	84,988	834,643	919,632	1,333	105,299
1170	79,368	81,213	814,333	895,546	1,300	101,329
1200	75,842	77,605	794,218	871,823	1,266	97,419
1230	72,473	74,158	774,404	848,562	1,232	93,585
1260	69,749	71,111	754,977	826,088	1,200	89,881
1290	67,756	68,753	736,207	804,960	1,171	86,659
1320	65,515	66,636	718,301	784,937	1,143	83,603

(Sumber : hasil perhitungan)

Lanjutan Tabel 4.49

T (menit)	Q1 (m <sup>3</sup> /dt)	Q1 (rata-rata) (m <sup>3</sup> /dt)	S1 (m <sup>3</sup> /dt)	S2 (m <sup>3</sup> /dt)	H (m)	Q2 (m <sup>3</sup> /dt)
1350	63,377	64,446	701,333	765,779	1,116	80,680
1380	61,348	62,363	685,099	747,462	1,090	77,885
1410	59,424	60,386	669,578	729,964	1,065	75,214
1440	57,598	58,511	654,750	713,261	1,041	72,665
1470	55,863	56,731	640,595	697,326	1,018	70,234
1500	54,214	55,039	627,093	682,131	0,996	67,958
1530	52,644	53,429	614,173	667,603	0,976	65,938
1560	51,114	51,879	601,665	653,544	0,956	63,983
1590	49,589	50,351	589,560	639,912	0,937	62,088
1620	48,109	48,849	577,823	626,672	0,919	60,248
1650	46,674	47,391	566,425	613,816	0,901	58,460
1680	45,281	45,977	555,356	601,333	0,883	56,725
1710	43,930	44,605	544,608	589,214	0,865	55,040
1740	42,619	43,274	534,174	577,448	0,848	53,404

(Sumber : hasil perhitungan)



Gambar 4.13 Hasil pengurangan debit banjir dengan reboisasi dan tampungan.

Hasil penelusuran banjir tersebut menunjukkan bahwa dengan tampungan sebesar 1.978.106,22 m<sup>3</sup> dapat mereduksi debit banjir periode ulang 5 tahun (Q5) 178,352 m<sup>3</sup>/dt menjadi 149,982 m<sup>3</sup>/dt. Apabila volume tampungan tersebut dijadikan embung yang letaknya tersebar di wilayah studi, maka :

- Asumsi luas 1 embung : 3 Ha
- Kedalaman embung : 5 m
- Volume embung : 150.000 m<sup>3</sup>

- Jadi kebutuhan embung :  $1.978.106,22 \text{ m}^3 / 150,000 \text{ m}^3$   
 $: 13,187 \approx 13 \text{ embung}$

Lokasi penempatan situ/embung terdapat pada lampiran.

Tabel 4.50 Rekapitulasi pengurangan debit banjir dengan tumpungan.

No.	Debit setelah reboisasi. Q5 ( $\text{m}^3/\text{dt}$ )	Debit sesudah direduksi dengan tumpungan. ( $\text{m}^3/\text{dt}$ )	Volume tumpungan yang diperlukan. ( $\text{m}^3$ )
1.	178,352	149.982	$1.978.106,22 \text{ m}^3$ (13 embung)

(Sumber : hasil perhitungan)

#### 4.8.3. Upaya pengurangan debit banjir dengan Gabungan Pemanenan Air Hujan (PAH) dan Sumur Resapan (Alternatif 2).

Penerapan Pemanenan Air Hujan (PAH) adalah pada daerah permukiman. Permukiman di daerah aliran sungai pada wilayah studi didominasi oleh perkampungan. Dalam pelaksanaannya, Pemanenan Air Hujan (PAH) adalah menggunakan tandon pengumpul air hujan yang diletakkan di setiap rumah. Metode ini selain untuk mengurangi limpasan permukaan juga dapat dijadikan sebagai cadangan air bersih bagi masyarakat.

PUH 5 tahun, R = 125,86 mm.

- Jumlah penduduk = 88.280 jiwa
- Asumsi luas area tangkapan =  $100 \text{ m}^2$ . (  $10\text{m} \times 10\text{m}$  atap rumah )
- Jumlah rumah =  $88.280 \text{ jiwa} / 5(\text{tiap KK } 5 \text{ orang})$   
 $= 17.656 \text{ rumah}$
- Koefisien run off ( C ) = 95% (asumsi 95% air hujan yang dapat ditampung dan 5% hilang karena evaporasi dan kebocoran).

Air dari atap masuk ke tandon (*reservoir*) dan sisanya masuk ke sumur resapan:

- n : 0,012 (koefisien manning)
- L : 6,40 m
- S : 0,40 (kemiringan atap)
- Ls : 20 m (panjang lintasan aliran)

- $V$  : 1 m/dt (kecepatan aliran di talang).
- $K$  :  $1,388 \times 10^{-5}$  m/dt. (koefisien permeabilitas).
- Kedalaman muka air tanah = 3,90 m

Debit air yang berasal dari atap rumah :

- $t_o = \left[ \frac{2}{3} \times 3,288 \times 6,40 \times \frac{0,012}{\sqrt{0,40}} \right] = 0,27$  jam.
- $t_d = \frac{20}{60 \times 1} = 0,33$  jam
- $t_c = 0,27 + 0,33 = 0,60$  jam.
- $I = \frac{125,86}{24} \left( \frac{24}{0,60} \right)^{2/3}$   
 $= 61,40$  mm/jam
- $Q = 0,002778 \times 0,95 \times 61,40 \times (100/10000)$   
 $= 0,0016$  m<sup>3</sup>/dt.  
 $= 23,33$  m<sup>3</sup>/hari. (hujan paling lama 4 jam/hari).
- Potensi pengurangan banjir dengan Gabungan Pemanenan Air Hujan dan Sumur Resapan =  $0,0016$  m<sup>3</sup>/dt  $\times 17.656$  (jumlah rumah).  
 $= 28,61$  m<sup>3</sup>/dt  $\approx 16\%$ .

Tabel 4.51 Rekapitulasi pengurangan debit banjir dengan Gabungan Pemanenan Air Hujan dan Sumur Resapan.

No.	Debit setelah reboisasi. Q5 (m <sup>3</sup> /dt)	Debit sesudah direduksi dengan PAH dan Sumur Resapan. (m <sup>3</sup> /dt)
1.	178,352	149,740

(Sumber : hasil perhitungan)

Berdasarkan analisa perhitungan diatas, pengurangan debit dengan menggunakan gabungan Pemanenan Air Hujan dan Sumur Resapan dapat mengurangi debit banjir sebesar 16%.

Air yang berasal dari atap ditampung terlebih dahulu ke tandon, direncanakan menggunakan tandon 2m<sup>3</sup>. Jadi debit yang dipanen tiap rumah adalah 2m<sup>3</sup>/hari.

Perencanaan Sumur Resapan :

Debit yang masuk ke dalam sumur resapan :

$$23,336 \text{ m}^3/\text{hari} - 2\text{m}^3/\text{hari} = 21,336 \text{ m}^3/\text{hari} \approx 0,0015 \text{ m}^3/\text{dt.}$$

Direncanakan sumur resapan :

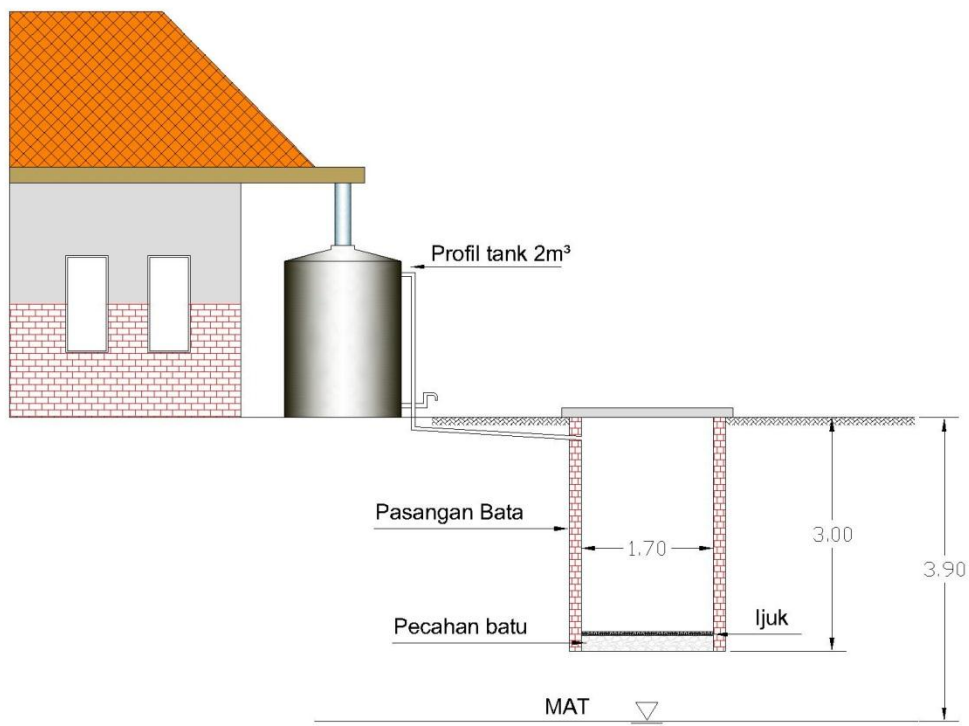
Diameter : 1,70 m

$$\begin{aligned} F &= 5,5 R \\ &= 5,5 \times 0,50 \\ &= 2,750 \text{ m} \end{aligned}$$

Maka kedalaman sumur resapan adalah

$$\begin{aligned} H &= \frac{Q}{F \times K} \left( 1 - e^{-FKT} \right) \\ H &= \frac{0,0015}{2,750 \times 1,388 \times 10^{-5}} \left( 1 - e^{-\frac{2,750 \times 1,388 \times 10^{-5} \times 2156,37}{\pi \times 0,85^2}} \right) \end{aligned}$$

$$H = 3,023 \text{ m} \approx 3,00 \text{ m.}$$



Gambar 4.14 Desain Pemanenan Air Hujan dan Sumur Resapan (SNI 06-2405-1991).

## **4.9 Aspek Lingkungan.**

### **4.9.1. Vegetasi.**

Dalam kajian ini membahas besarnya volume simpanan air tanah akibat adanya penanaman pohon sebagai kegiatan reboisasi. Hal ini akan sangat berguna pada musim kemarau karena jumlah air yang lebih sedikit dibanding musim hujan. Volume air dipengaruhi oleh jenis vegetasi dan jenis tanah. Menurut hasil penelitian British Columbia, Ministry of Agriculture food and Fisheries (2002), suatu vegetasi memiliki simpanan lengas tanah (SWS).

Untuk menghitung nilai kelengasan tanah digunakan persamaan :

$$SWS = RD \times AWSC$$

Dimana :

SWS = simpanan lengas tanah (mm).

RD = kedalaman efektif perakaran tanaman (m).

AWSC = kapasitas simpanan air tersedia.

Besarnya kapasitas simpanan air tersedia dipengaruhi oleh jenis tanah. Di wilayah studi jenis tanahnya adalah jenis tanah lempung berpasir, kapasitas simpanan air tersedia adalah 125 mm.

Tabel 4.52 Simpanan Lengas Tanah (mm/bulan)

No.	Jenis Vegetasi	Kedalaman Akar Efektif (m)	Kapasitas Simpanan Tersedia (mm/m)	Simpanan Lengas Tanah (mm)
1.	Durian	1,50	125	187,50
2.	Porang	0,60	125	75,00
3.	Beringin	1,50	125	187,50
4.	Bambu	2,00	125	250,00
5.	Gaharu	1,70	125	212,50

Dari nilai simpanan lengas tanah, dapat dihitung berapa besar volume air yang tersedia berdasarkan jenis vegetasi. Berikut ini adalah perhitungan volume air yang tersimpan untuk tiap jenis vegetasi per zona:

- Zona Hulu.

1. Bringin Putih + Porang = 1928,18 Ha.  
 Jumlah bulan kering = 5 bulan  
 Rata-rata simpanan lengas tanah = 131,250 mm

$$\text{Luas Lahan} = \frac{\text{Volume air yang tersimpan}}{\text{Total simpanan lengas tanah} \times \text{jumlah bulan kering}}$$

$$\begin{aligned}\text{Volume air yang tersimpan} &= 19281800 \times 0,13125 \times 5 \\ &= 12.653.681,25 \text{ m}^3/\text{tahun.} \\ &= 1.054.473,44 \text{ m}^3/\text{bulan.}\end{aligned}$$

2. Bambu = 2558,31 Ha.  
 Jumlah bulan kering = 5 bulan  
 Simpanan lengas tanah = 250,00 mm

$$\text{Luas Lahan} = \frac{\text{Volume air yang tersimpan}}{\text{Total simpanan lengas tanah} \times \text{jumlah bulan kering}}$$

$$\begin{aligned}\text{Volume air yang tersimpan} &= 25583100 \times 0,25 \times 5 \\ &= 31.978.875 \text{ m}^3/\text{tahun.} \\ &= 2.664.906,25 \text{ m}^3/\text{bulan.}\end{aligned}$$

3. Durian = 478 Ha.  
 Jumlah bulan kering = 5 bulan  
 Simpanan lengas tanah = 187,500 mm

$$\text{Luas Lahan} = \frac{\text{Volume air yang tersimpan}}{\text{Total simpanan lengas tanah} \times \text{jumlah bulan kering}}$$

$$\begin{aligned}\text{Volume air yang tersimpan} &= 4780000 \times 0,187 \times 5 \\ &= 4.487.156,25 \text{ m}^3/\text{tahun.} \\ &= 373.929,69 \text{ m}^3/\text{bulan.}\end{aligned}$$

Volume total air yang tersimpan di zona hulu adalah sebesar 49.119.712,50 m<sup>3</sup>/tahun.

- Zona Tengah.

1. Bringin Putih + Porang = 1780,92 Ha.  
Jumlah bulan kering = 5 bulan  
Rata-rata simpanan lengas tanah = 131,250 mm

$$\text{Luas Lahan} = \frac{\text{Volume air yang tersimpan}}{\text{Total simpanan lengas tanah} \times \text{jumlah bulan kering}}$$

$$\begin{aligned}\text{Volume air yang tersimpan} &= 17809200 \times 0,13125 \times 5 \\ &= 11.687.287,50 \text{ m}^3/\text{tahun.} \\ &= 973.940,63 \text{ m}^3/\text{bulan.}\end{aligned}$$

2. Bambu = 737,43 Ha.  
Jumlah bulan kering = 5 bulan  
Simpanan lengas tanah = 250,00 mm

$$\text{Luas Lahan} = \frac{\text{Volume air yang tersimpan}}{\text{Total simpanan lengas tanah} \times \text{jumlah bulan kering}}$$

$$\begin{aligned}\text{Volume air yang tersimpan} &= 7374300 \times 0,25 \times 5 \\ &= 9.217.875 \text{ m}^3/\text{tahun.} \\ &= 768.156,25 \text{ m}^3/\text{bulan.}\end{aligned}$$

3. Durian = 700 Ha.  
Jumlah bulan kering = 5 bulan  
Simpanan lengas tanah = 187,500 mm

$$\text{Luas Lahan} = \frac{\text{Volume air yang tersimpan}}{\text{Total simpanan lengas tanah} \times \text{jumlah bulan kering}}$$

$$\begin{aligned}
 \text{Volume air yang tersimpan} &= 7000000 \times 0,187 \times 5 \\
 &= 6.562.500 \text{ m}^3/\text{tahun.} \\
 &= 546.875 \text{ m}^3/\text{bulan.}
 \end{aligned}$$

Volume total air yang tersimpan di zona tengah adalah sebesar 27.467.662,50 m<sup>3</sup>/tahun.

- Zona Hilir.

$$\begin{aligned}
 1. \text{ Bringin Putih + Porang} &= 1266,99 \text{ Ha.} \\
 \text{Jumlah bulan kering} &= 5 \text{ bulan} \\
 \text{Rata-rata simpanan lengas tanah} &= 131,250 \text{ mm}
 \end{aligned}$$

$$\text{Luas Lahan} = \frac{\text{Volume air yang tersimpan}}{\text{Total simpanan lengas tanah} \times \text{jumlah bulan kering}}$$

$$\begin{aligned}
 \text{Volume air yang tersimpan} &= 12669900 \times 0,13125 \times 5 \\
 &= 8.314.621,88 \text{ m}^3/\text{tahun.} \\
 &= 692.885,16 \text{ m}^3/\text{bulan.}
 \end{aligned}$$

$$\begin{aligned}
 2. \text{ Bambu} &= 841,27 \text{ Ha.} \\
 \text{Jumlah bulan kering} &= 5 \text{ bulan} \\
 \text{Simpanan lengas tanah} &= 250,00 \text{ mm}
 \end{aligned}$$

$$\text{Luas Lahan} = \frac{\text{Volume air yang tersimpan}}{\text{Total simpanan lengas tanah} \times \text{jumlah bulan kering}}$$

$$\begin{aligned}
 \text{Volume air yang tersimpan} &= 8412700 \times 0,25 \times 5 \\
 &= 10.515.875 \text{ m}^3/\text{tahun.} \\
 &= 876.322,92 \text{ m}^3/\text{bulan.}
 \end{aligned}$$

$$\begin{aligned}
 3. \text{ Durian} &= 1.105,96 \text{ Ha.} \\
 \text{Jumlah bulan kering} &= 5 \text{ bulan} \\
 \text{Simpanan lengas tanah} &= 187,500 \text{ mm}
 \end{aligned}$$

$$\text{Luas Lahan} = \frac{\text{Volume air yang tersimpan}}{\text{Total simpanan lengas tanah} \times \text{jumlah bulan kering}}$$

$$\begin{aligned}\text{Volume air yang tersimpan} &= 11059600 \times 0,187 \times 5 \\ &= 10.368.375 \text{ m}^3/\text{tahun.} \\ &= 864.031,25 \text{ m}^3/\text{bulan.}\end{aligned}$$

Volume total air yang tersimpan di zona hilir adalah sebesar 29.198.871,88 m<sup>3</sup>/tahun.

#### **4.9.2. Penambahan muka air tanah dengan adanya pembuatan Situ/Embung maupun Sumur Resapan.**

Selain untuk mengurangi limpasan permukaan (*run off*), pembuatan situ/embung maupun sumur resapan merupakan kegiatan *recharge* air tanah. Penempatan situ/embung ini berdasarkan kondisi topografi lahan di DAS wilayah studi. Sedangkan sumur resapan ditempatkan pada tiap-tiap rumah yang ada di DAS wilayah studi. Kegiatan *recharge* air tanah akan sangat berdampak pada kondisi permukaan air tanah. Kondisi permukaan air tanah suatu daerah sangat dipengaruhi oleh aktifitas manusia. Salah satunya adalah pengambilan air tanah untuk pemenuhan kebutuhan air bersih terutama pada musim kemarau. Oleh karena itu pembuatan situ/embung maupun sumur resapan di wilayah studi sangat mempengaruhi kondisi permukaan air tanah dibandingkan tanpa adanya situ/embung maupun sumur resapan. Dengan adanya pembuatan situ/embung dan sumur resapan, maka terjadi kenaikan muka air tanah dibandingkan dengan tanpa situ/embung dan sumur resapan. Dengan adanya peresapan buatan sebesar 164 m<sup>3</sup>/tahun pada tahun 2009, dapat memulihkan kondisi air tanah di daerah Bandung pada tahun 2013, terutama pada zona Kritis dan zona Rusak (Hutasoit, 2009). Peresapan buatan ini dapat berupa reservoir permukaan, sumur resapan dan parit resapan. Jadi pembuatan situ/embung maupun sumur resapan sangat berpengaruh positif terhadap lingkungan dalam hal pemulihan kondisi air tanah.

Penempatan situ/embung yang tepat juga akan dapat mengurangi daya rusak air karena adanya pengurangan debit banjir. Daya rusak air ini

dapat mengakibatkan adanya erosi dan kerusakan sarana dan prasarana sumber daya air seperti pondasi jembatan, bendung, pintu air, tanggul sungai dan lain-lain.

#### **4.10 Aspek Ekonomi.**

Analisa yang dilakukan adalah membandingkan antara biaya konservasi dengan manfaat yang didapat dari berkurangnya banjir. Besarnya biaya yang dihitung meliputi biaya pembelian dan penanaman bibit tanaman, biaya pembuatan embung serta biaya pembuatan gabungan pemanenan air hujan dan sumur resapan. Jenis tanaman yang digunakan untuk konservasi adalah jenis tanaman yang berfungsi sebagai konservasi dan memiliki nilai ekonomi. Jenis tanaman yang dimaksud adalah durian, bambu, porang dan bringin putih.

##### a) Biaya (*cost*)

Perhitungan biaya konservasi dibedakan menurut metode vegetatif dan metode Mekanis.

- Biaya konservasi metode vegetatif.

Tabel 4.53 Analisa Biaya Tanam Pohon Durian per Hektar.

No	Uraian	Satuan	Jumlah	Harga sat.	Harga Total
<b>BIAYA INPUT</b>					
1.	Bibit Durian				
	- Penanaman	Bibit	100	Rp. 150.000,00	Rp. 15.000.000,00
	- Penyulaman (pada tahun ke 2)	Bibit	20	Rp. 150.000,00	Rp. 3.000.000,00
2.	Pupuk Kandang (tahun ke 1 s/d ke 4)	kg	10000	Rp. 500,00	Rp. 5.000.000,00
3.	Pupuk Urea (tahun ke 1 s/d ke 4)	kg	304	Rp. 2.000,00	Rp. 608.000,00
4.	Pupuk TSP (tahun ke 1 s/d ke 4)	kg	152	Rp. 2.000,00	Rp. 304.000,00
5.	Pupuk KCl (tahun ke 1 s/d ke 4)	kg	152	Rp. 2.200,00	Rp. 334.400,00
6.	Obat pengendalian				
	- Hama (pestisida) (tahun ke 1 s/d ke 4)	Liter	8	Rp. 75.000,00	Rp. 600.000,00
	- Jamur (fungisida) (tahun ke 1 s/d ke 4)	Liter	8	Rp. 75.000,00	Rp. 600.000,00
	- Rumput (herbisida) (tahun ke 1 s/d ke 4)	Liter	8	Rp. 75.000,00	Rp. 600.000,00
<b>BIAYA TENAGA KERJA</b>					
1.	Persiapan lahan	HOK	60	Rp. 50.000,00	Rp. 3.000.000,00
2.	Pembuatan Lubang Tanam	HOK	60	Rp. 50.000,00	Rp. 3.000.000,00
3.	Penanaman bibit	HOK	12	Rp. 50.000,00	Rp. 600.000,00
4.	Penyulaman (pada tahun ke 2)	HOK	3	Rp. 50.000,00	Rp. 150.000,00
4.	Pemupukan (tahun ke 1 s/d ke 4)	HOK	24	Rp. 50.000,00	Rp. 1.200.000,00
5.	Pengendalian hama penyakit (tahun ke 1 s/d ke 4)	HOK	4	Rp. 50.000,00	Rp. 200.000,00
<b>JUMLAH</b>				Rp.	34.196.400,00

(Sumber : sulismono, 2016)

Tabel 4.54 Analisa Biaya Tanam Bambu per Hektar.

No	Uraian	Satuan	Jumlah	Harga sat.	Harga Total
<b>BIAYA INPUT</b>					
1.	Penanaman	Batang	156	Rp. 10500	Rp. 1.638.000,00
2.	Pupuk Urea	kg	40	Rp. 2000	Rp. 80.000,00
3.	Pupuk TSP	kg	40	Rp. 2000	Rp. 80.000,00
<b>BIAYA TENAGA KERJA</b>					
1.	Persiapan lahan	HOK	60	Rp. 50000	Rp. 3.000.000,00
3.	Penanaman bibit	HOK	12	Rp. 50000	Rp. 600.000,00
<b>JUMLAH</b>				Rp.	5.398.000,00

(Sumber : sutiyono, 2014)

Tabel 4.55 Analisa Biaya Tanam Bringin Putih per Hektar.

No	Uraian	Satuan	Harga sat.	Harga Total
<b>BIAYA INPUT</b>				
1.	Penanaman Bibit	Batang	400	Rp. 1500
2.	Pupuk Urea	kg	40	Rp. 2000
3.	Pupuk TSP	kg	40	Rp. 2000
<b>BIAYA TENAGA KERJA</b>				
1.	Persiapan lahan	HOK	34,8	Rp. 50000
3.	Penanaman bibit	HOK	20,1	Rp. 50000
<b>JUMLAH</b>				3.505.000,00

(Sumber : sutiyono, 2014)

Tabel 4.56 Analisa Biaya Tanam Porang per Hektar.

No	Uraian	Satuan	Harga sat.	Harga Total
<b>BIAYA INPUT</b>				
1.	Penanaman Bibit	Biji	2000	Rp. 500
2.	Pupuk Urea	kg	20	Rp. 2000
3.	Pupuk TSP	kg	20	Rp. 2000
<b>BIAYA TENAGA KERJA</b>				
1.	Persiapan lahan	Ha	1	Rp. 500000
2.	Penanaman bibit	Ha	1	Rp. 500000
<b>JUMLAH</b>				2.080.000,00

(Sumber : Agus, 2014)

Tabel 4.57 Rincian Biaya Penanaman dan Pembelian Bibit Tanaman Konservasi.

Zona	Jenis Vegetasi	Luas Tanam	Harga Vegetasi per Hektar (Rp.)	Harga Total
Hulu	- Gabungan Bringin Putih dan Porang	1928,18	3.505.000,00	Rp. 6.758.270.900,00
	- Bambu	1928,18	2.080.000,00	Rp. 4.010.614.400,00
	- Durian	2558,31	5.398.000,00	Rp. 13.809.757.380,00
		478,63	34.196.400,00	Rp. 16.367.422.932,00
Tengah	- Gabungan Bringin Putih dan Porang	1780,92	3.505.000,00	Rp. 6.242.124.600,00
	- Bambu	1780,92	2.080.000,00	Rp. 3.704.313.600,00
	- Durian	737,43	5.398.000,00	Rp. 3.980.647.140,00
	- Bringin Putih	700,00	34.196.400,00	Rp. 23.937.480.000,00
Hilir	- Gabungan Bringin Putih dan Porang	119,10	3.505.000,00	Rp. 417.445.500,00
	- Bambu	1266,99	3.505.000,00	Rp. 4.440.799.950,00
	- Durian	841,27	5.398.000,00	Rp. 2.635.339.200,00
	- Bringin Putih	1105,96	34.196.400,00	Rp. 37.819.850.544,00
		261,76	3.505.000,00	Rp. 917.468.800,00
<b>JUMLAH</b>				Rp. 129.582.710.406,00

Biaya untuk penanaman dan pembelian tanaman konservasi adalah sebesar Rp. 129.582.710.406,00

➤ Biaya konservasi pembuatan embung (Mekanis).

Tabel 4.58 Rincian Biaya Pembuatan 1 buah Situ/Embung.

No.	Uraian	Sat.	Volume	Harga Satuan	Harga Total
<b>I PEKERJAAN PERSIAPAN</b>					
1.1	Pembebasan lahan	Ha	3,00	Rp. 225.000.000,00	Rp. 675.000.000,00
1.2	Pengukuran (MC 0% dan 100%)	Ls	1,00	Rp. 26.660.000,00	Rp. 26.660.000,00
1.3	Mobilisasi dan demobilisasi alat berat	Ls	1,00	Rp. 15.000.000,00	Rp. 15.000.000,00
<b>II PEKERJAAN TANAH</b>					
2.1	Tebas tebang	m <sup>2</sup>	30000,00	Rp. 9.600,00	Rp. 288.000.000,00
2.2	Galian tanah lumpur	m <sup>3</sup>	49164,50	Rp. 19.100,00	Rp. 939.041.950,00
2.3	Galian tanah biasa	m <sup>3</sup>	44015,30	Rp. 13.000,00	Rp. 572.198.900,00
2.4	Galian tanah bangunan	m <sup>3</sup>	2436,50	Rp. 42.000,00	Rp. 102.333.000,00
2.5	Buangan tanah hasil galian Maximum jarak 1 Km	m <sup>3</sup>	88900,90	Rp. 30.500,00	Rp. 2.711.477.450,00
2.6	Transfer hasil galian	m <sup>3</sup>	46589,90	Rp. 15.800,00	Rp. 736.120.420,00
2.7	Timbunan tanah hasil galian di padatkan	m <sup>3</sup>	4278,90	Rp. 23.600,00	Rp. 100.982.040,00
2.8	Gebalan rumput	m <sup>2</sup>	6286,50	Rp. 14.200,00	Rp. 89.268.300,00
<b>III PEKERJAAN PASANGAN</b>					
3.1	Pasangan batu 1pc : 4 psr	m <sup>3</sup>	2436,50	Rp. 782.600,00	Rp. 1.906.804.900,00
3.2	Plesteran 1pc : 3psr	m <sup>2</sup>	1075,90	Rp. 52.300,00	Rp. 56.269.570,00
3.3	Siaran 1pc : 2psr	m <sup>2</sup>	5616,00	Rp. 40.300,00	Rp. 226.324.800,00
3.4	Suling-suling dia. 2"	bh	545,00	Rp. 37.100,00	Rp. 20.219.500,00
3.5	Cerucuk bambu dia. 7 - 10 cm	bh	2600,00	Rp. 38.900,00	Rp. 101.140.000,00
3.6	Pembentukan batu muka	m <sup>2</sup>	5616,00	Rp. 68.200,00	Rp. 383.011.200,00
<b>IV PEKERJAAN BETON</b>					
4.1	Beton mutu K 225	m <sup>3</sup>	12,60	Rp. 1.073.900,00	Rp. 13.531.140,00
4.2	Penulangan besi beton	kg	1386,00	Rp. 27.100,00	Rp. 37.560.600,00
4.3	Bekisting kayu termasuk bongkaran	m <sup>2</sup>	120,32	Rp. 151.400,00	Rp. 18.216.448,00
4.4	Pengadaan dan pemasangan pintu	bh	1,00	Rp. 15.670.800,00	Rp. 15.670.800,00
<b>V PEKERJAAN DEWATERING</b>					
5.1	Kisdam dan pengeringan	Ls	1,00	Rp. 19.818.100,00	Rp. 19.818.100,00
<b>JUMLAH</b>					Rp. 9.054.649.118,00

Biaya untuk pembuatan 1 buah situ/embung adalah Rp. 9.054.649.118 x 13.

- Biaya konservasi pembuatan gabungan pemanenan air hujan dan sumur resapan (Mekanis).

Tabel 4.59 Rincian Biaya Pembuatan 1 buah Pemanenan Air Hujan dan Sumur resapan

No.	Uraian	Sat.	Volume	Harga Satuan	Harga Total
<b>I PEKERJAAN TANAH</b>					
1.1 Galian Tanah	m <sup>3</sup>	6,81	Rp. 41.600,00	Rp. 283.127,52	
<b>II SUMUR RESAPAN</b>					
2.1 Pasangan Batu Bata	m <sup>2</sup>	16,01	Rp. 65.154,00	Rp. 1.043.376,16	
2.2 Plesteran Halus	m <sup>2</sup>	16,01	Rp. 37.321,70	Rp. 597.669,70	
2.3 Rabatan	m <sup>3</sup>	0,27	Rp. 426.104,11	Rp. 116.001,73	
<b>III PEKERJAAN INSTALASI</b>					
3.1 Pemasangan pipa talang	m <sup>3</sup>	20,00	Rp. 14.906,25	Rp. 298.125,00	
3.2 Pemasangan pipa paralon	m <sup>2</sup>	2,50	Rp. 4.512,08	Rp. 11.280,20	
3.3 Pemasangan pipa PVC 3"	m <sup>2</sup>	2,50	Rp. 27.061,28	Rp. 67.653,20	
3.4 Profil tank 2,2 m <sup>3</sup>	bh	1,00	Rp. 2.200.000,00	Rp. 2.200.000,00	
<b>JUMLAH</b>					<b>Rp. 4.617.233,51</b>

Biaya untuk pembuatan 1 gaubungan Pemanenan Air Hujan dan Sumur Resapan adalah Rp. 4.617.233,51

Tabel 4.60 Rincian Biaya Total Konservasi Metode Vegetatif dan Metode Mekanis.

No.	URAIAN	HARGA
Pengurangan Debit Banjir dengan Reboisasi dan Pembuatan Situ/Embung		
1. Biaya Pembelian dan penanaman bibit tanaman	Rp. 129.582.710.406,00	
2. Biaya Pembuatan Embung (13 embung)	Rp. 117.710.438.534,00	
<b>JUMLAH</b>		<b>Rp. 247.293.148.940,00</b>
Pengurangan Debit Banjir dengan Reboisasi, Pembuatan Situ/Embung dan pembuatan gabungan pemanenan air hujan dan sumur resapan.		
1. Biaya Pembelian dan penanaman bibit tanaman	Rp. 129.582.710.406,00	
2. Pembuatan Pemanenan Air Hujan dan Sumur Resapan (17.656 buah)	Rp. 81.521.874.861,36	
<b>JUMLAH</b>		<b>Rp. 211.104.585.267,36</b>

#### b) Manfaat (*benefit*)

Pembahasan besarnya manfaat (*benefit*) dalam kajian ini adalah besarnya kerugian akibat banjir yang dijadikan sebagai keuntungan dan pemanfaatan sarana dan prasarana konservasi yang telah dibuat.

##### 1) Kerugian akibat adanya banjir.

Besarnya kerugian akibat banjir identik dengan manfaat yang di dapat dari upaya pengendalian banjir yang dilakukan. Berdasarkan data dari Balai

Besar Wilayah Sungai Cidanau-Ciujung-Cidurian tentang Laporan Kejadian Banjir Sungai Cidurian di Kabupaten Serang dan Tangerang Provinsi Banten pada tanggal 14 Januari 2012 :

1. Prasarana yang terganggu.
  - Rumah : 1.950 KK.
  - Sekolah : 5 buah.
  - Fasum : 10 buah.
  - Pertanian : 1100 Ha.
2. Tinggi genangan 0,50 m – 1,00 m.
3. Lama genangan lebih dari 1 hari.
4. Frekuensi banjir terjadi hampir setiap tahun.

Perhitungan kerugian akibat banjir meliputi :

✓ Kerusakan Fisik Langsung (*direct physical lost*).

➤ Permukiman.

Harga kerusakan/unit rumah x jumlah rumah terdampak.

$$\text{Rp. } 10.000.000 \times 1.950 \text{ KK} = \text{Rp. } 19.500.000.000,00$$

Ket : Rp. 10.000.000,00 kategori rusak sedang per unit (Kementerian Negara Perencanaan Pembangunan Nasional/Badan Perencanaan Pembangunan Nasional tentang Penilaian Kerusakan dan Kerugian Akibat Bencana).

➤ Pertanian

Kerugian dihitung berdasarkan biaya sebagai berikut :

- Biaya Produksi.

Padi (Rp. 7.000.000,00/ha).

$$\text{Besar kerugiannya} = 50\% \times \text{Biaya Produksi} \times \text{Luas sawah}$$

terdampak

$$= 50\% \times \text{Rp. } 7.000.000,00/\text{ha} \times 1.100 \text{ ha}$$

$$= \text{Rp. } 3.850.000.000,00$$

- Hasil Panen = 5 ton/ha.

Harga gabah = Rp. 2.400/kg.

Kerugian per ha = Rp. 12.000.000,00/ha.

Kerugian total = Rp. 12.000.000,00/ha x 1.100 ha

= Rp. 13.200.000.000,00

Total kerugian fisik langsung pertanian

Rp. 3.850.000.000,00 + Rp. 13.200.000.000,00 = Rp. 17.050.000.000,00

Ket : 50% kerugian termasuk kategori sedang ( Kementerian Negara Perencanaan Pembangunan Nasional/Badan Perencanaan Pembangunan Nasional tentang Penilaian Kerusakan dan Kerugian Akibat Bencana).

➤ Sekolah

- Harga unit x jumlah sekolah x Ruang Kelas

Rp. 20.000.000,00 x 5 x 40 = Rp.4.000.000.000,00

- Total kerugian fisik langsung permukiman adalah Rp.4.000.000.000,00

- Ket : Rp. 20.000.000,00 kategori rusak sedang ( Kementerian Negara Perencanaan Pembangunan Nasional/Badan Perencanaan Pembangunan Nasional tentang Penilaian Kerusakan dan Kerugian Akibat Bencana).

➤ Fasilitas Umum

- Harga unit x jumlah fasum yang terdampak.

Rp. 5.000.000,00 x 10 = Rp.50.000.000,00

- Total kerugian fisik langsung permukiman adalah Rp.50.000.000,00

Ket : Rp. 5.000.000,00 kategori rusak ringan ( Kementerian Negara Perencanaan Pembangunan Nasional/Badan Perencanaan Pembangunan Nasional tentang Penilaian Kerusakan dan Kerugian Akibat Bencana).

Total jumlah kerusakan langsung (*direct physical lost*) sebesar Rp. 40.600.000.000,00 (empat puluh milyar enam ratus juta rupiah).

✓ Kerugian Tidak Langsung (*indirect lost*).

➤ Permukiman.

- Harga kerusakan langsung permukiman x koefisien.

Rp. 19.500.000.000,00 x 15% = Rp. 2.925.000.000,00

➤ Pertanian

- Harga kerusakan langsung pertanian x koefisien.  

$$\text{Rp. } 17.050.000.000,00 \times 10\% = \text{Rp. } 1.705.000.000,00$$

➤ Sekolah

- Harga kerusakan langsung sekolah x koefisien.  

$$\text{Rp. } 4.000.000.000,00 \times 34\% = \text{Rp. } 1.360.000.000,00$$

➤ Fasilitas Umum

- Harga kerusakan langsung fasilitas umum x koefisien.  

$$\text{Rp. } 50.000.000,00 \times 34\% = \text{Rp. } 17.000.000,00$$

Total jumlah kerugian tidak langsung (*indirect lost*) sebesar Rp. 6.007.000.000,00 (enam miliar tujuh juta rupiah).

✓ Kerugian tidak nyata non pasar.

- Pendapatan per kapita per tahun : Rp. 6.000.000,00  
(sumber : Dinas perindustrian dan perdagangan kabupaten Serang dan Kabupaten Tangerang).
- Probabilitas 20% tinggi genangan :  

$$20\% \times 0,75 = 0,15$$
- Populasi yang terkena dampak (tiap KK 2 orang yang bekerja) :  

$$1.950 \text{ KK} \times 2 = 3.900 \text{ orang.}$$

Besar kerugian tidak nyata non pasar :

$$\text{Rp. } 6.000.000,00 \times 0,15 \times 3.900 = \text{Rp. } 3.510.000.000,00 \text{ (tiga miliar lima ratus sepuluh juta rupiah).}$$

✓ Besarnya manfaat yang dapat diperoleh dengan berkurangnya banjir adalah sebesar Rp. 40.600.000.000,00 + Rp. 6.007.000.000,00 + Rp. 3.510.000.000,00 = Rp. 50.117.000.000,00 (lima puluh miliar seratus tujuh belas juta rupiah).

2) Manfaat dari upaya konservasi dengan Pembudidayaan Keramba Jaring Apung pada situ/embung.

Keberadaan situ/embung dapat dimanfaatkan oleh masyarakat dengan pembuatan Keramba Jaring Apung. Hal ini dimaksudkan agar situ/embung selain berfungsi sebagai konservasi juga dapat mempunyai nilai ekonomi yang dapat meningkatkan taraf ekonomi masyarakat sekitar. Keramba ini dapat digunakan untuk membudidayakan ikan. Dalam kajian ini membahas

biaya budidaya ikan Nila (*Oreochromis niloticus*). Berikut rincian biayanya :

Tabel 4.61 Biaya Investasi 1 Keramba

No	Uraian	Satuan	Harga satuan	Harga Total
<b>MODAL TETAP</b>				
1.	Pembuatan Keramba 6,00m x 6,00m x 2,50m	bh	1	Rp 3.480.000,00
	- Kerangka Keramba			Rp 680.000,00
	- Drum			Rp 1.600.000,00
	- Jaring Luar			Rp 480.000,00
	- Jaring Dalam			Rp 480.000,00
	- Tali			Rp 240.000,00
2.	Upah Keramba	bh	1	Rp 300.000,00
3.	Sampan	bh	1	Rp 1.500.000,00
<b>MODAL USAHA</b>				
1.	Benih Ikan Nila	ekor	3.000	Rp 150,00
2.	Pakan			
	- Pelet 781-2 (ikan besar)	karung	7,5	Rp 380.000,00
	- Pelet 781-1 (ikan besar)	karung	7,5	Rp 390.000,00
	- FF 999 (ikan kecil)	karung	3,6	Rp 170.000,00
3.	Upah Panen	HOK	4	Rp 50.000,00
4.	Tenaga Kerja	HOK	30	Rp 45.000,00
<b>TOTAL BIAYA INVESTASI</b>				Rp 13.658.500,00

(sumber : hesty et., al, 2015)

Biaya pendapatan dihitung dari hasil panen ikan Nila. Hasil panen ikan Nila dihitung mengalami penyusutan 30% dari total benih yang disebar dalam keramba. Pendapatan yang didapat saat panen :

$$- 30\% \times 3.000 \text{ ekor} = 2.100 \text{ ekor.}$$

Berat ikan Nila saat panen @0,50 kg :

$$- 0,70 \text{ kg} \times 2.100 \text{ ekor} = 1.470 \text{ kg}$$

Pendapatan kotor (1 keramba):

$$- Rp. 23.000,00/\text{ekor} \times 1.470 \text{ kg} = Rp. 33.810.000,00$$

Pendapatan bersih (1 keramba):

$$- Rp. 33.810.000,00 - Rp. 13.658.500,00 = Rp. 20.151.500,00$$

Panen ikan Nila dapat dilakukan tiap 6 bulan, jadi dalam satu tahun pendapatan bersihnya :

$$Rp. 20.151.500,00 \times 2 = Rp. 40.303.000,00 / \text{per keramba/tahun}$$

Apabila 1 situ/embung seluas 3 ha jumlah Keramba Jaring Apung yang dibuat adalah 400 keramba, maka :

- $400 \times \text{Rp. } 40.303.000,00 = \text{Rp. } 16.121.200.000,00/\text{tahun/situ.}$
- $\text{Rp. } 16.121.200.000,00/\text{tahun/situ.} \times 13 \text{ (jumlah total situ/embung)} = \text{Rp. } 209.575.600.000,00/\text{tahun.}$

## **BAB V**

### **KESIMPULAN DAN SARAN**

#### **5.1 Kesimpulan**

1. Upaya konservasi sumber daya air di wilayah studi terbagi menjadi 2 (dua) alternatif sebagai berikut :
  - Alternatif 1 :

Upaya konservasi sumber daya air di wilayah studi dengan Reboisasi lahan seluas 11.778,55 ha (vegetatif) dan Pembuatan Situ/Embung sebanyak 13 buah (mekanis)
  - Alternatif 2 :

Upaya konservasi sumber daya air di wilayah studi dengan Reboisasi lahan seluas 11.778,55 ha (vegetatif) dan Gabungan Pemanenan Air Hujan dan Sumur Resapan sebanyak 17.656 unit (mekanis).
2. Upaya konservasi sumber daya air di wilayah studi dengan vegetatif dapat mereduksi debit banjir sebesar 23,3%, sedangkan dengan mekanis sebesar 16%.

#### **5.2 Saran.**

1. Untuk pemilihan jenis vegetasi untuk kegiatan rebosiasi, perlu dilakukan koordinasi dengan penduduk sekitar dikarenakan pemilihan jenis vegetasi sangat dipengaruhi oleh kemauan masyarakat.
2. Untuk lokasi penempatan situ/embung, perlu dilakukan studi kelayakan, survey investigasi dan desain (SID) dan dilanjutkan dengan *Detail Engineering Desain* (DED).
3. Untuk penggunaan Pemanenan Air Hujan dan Sumur Resapan juga perlu adanya sosialisasi ke pada masyarakat. Hal ini terkait antara jarak penempatan sumur resapan dengan tanki septik (sesuai dengan **SNI 06-2405-1991** tentang Tata Cara Perencanaan Teknik Sumur Resapan Air Hujan Untuk Lahan Pekarangan).

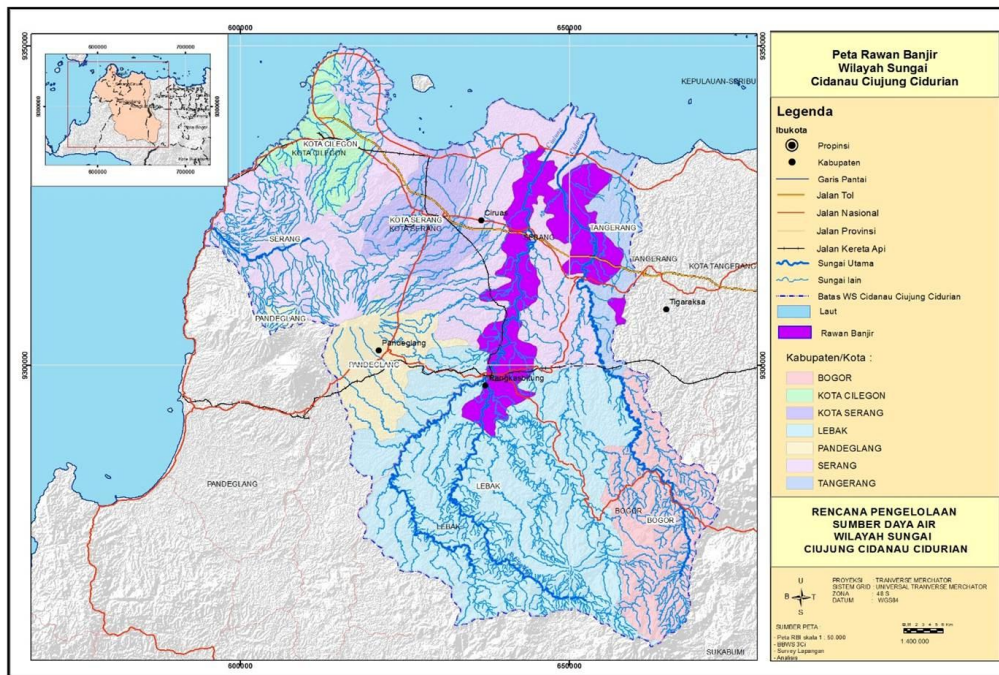
*“ Halaman ini sengaja dikosongkan “*

## **DAFTAR PUSTAKA**

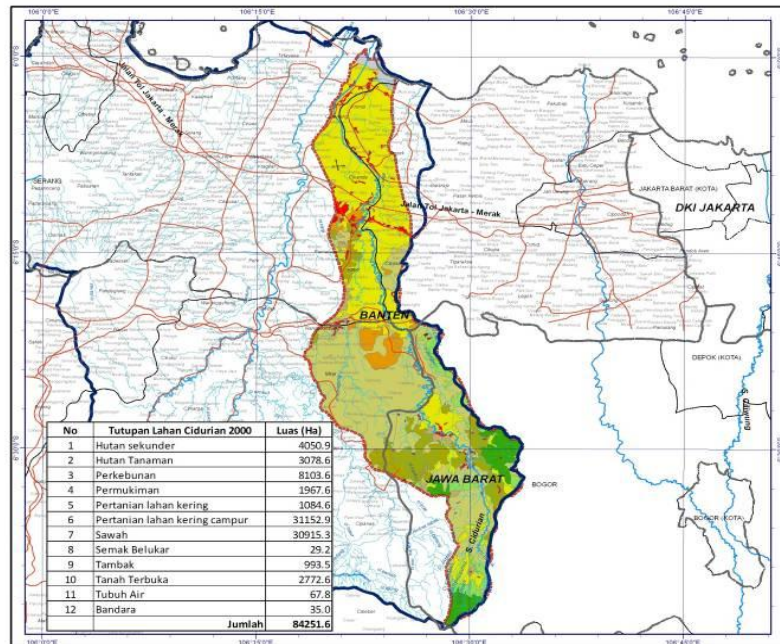
- Arsyad. S. 2000. Konservasi Tanah dan Air. IPB Press. Bogor.
- Abdulla Fays A., AW Al-Shareef.2009. Roof rainwater harvesting system for household water supply in Jordan.
- Agus, F., E. Surmaini, dan N. Sutrisno. 2002. Teknologi hemat air dan irigasi suplemen. hlm. 239 – 264 dalam Abdurachman et al. (Eds.). Teknologi Pengelolaan Lahan Kering. Menuju Pertanian Produktif dan Ramah Lingkungan. Pusat Penelitian dan Pengembangan Tanah dan Agroklimat. Badan Penelitian dan Pengembangan Pertanian Departemen Pertanian.
- Abdurachman, A., S. Abujamin, dan Suwardjo. 1982. Beberapa cara konservasi tanah pada areal pertanian rakyat. Disampaikan pada Pertemuan Tahunan Perbaikan Rekomendasi Teknologi tgl. 13 – 15 April. Pusat Penelitian Tanah, Bogor (Tidak Dipublikasikan).
- Balai Besar Wilayah Sungai Cidanau-Ciujung-Cidurian. 2014, Pola Pengelolaan Sumber Daya Air Wilayah Sungai Cidanau – Ciujung – Cidurian.
- Balai Besar Wilayah Sungai Cidanau-Ciujung-Cidurian. 2015, Penyusunan Rancangan Rencana Pengelolaan Sumber Daya Air Wilayah Sungai Cidanau – Ciujung – Cidurian Tahap II.
- British Columbia 2002. Soil Water Storage Capacity And Available Soil Moisture. British Columbia, Canada.
- Balai Besar Wilayah Sungai Cidanau-Ciujung-Cidurian. 2009. Studi Komprehensif Sistem Pengendalian Banjir Sungai Cidurian, Serang.
- Dudal, Soepraptohardjo. 1957. Sistem Klasifikasi Tanah Nasional.
- Budinetro H.S., Praja T.A., Rahayu S., 2009. Evaluasi Kemampuan Pengendalian Banjir pada 37 Embung di Hulu Kota Semarang.
- Haryono, N. Sutrisno, T. Vadari, dan U. Kurnia. 2000. Pengaruh gulud permanen air terhadap peningkatan kelembapan tanah pada lahan kering beriklim kering. hlm. 275 – 282 dalam Prosiding Kongres Nasional VII HITI. Bandung, 2 – 4 Nopember 1999. Himpunan Ilmu Tanah Indonesia.
- Hutasoit L.M. 2009. Kondisi Permukaan Air Tanah Dengan Dan Tanpa Peresapan Buatan Di Daerah Bandung : Hasil Simulasi Numerik.
- Kementerian Kehutanan. 2009. Aktifitas Pemantauan Hutan Indonesia.

- Kodatie, R.J. 2003, Rekayasa dan Manajemen Banjir Perkotaan.
- Lee, Richard. 1988. Hidrologi Hutan, edisi pertama, Gadjah Mada University Press, Yogyakarta.
- Lal, R. 1978. Influence of tillage methods and residue mulches on soil structure and infiltration rate. P. 393 – 402. In Emerson, W.W., R.D. Bond, and A.R. Dexter (Eds). Modification of soil structure. John Wiley & Sons. Chichester, New York, Brisbone, Toronto.
- Mega, M.I, Dibia, N.I, Adi, R dan Kusmiyarti, B.T 2010, Klasifikasi Tanah dan Kesesuaian Lahan, Buku Ajar : Agroekoteknologi, Fakultas Pertanian Universitas Udayana, Denpasar.
- Mahzum M.M. 2015. Analisa Ketersediaan Sumber Daya Air Dan Upaya Konservasi Sub DAS Brantas Hulu Wilayah Kota Batu.
- Noeralam, A. 2002. Teknik Pemanenan Air yang Efektif dalam Pengelolaan Lengas Tanah Pada Usaha Tani Lahan Kering. Desertasi. Program Pasca Sarjana. Institut Pertanian Bogor.
- SNI 06-2405-1991. 1991. Tata Cara Perencanaan Teknik Sumur Resapan Air Hujan Untuk Lahan Pekarangan.
- Saleh C. 2011. Kajian Penanggulangan Limpasan Permukaan Dengan Menggunakan Sumur Resapan (Studi Kasus Di Daerah Perumnas Made Kabupaten Lamongan).
- Subagyono. K; Umi Haryati; dan S.H. Tala'ohu. 2004. Teknologi Konservasi Air pada Pertanian Lahan Kering.
- Subagyono. K; Setiari Marwanto; dan Undang Kurnia. 2003. Teknik Konservasi Tanah Secara Vegetatif.
- Suhardjo, M., A. Abas Idjudin, dan Maswar. 1997. Evaluasi beberapa macam strip rumput dalam usaha pengendalian erosi pada lahan kering berteras di lereng perbukitan kritis D.I. Yogyakarta. hlm. 143 – 150 dalam Prosiding Seminar Rekayasa Teknologi Sistem Usahatani Konservasi. Bagian Proyek Penelitian Terapan Sistem DAS Kawasan Perbukitan Kritis Yogyakarta (YUADP Komponen – 8). Badan Penelitian dan Pengembangan Pertanian.
- S. Dede. 2014. Kajian Dampak Perubahan Lahan Terhadap Debit Aliran DAS Ciujung, IPB Bogor.

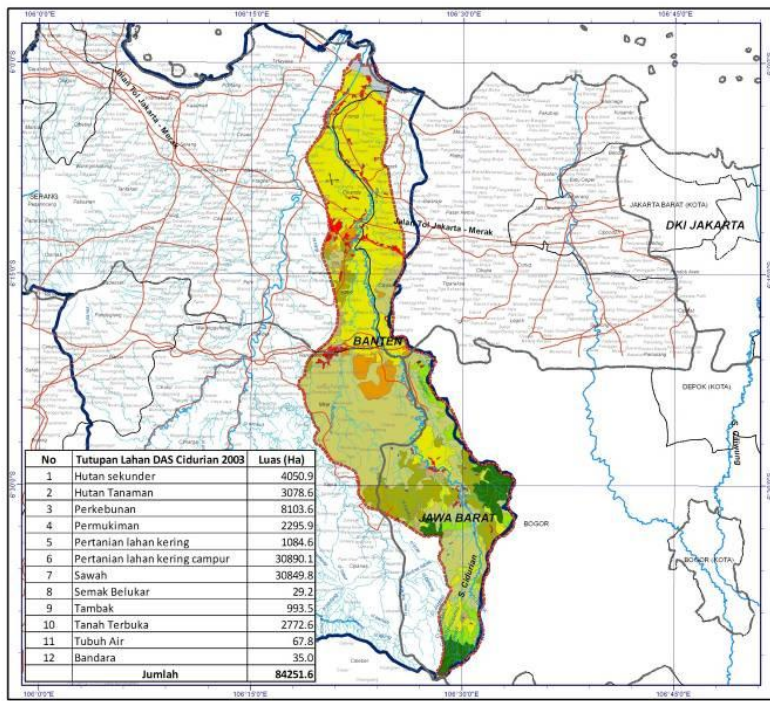
- Syamsiah, I., P. Wardana, Z. Arifin, A. M. Fagi. 1994. Embung Kolam Penampung Air Serbaguna. Pusat Penelitian dan Pengembangan Tanaman Pangan. Badan Penelitian dan Pengembangan Pertanian. Departemen Pertanian.
- Suripin. 2004. Sistem Drainase Perkotaan yang Berkelanjutan, Andi Offset, Yogyakarta
- Sholeh M. 1998. Hidrologi I. Diktat Kuliah. Surabaya : FTSP – ITS.
- Soemarto. CD. 1999, Hidrologi Teknik, Erlangga, Jakarta.
- Sosrodarsono & Takeda. 1977, Hidrologi Untuk Pengairan. Jakarta:PT Pradnya Paramita
- Triatmojo. Bambang. (2010), Hidrologi Terapan, edisi kedua, Beta Offset, Yogyakarta.
- Tala'ohu, S. H., A. Abdurachman, dan H. Suwardjo. 1992. Pengaruh teras bangku, teras gulud, slot mulsa Flemingia dan strip rumput terhadap erosi, hasil tanaman dan ketahanan tanah Tropudult di Sitiung. hlm. 78 – 89 dalam Prosiding Pertemuan Teknis Penelitian Tanah : Bidang Konservasi Tanah dan Air. Bogor, 22 – 24 Agustus 1989. Puslitbangtanak, Bogor.
- Tala'ohu, S. H. 1998. Teknik Pemanenan Air (Leaflet). Kelompok Kerja Penelitian dan Pengembangan. Sekretariat Tim Pengendali Bantuan Penghijauan dan Reboisasi Pusat.
- Troeh, F. R., J. A. Hobs, and R. L. Donahoe. 1991. Soil and Water Conservation. Prentice Hall, Inc. A Division of Simon & Schuster. Enggwood Cliffs, New Jersey.
- Undang-Undang Republik Indonesia Nomor 14 Tahun 2014. Konservasi Tanah dan Air.
- Wahyunto, M.Z. Abidin, A. Priyono, dan Sunaryo. 2001. Studi Perubahan Penggunaan Lahan Di Sub DAS Citarik, Jawa Barat dan DAS Kaligarang, Jawa Tengah. Prosiding Seminar Nasional Multifungsi Lahan Sawah. Balai Penelitian Tanah Bogor.
- Yulistyorini A. 2011. Pemanenan Air Hujan (PAH) Sebagai Alternatif Pengelolaan Sumber Daya Air Perkotaan.



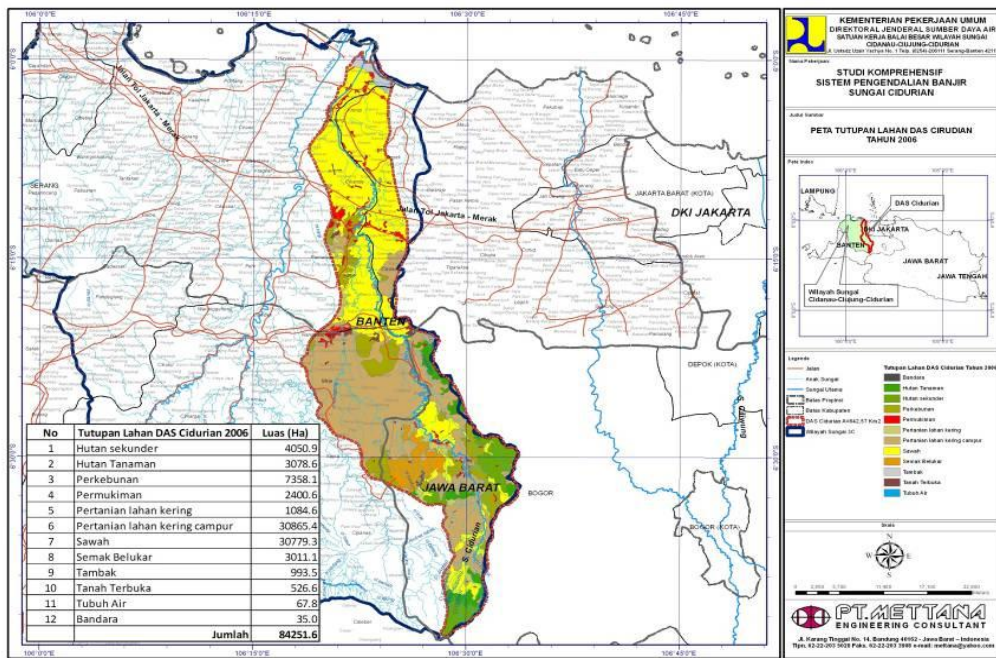
Lampiran Gambar - 1 Peta rawan banjir Cidanau-Ciujung-Cidurian (BBWS Cidanau-Ciujung-Cidurian, 2015).



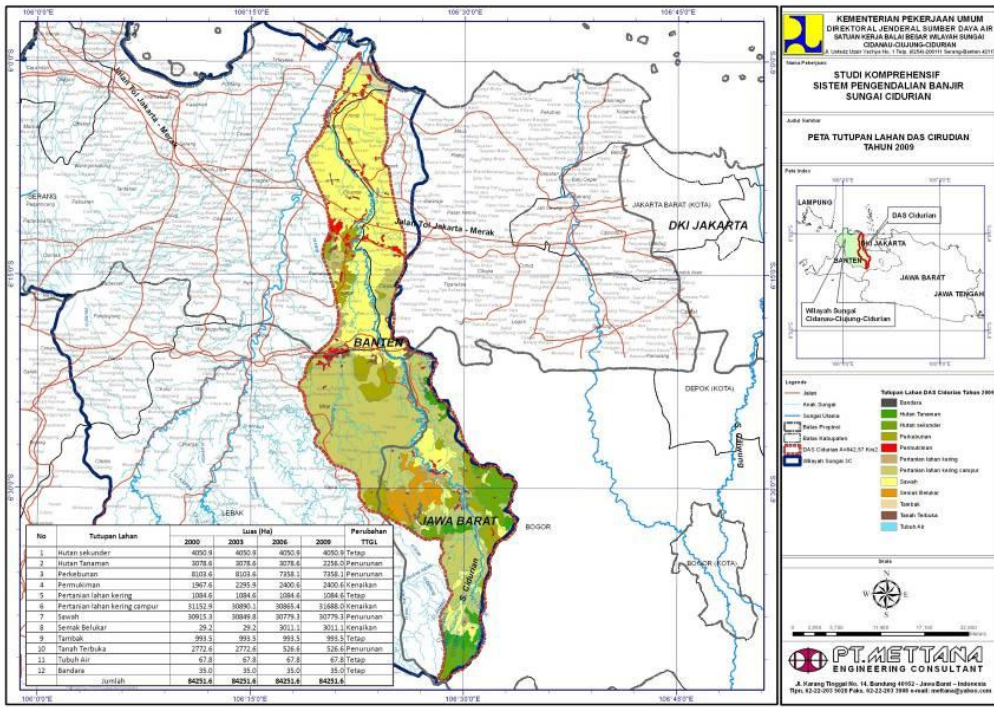
Lampiran Gambar – 2 Peta tutupan lahan DAS Cidurian tahun 2000 (BBWS Cidanau-Ciujung-Cidurian, 2015).



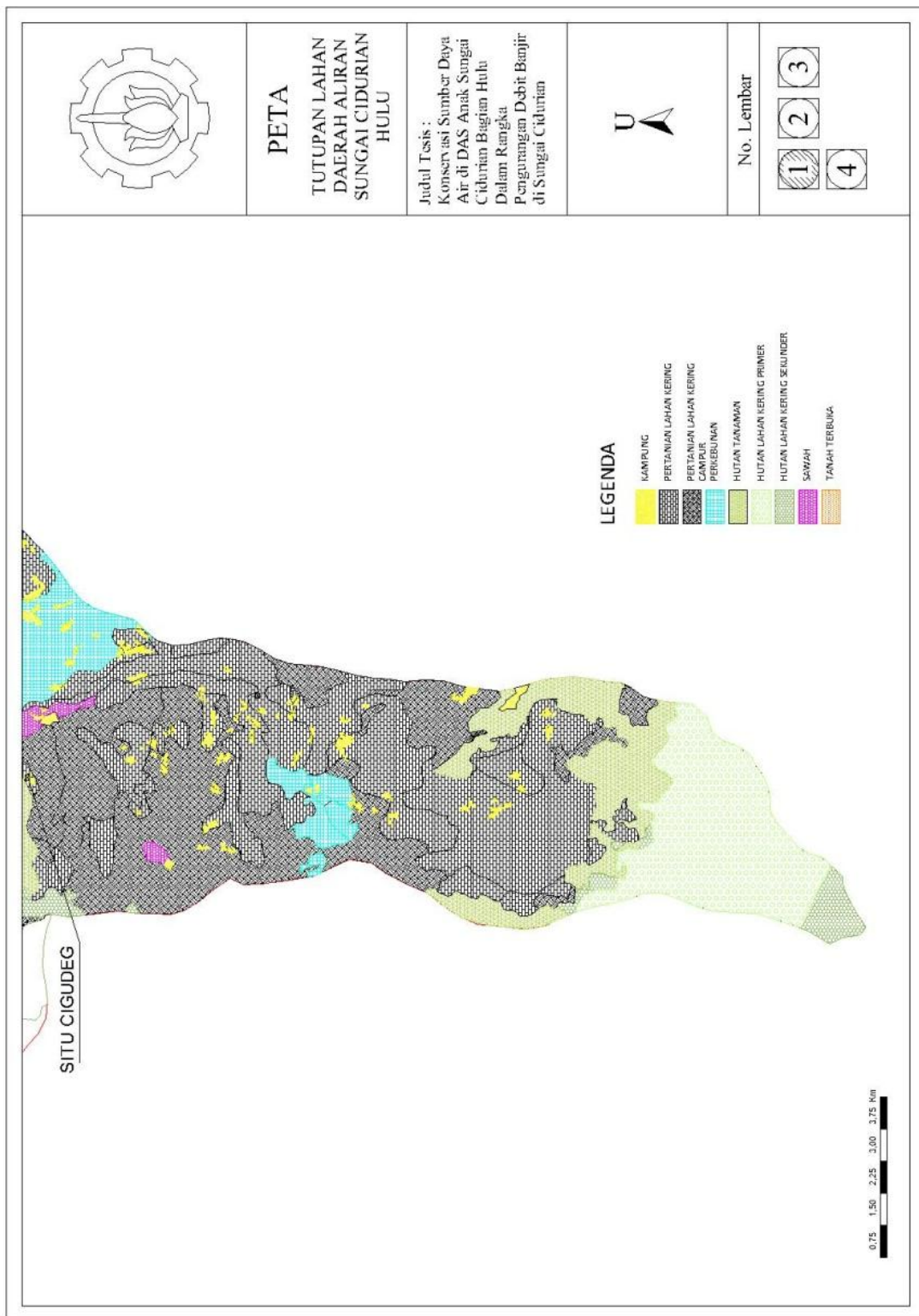
Lampiran Gambar – 3 Peta tutupan lahan DAS Cidurian tahun 2003 (BBWS Cidanau-Ciujung-Cidurian, 2015).

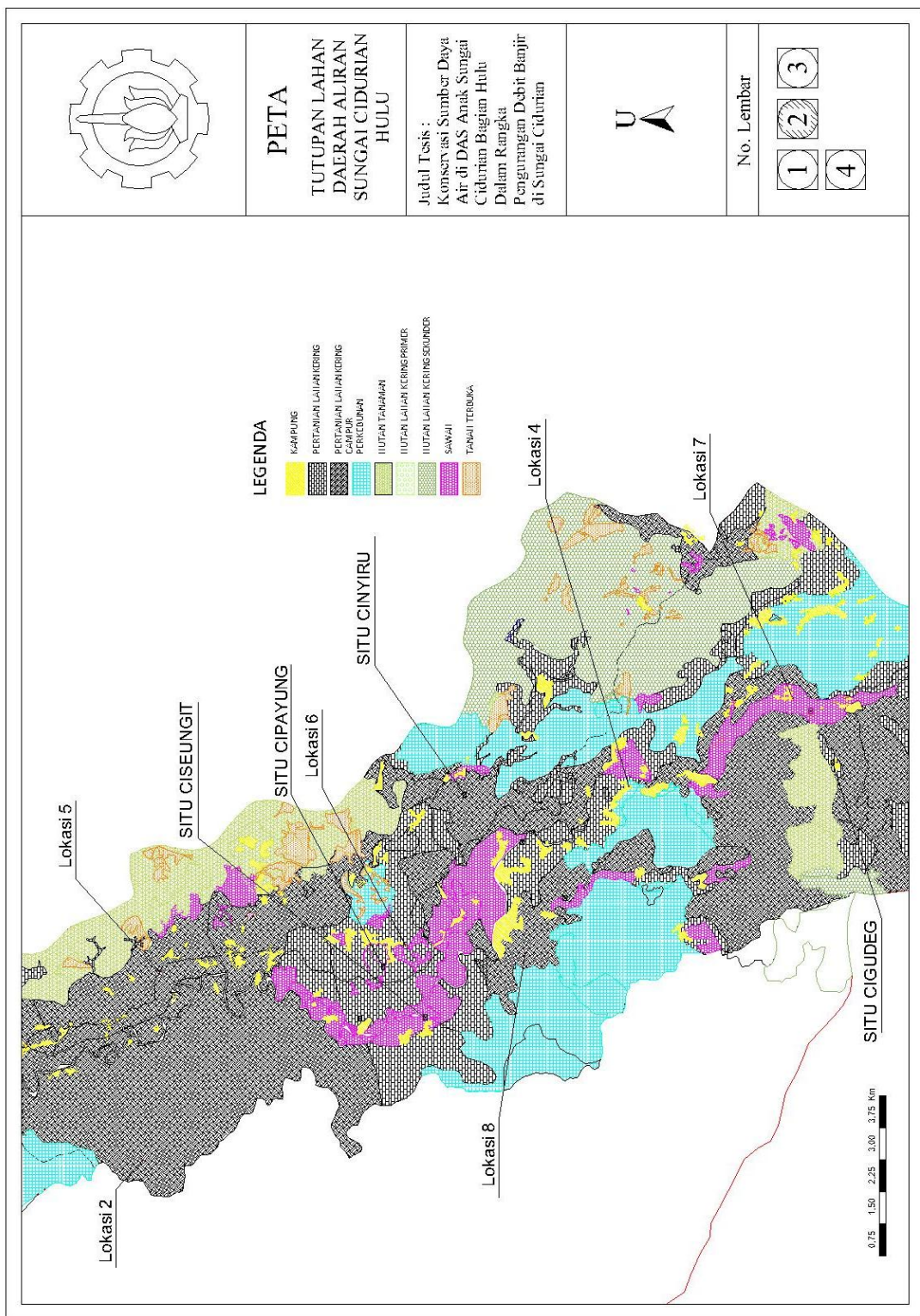


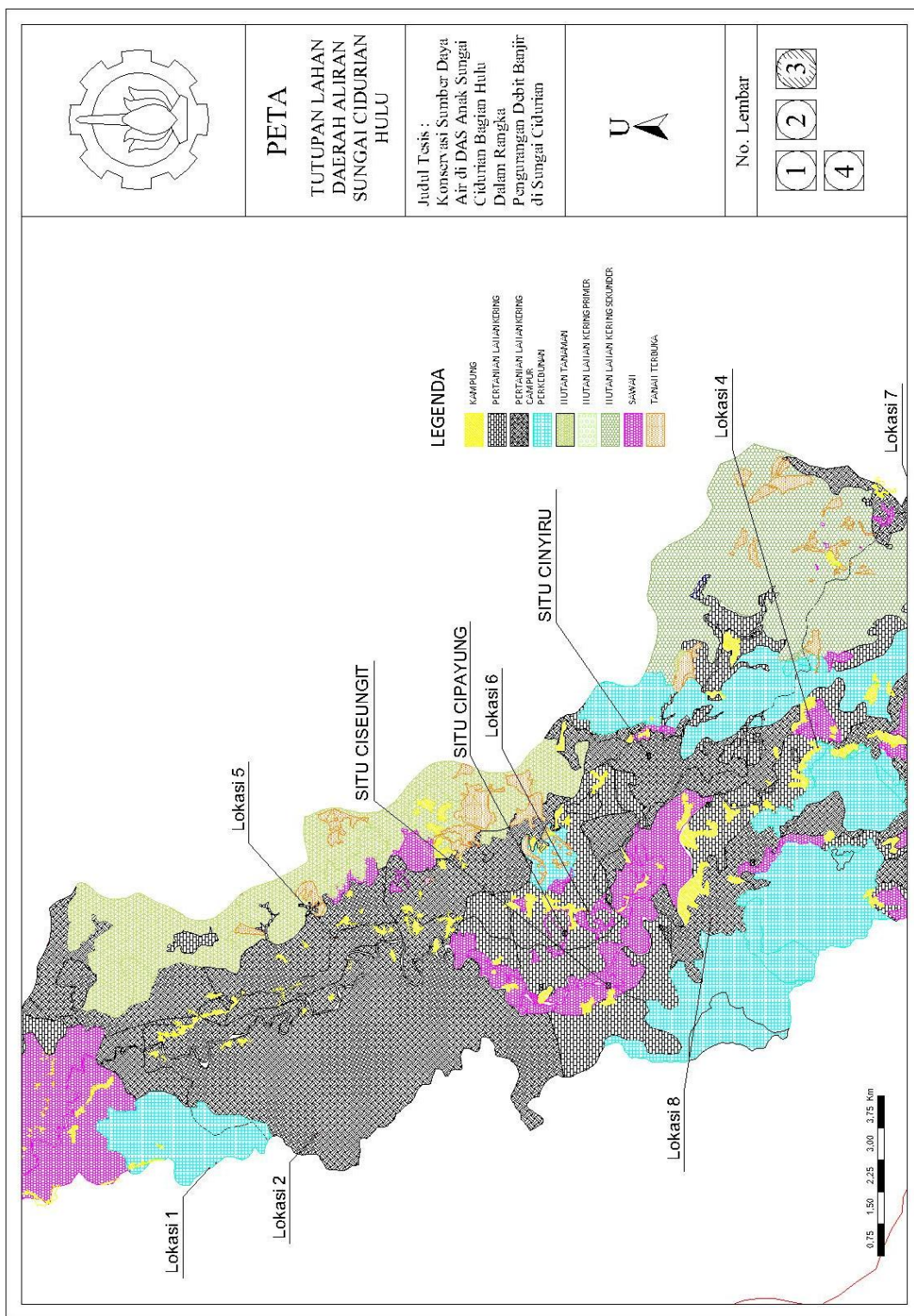
Lampiran Gambar – 4 Peta tutupan lahan DAS Cidurian tahun 2006 (BBWS Cidanau-Ciujung-Cidurian, 2015).

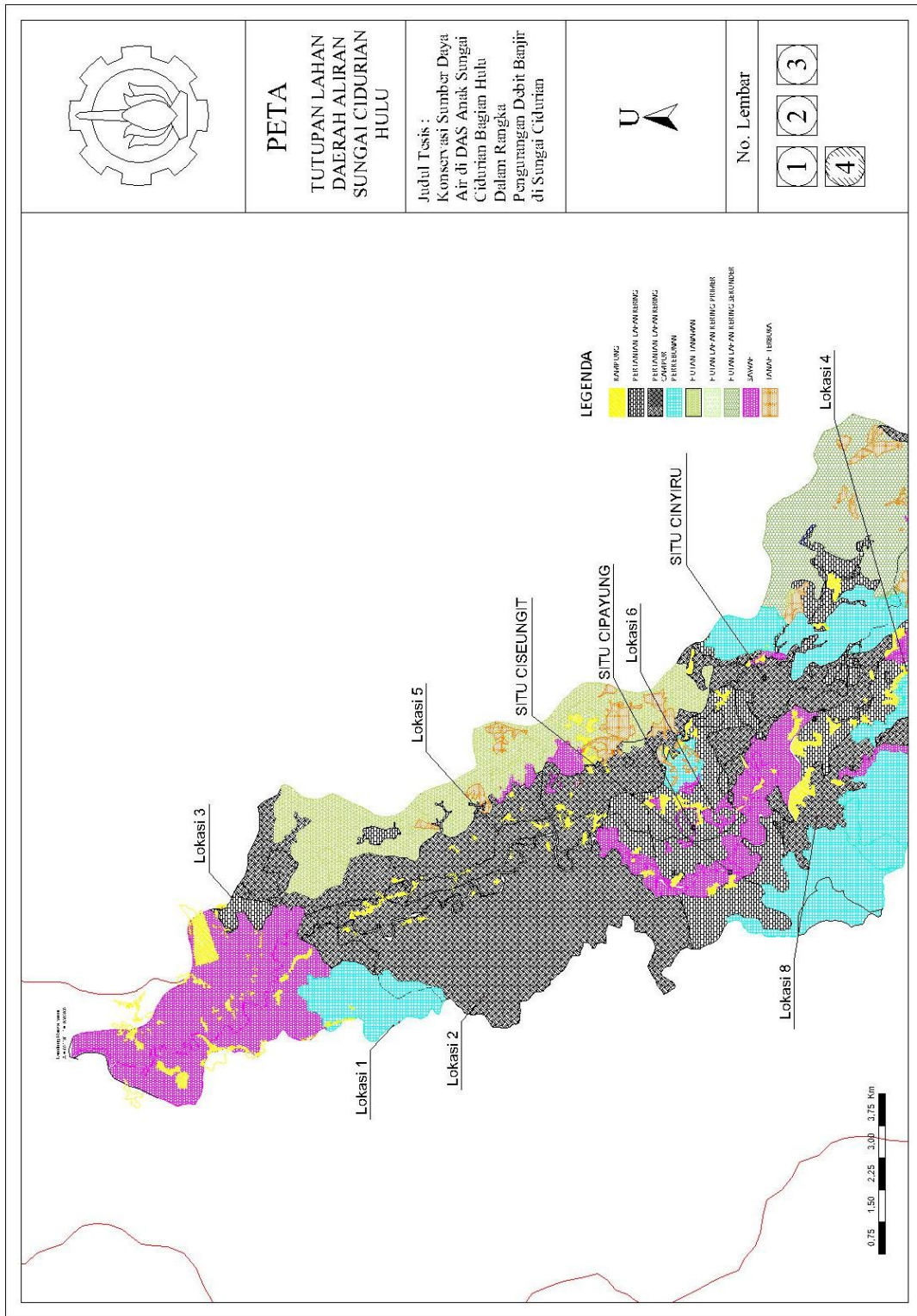


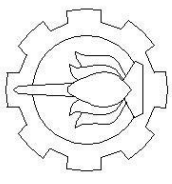
Lampiran Gambar – 5 Peta tutupan lahan DAS Cidurian tahun 2009 (BBWS Cidanau-Ciujung-Cidurian, 2015).











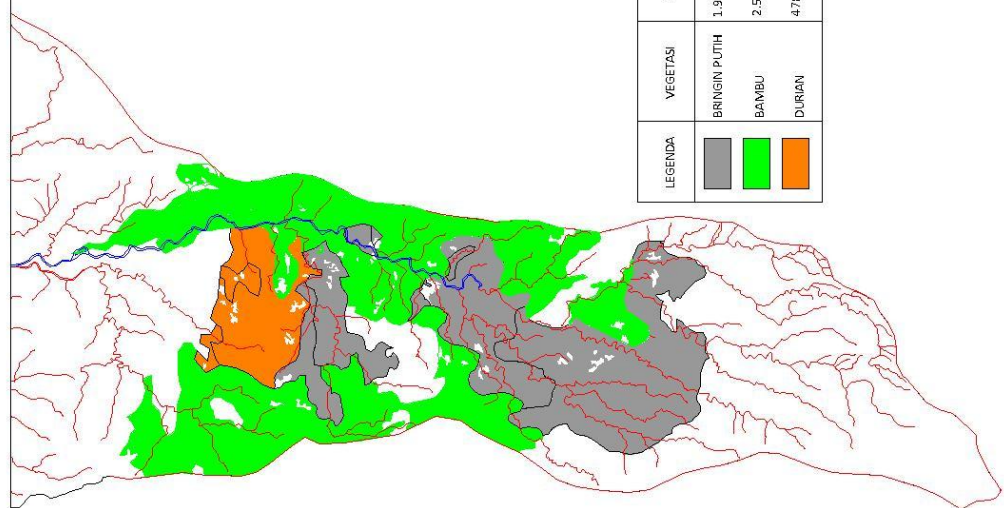
PETA  
SEBARAN  
VEGETASI  
ZONA HULU

Judul Tesis :  
Konservasi Sumber Daya  
Air di DAS Anak Sungai  
Cidurian Brigean Hulu  
Dalam Rangka  
Pengurangan Debit Banjir  
di Sungai Cidurian

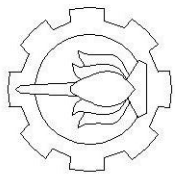


No. Lembar  
1 2 3

LEGENDA	VEGETASI	LUAS	JUMLAH POKOK PER HEKTAH	JUMLAH POKOK
BRINSIN PUTIH	BRINSIN PUTIH	1.929118 Ha	4.09 Batang	771272
BAMBU	BAMBU	2.558311 Ha	156 Batang	399.096
DURIAN	DURIAN	4.7863 Ha	100 Batang	47.863



0.75 1.50 2.25 3.00 3.75 Km



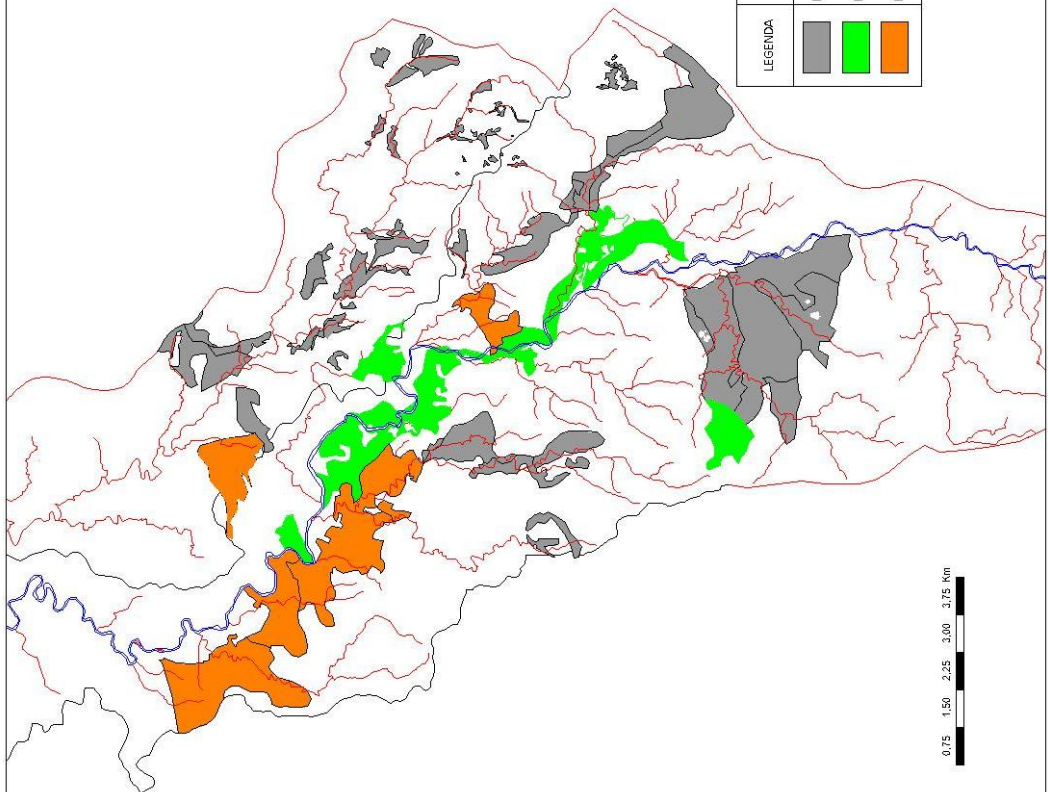
PETA  
SEBARAN  
VEGETASI  
ZONA TENGAH

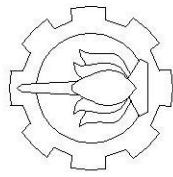
Judul Tesis :  
Konservasi Sumber Daya  
Air di DAS Anak Sungai  
Cidurian Bagian Hulu  
Dalam Rangka  
Pengurangan Dampak Banjir  
di Sungai Cidurian

U

No. Lembar  
1 2 3

LEGENDA	VEGETASI	LUAS	JUMLAH POKOK PER HEKTAH	JUMLAH POKOK
	BRINGIN PUTIH	1.900,02 Ha	4.00 Batang	7.60.008
	BAMBUL	737,43 Ha	156 Batang	115.039
	DURIAN	770 Ha	160 Batang	70.699





## PETA SEBARAN VEGETASI ZONA HILIR

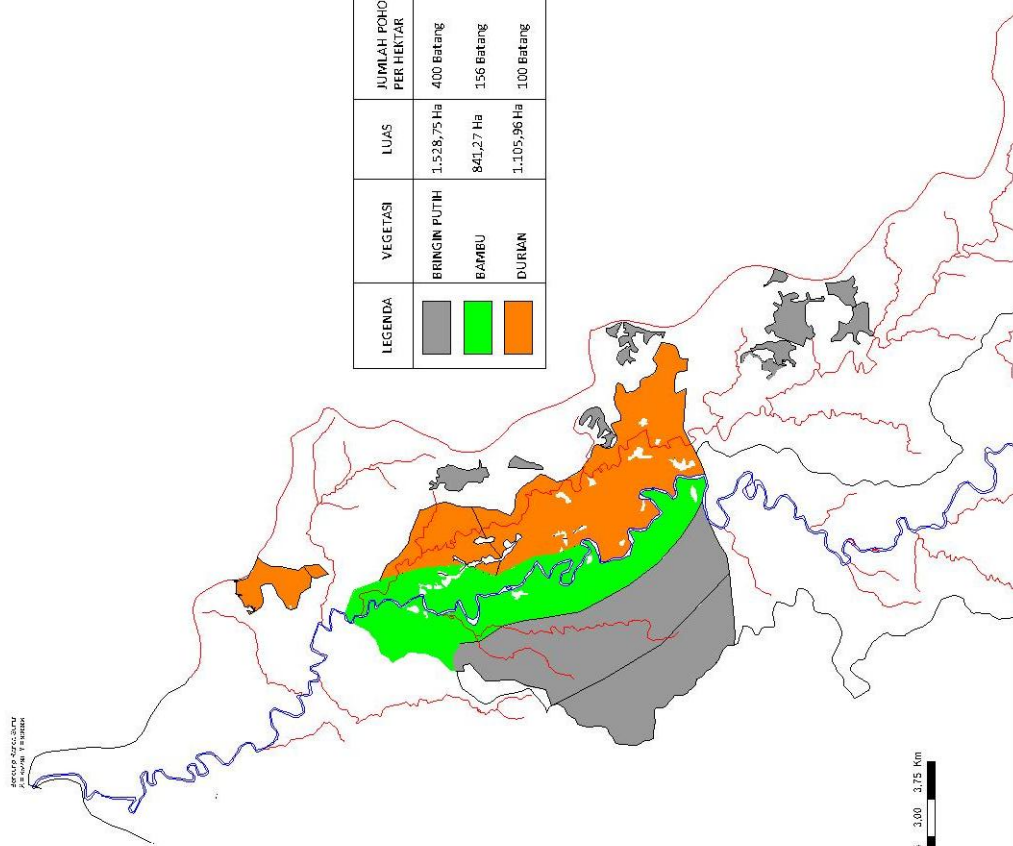
Judul Tesis :  
Konservasi Sumber Daya  
Air di DAS Anak Sungai  
Ciderian Bagan Hulu  
Dalam Rangka  
Pengurangan Debit Banjir  
di Sungai Ciderian



No. Lembar

1      2      3

LEGENDA	VEGETASI	LUAS	JUMLAH POKOK PER HEKTAH	JUMLAH POKOK
BRINGIN PUTIH	1.528,75 Ha	400 Batang	611.500	
BAMBU	841,27 Ha	156 Batang	131.328	
DURIAN	1.105,96 Ha	100 Batang	104.704	





Lampiran Tabel 1 Debit Maksimum Sungai Cidurian di Bendung Rancasumur (m<sup>3</sup>/dt).

	Jan	Feb	Mar	Apr	Mei	Jun	Jul	Agt	Sep	Okt	Nop	Des
2000	55.90	108.16	29.77	30.14	90.53	58.93	32.54	12.82	41.41	32.09	133.68	14.12
2001	45.49	231.15	41.88	33.87	57.53	51.66	33.15	26.19	-	-	-	-
2002	74.24	151.47	47.52	68.33	53.40	56.39	86.25	18.67	13.40	32.24	57.93	110.52
2003	70.53	66.17	62.60	66.39	70.12	38.16	20.32	10.37	10.51	41.05	36.03	37.99
2004	46.98	158.68	41.00	116.32	146.52	44.78	20.31	8.53	40.83	36.62	30.97	53.69
2005	136.56	55.25	41.00	58.48	52.85	88.07	46.47	50.26	50.26	67.58	65.36	20.82
2006	236.92	85.58	38.02	64.58	24.72	19.44	12.57	7.00	6.59	11.86	95.05	49.15
2007	48.23	36.96	35.44	33.28	27.54	27.85	28.16	18.04	13.23	22.19	21.76	32.79
2008	49.11	37.14	32.62	42.08	32.95	22.05	22.62	28.16	33.94	22.33	30.04	23.34
2009	39.03	39.03	32.46	49.11	31.86	27.64	28.00	21.71	22.19	37.65	36.57	-
2010	236.45	271.63	244.18	142.15	213.35	187.71	231.95	259.41	432.83	212.04	190.22	174.09
2011	175.35	140.16	141.15	174.99	175.12	149.52	133.74	162.71	93.46	115.35	185.96	180.90
2012	955.84	255.24	211.00	379.40	276.75	245.72	180.27	156.29	168.89	354.62	348.00	324.16
2013	1,214.05	827.31	327.73	452.30	289.48	176.98	280.08	314.98	251.42	284.09	241.96	261.03
2014	507.17	387.82	337.07	303.84	307.99	257.81	245.09	374.84	184.13	199.94	304.53	248.25
2015	368.05	380.92	232.66	267.53	-	-	-	-	-	-	-	-

Sumber : Data dan informasi Hidrologi BBWS Cidanau – Ciujung - Cidurian



BERITA ACARA  
SEMINAR KEMAJUAN TESIS  
Semester Gasal 2016/2017

Pada

Hari, tanggal : Jumat, 09 Desember 2016  
Jam : 08.00 - 09.30  
Tempat : R. Sidang Pascasarjana

telah dilaksanakan Seminar Kemajuan Tesis :

Judul Tesis : Konservasi Sumber Daya Air Anak Sungai Cidurian Bagian Hulu Dalam Rangka Pengurangan Debit Banjir di Sungai Cidurian

Nama Mahasiswa : BAMBANG BODRO ISMOYO  
NRP : 3314202810  
Program Studi : S2 Teknik Lingkungan FTSP-ITS  
Bidang Studi : Magister Teknik Sanitasi Lingkungan

Tanda Tangan :

Berdasarkan hasil evaluasi penguji, dinyatakan bahwa mahasiswa tersebut :

- ① dapat mengikuti ujian Tesis  
2. tidak dapat mengikuti ujian Tesis

Saran-saran perbaikan :

- R/1  
1. Bobot kontribusi reboisasi lebih diperbarui dibanding menulis embung  
2. Dituliskan analisis cost benefit analisis untuk pelaksanaan usulan program  
3. Jumlah reboisasi untuk reboisasi diketahui dengan jelas  
4. Ditambah kompilasi dan saran + koreksi yg pertuliss di bawah faks/DP  
• Perbaikan titik / koma pada angka  
• PAH → garis & numer resapan  
• Posisi garis/tabel di lampiran  
• Lain-lain edit draft faks  
— Bab I sbr ? Silvlangkar  
— Bab II penelitian yg terdakwa & Bab III. Aspek lingk. am  
analisis pembahasan perlu 3 aspek yg dibahas  
— Draft Pustaka & cek lagi  
— yg blm tertuliss & lihat pd buku
- ✓  
2/12/16

Pembimbing,

Ir. Mas Agus Mardyanto, M.E., Ph.D

Tim Pengaji :

Nama (Tanda Tangan)

1. Prof. Dr. Ir. Nurchi Karnaningsih, M.Sc.

2. Dr. Ir. M. Razif, MM

3. Dr. Ah. Masduqi, ST, MT

\*: Coret yang tidak perlu



JURUSAN TEKNIK LINGKUNGAN  
FAKULTAS TEKNIK SIPIL DAN PERENCANAAN ITS  
Kampus ITS Sukolilo, Surabaya 60111  
Telp: 031-5946086, Fax: 031-5928387

### BERITA ACARA UJIAN/SIDANG TESIS

Pada

Hari, Tanggal : Senin, 09 Januari 2017  
Jam : 10.00-12.00 WIB  
Tempat : R. S3

telah dilaksanakan Ujian Tesis :

Judul : Konservasi Sumber Daya Air di-DAS Anak Sungai Cidurian  
Bagian Hulu Dalam Rangka Pengurangan Debit Banjir di  
Sungai Cidurian

Nama Mahasiswa : BAMBANG BODRO ISMOYO  
Nrp. : 3314202810  
Program Studi : S-2 Teknik Lingkungan ITS  
Bidang Keahlian : Magister Teknik Sanitasi Lingkungan  
Tanda Tangan :

Dari hasil pengujian dinyatakan :

1. LULUS DENGAN PERBAIKAN MINOR \*)  
2. TIDAK LULUS

Saran-saran perbaikan:

- MK  
12/01/2017  
P/Karif  
P/17*
- Saran 1: perbaikan ditulis pd. Buku tesis
  - Perbaikan alternatif dibandingkan dengan peningkatan benefit
  - Ef. ke Biaya Bahan - Jadi dirinya sebaiknya lebih murah dan dapat
  - Gambar lampiran diambil ke dalam buku tesis dengan ukuran besar
  - Peningkatan data jauh terlalu panjang dan tinggi maka sebaiknya dikurangi
  - Legenda pada gambaran dibuat untuk setiap potret
  - Koreksi perhitungan → lembar draft tesis
  - Koreksi pustaka → lembar draft tesis // *(Dipersi 19/1/2017)*
  - Data sumber air transl. diketahui

Tim Pengudi :

Nama	(Tanda Tangan)	Pembimbing
1. Prof. Dr. Ir. M. Nizam, R. MSc.		
2. Dr. Ir. M. Fajri, MM		
3. Dr. Ali Mardiyati, ST, MT		Ir. Mas Agus Mardiyanto, M.E., Ph.D

Keterangan:

- \*) Jangka waktu perbaikan tesis (lingkari salah satu) : 1 - 2 - 3 - 4 minggu.  
Apabila waktu tersebut tidak dipenuhi, maka nilai ujian tesis dianggap batal dan mahasiswa yang bersangkutan diwajibkan mengulang ujian lisan.

## FORMULIR KEGIATAN KONSULTASI TESIS

NAMA : BAMBANG BODRO ISPIDYO  
 NRP : 3314 202 810  
 JUDUL TESIS : KONSERVASI SUMBER DAYA AIR DI ANAK SUNGAI  
 CIDURIAN BAGIAN HULU DALAM RANGKA PENURANGAN  
 DEBIT BANJIR DI SUNGAI CIDURIAN  
 PEMBIMBING : Ir. MAS AGUS MARDYANTO, M.E., Ph.D.

No	Tgl. Konsultasi	Kegiatan	Paraf
1	22 Agustus 2016	Hitung Debit banjir & pengurangan debit banjir dengan konservasi metode Vegetatif.	✓
2	24 Oktober 2016	hitung kebutuhan tumpungan untuk mengurangi debit banjir	✓
3	03 Nopember 2016	Hitung pengurangan debit Banjir dengan Pemanenan Air Hujan	✓
4	17 Nopember 2016	Analisa ekonomi	✓
5	14 Desember 2016	Optimalisasi Metode vegetatif	✓
6	28 Desember	Aspek lingkungan	✓
7			
8			
9			
10			
11			
12			
13			
14			
15			
16			
17			
18			
19			
20			

Surabaya, 17 November 2016  
 Pembimbing,

Ir. mas Agus Mardyanto, M.E., Ph.D.  
 Nip.

## **BIODATA PENULIS**



Penulis bernama Bambang Bodro Ismoyo. Lahir di Surabaya tanggal 15 September 1984. Pendidikan formal mulai Sekolah Dasar hingga Sekolah Menengah Umum dilakukan di Surabaya. Pada tahun 2006 menyelesaikan pendidikan diploma 3 Teknik Sipil Bangunan Air FTSP-ITS. Pada tahun 2009 menyelesaikan pendidikan Strata 1 (S1) jurusan Teknik Sipil FTSP-ITS. Penulis bekerja di Kementerian Pekerjaan Umum dengan Unit Kerja di Balai Besar Wilayah Sungai Cidanau-Ciujung-Cidurian sejak tahun 2011 sampai dengan sekarang. Pada tahun 2015 penulis menjadi karyasiswa Program Pendidikan Kedinasan dan Vokasi Kementerian Pekerjaan Umum di Program Studi Magister Teknik Sanitasi Lingkungan dan lulus tahun 2017. Penulis dapat dihubungi lewat email: [bbodroismoyo@yahoo.com](mailto:bbodroismoyo@yahoo.com)